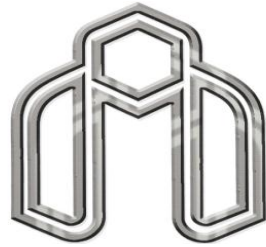


الله
الله
الله



دانشگاه شهرورد

دانشکده کشاورزی

بررسی تنوع ژنتیکی قارچ بیماری‌زای حشرات

Metarhizium anisopliae

مهسا جوکار

اساتید راهنما:

دکتر ناصر فرخی

دکتر علی درخشان شادمهری

اساتید مشاور:

دکتر مهدیه پارسائیان

دکتر مریم غائب زمهریر

پایاننامه‌ی ارشد جهت اخذ درجه کارشناسی ارشد بیوتکنولوژی در کشاورزی

۱۳۹۲ پائیز

تعدیم به مهربان فرشتنگانی که:

لختات ناب بارور بودن، لذت و غرور داشتن، جمارت خواستن، عظمت رسیدن و تمام تجربه های

لکتا و زیبایی زندگیم، مدیون حضور سپر آنهاست وجودم برایشان به رنج بود و وجودشان برایم به مر

لشکر و قدردانی

اگر خزان را امید بهاری نبود، اگر درد را امید شفائی نبود، بی‌شک تلاش که مهم‌ترین عامل سازندگی و رشد انسان است در گردادب تنبلی هلاک می‌گشت. اما تقدیر این بود، زندگی معنا یابد و آنان که می‌خواهند همیشه زنده بمانند به تلاشی بزرگ برای رسیدن به امیدی در دوردست واداشته شوند.

سپاس بیکران پروردگار یکتا را که هستی‌مان بخشید و به طریق علم و دانش رهنمونمان شد و به همنشینی رهروان علم و دانش مفتخرمان نمود و خوش‌چینی از علم و معرفت را روزیمان ساخت.

و بعد از مدت‌ها، پس از پیمودن راه‌های فراوان که با حضور اساتید عزیزم، دغدغه‌های فراوان و شیطنت‌های زیبای آن دوران، نگاه‌های پدر و مادرم با چشم‌های پر از برق شوق و زیبایی حضور دوست بی‌همتایم در کنارم، که خستگی‌های این راه را به امید و روشی راه تبدیل کرده بر خود واجب می‌دانم از تمامی آن بزرگواران کمال تشکر و قدردانی را بنمایم. جا دارد از زحمات اساتید راهنمای جناب آقایان دکتر ناصر فرخی، دکتر علی درخشان شادمهری، اساتید مشاور سرکار خانم دکتر مهدیه پارسائیان، دکتر مریم غائب زمهریر، دوست و همکار عزیزم جناب آقای مهندس ابوالفضل مسعودی، آقایان سعید متین، مصطفی محمدی، محمد قاسم کشاورز خوب، نسیم طهماسبی‌زاوه، علی یدالله‌پور، احسان ترابی، علیرضا متین، هادی قاسمی، محمد باقر غائی، مهدی قمری، حامد دیداری، معصومه هنرور، کارشناسان آزمایشگاه سرکار خانم مهندس سمیّه فرجی، مهندس احمدی، آقایان مهندس محمد ابراهیم حسین‌پور، مهندس غلامرضا شاکری، مهندس حسن گلی، مهندس حسین مطهری‌نژاد، آقایان محسن حسین‌پور، علی حدادان، علی حسین‌پور، و دیگر عزیزانی که مرا در انجام این پایان‌نامه یاری نمودند تشکر و قدردانی نمایم.

امیدوارم بتوانم در آینده‌ی نزدیک جوابگوی این همه محبت آنها باشم.

تعهد نامه

اینجانب مهسا جوکار دوست آباد دانشجوی دوره کارشناسی ارشد رشته بیوتکنولوژی کشاورزی دانشکده کشاورزی

دانشگاه صنعتی شاهرود نویسنده پایان نامه بررسی تنوع ژنتیکی قارچ بیماری زای حشرات *Metarhizium*

تحت راهنمایی آقایان دکتر ناصر فرخی و دکتر علی درخشان شادمهری متعدد می‌شون.

- تحقیقات در این پایان نامه توسط اینجانب انجام شده است و از صحت و اصالت برخوردار است.
- در استفاده از نتایج پژوهش‌های محققان دیگر به مرجع مورد استفاده استناد شده است.
- مطالب مندرج در پایان نامه تاکنون توسط خود یا فرد دیگری برای دریافت هیچ نوع مدرک یا امتیازی در هیچ جا ارائه نشده است.
- حقوق معنوی تمام افرادی که در بدست آوردن نتایج اصلی پایان نامه تأثیرگذار بوده‌اند در مقالات مستخرج از پایان نامه رعایت می‌گردد.
- در کلیه مراحل انجام این پایان نامه، در مواردی که از موجود زنده (یا بافت‌های آنها) استفاده شده است ضوابط و اصول اخلاقی رعایت شده است.
- در کلیه مراحل انجام این پایان نامه، در مواردی که به حوزه اطلاعات شخصی افراد دسترسی یافته یا استفاده شده است اصل رازداری، ضوابط و اصول اخلاق انسانی رعایت شده است.

تاریخ:

امضای دانشجو:

مالکیت نتایج و حق نشر

- کلیه حقوق معنوی این اثر و محصولات آن (مقالات مستخرج، کتاب، برنامه‌های

رایانه‌ای، نرم‌افزارها و تجهیزات ساخته شده است) متعلق به دانشگاه صنعتی شاهرود

می‌باشد.

- استفاده از اطلاعات و نتایج موجود در پایان نامه بدون ذکر مرجع مجاز نمی‌باشد.

قارچ‌های بیمارگر حشرات در سلسله قارچ‌ها به‌طور گستردگی پراکنده شده‌اند. برخی از این قارچ‌ها طیف میزانی محدودی داشته در حالی که برخی دارای طیف میزانی گستردگی می‌باشند. چندین گونه از این قارچ‌ها پتانسیل کنترل بیولوژیک عوامل بیماری‌های گیاهی و حشرات را دارند. *Metarhizium* spp. قارچ بیمارگری است که برای کنترل بیولوژیک طیف وسیعی از آفات نظیر راسته‌های بالپولک-داران و سخت بالپوشان استفاده شده است. *Metarhizium* به‌طور عمده بر پایه ویژگی‌های مورفولوژیکی و ملکولی شناسایی می‌گردد. هدف این پایان‌نامه جداسازی و شناسایی واریته‌های این قارچ با استفاده از فواصل رونویسی‌شده داخلی (ناحیه ITS) می‌باشد. ما به بررسی ۳۰ جدایه جمع-آوری شده از خاک‌های مناطق گوناگون شاهروod و شمال ایران پرداختیم. این جدایه‌ها به صورت جزئی با استفاده از صفات مورفولوژیکی مانند نرخ رشد، اسپورزایی، بیماری‌زایی علیه *Tribolium castaneum* (Col, Tenebrionidae) شرح داده شدند. آزمایشات مورفولوژیک نشان داد همبستگی میان این ۳ پارامتر وجود دارد. تجزیه و تحلیل توالی‌های ITS و ۵/۸S ریبوزومی برای شناسایی گونه-ها و سویه‌های این قارچ به کار برده شد. نواحی ITS با استفاده از پرایمرهای ITS1 و ITS4 قطعه‌ای به طول تقریبی ۵۳۰ جفت باز را تکثیر نمود. توالی‌های به‌دست آمده با استفاده از نرم‌افزار Codon Aligner هم‌ردیف شدند و در کنار توالی ۱۲ گونه شناخته شده *Metarhizium* برای رسم درختچه در نرم‌افزار مگا (روش ماسکسیم پارسیمونی با بوت استرپ ۱۰۰۰) مورد استفاده قرار گرفتند. در میان ۸ کلاستر به وجود آمده، ۵ کلاستر حاوی ۲۵ جدایه به‌دست آمده از اقلیم شاهروod و شهرستان‌های اطراف، فاقد همتایی از گونه‌های شناخته شده بودند و احتمال وجود ۵ گونه جدید در این مناطق وجود دارد که این امر نیازمند مطالعات ملکولی با نشانگرهای دیگر می‌باشد. ۵ جدایه شناسایی شده نیز به گونه‌های *M. guizhouense* *M. robertsii* *M. anisopliae* *M. flavoviride* و *M. velutinum* تعلق دارند.

واژگان کلیدی: قارچ بیمارگر حشرات، شناسایی، فواصل رونویسی‌شده داخلی، ماسکسیم پارسیمونی

مطالعات

بررسی نرخ رشد جدایه‌های قارچ پاتوژن حشرات، *Metarhizium spp.*

مهسا جوکار، ناصر فرخی^{*}، علی درخشان شادمهری، ابوالفضل مسعودی، مهدیه پارسائیان، سعید متین

همایش پدافند غیر عامل- قشم- آبان ۱۳۹۲

شناسایی قارچ بیمارگر حشرات *Metarhizium spp.* با استفاده از ITS1-5.8S-ITS2

مهسا جوکار، ناصر فرخی^{*}، ابوالفضل مسعودی، سعید متین، علی درخشان شادمهری، مهدیه پارسائیان

همایش هشتمین همایش ملی بیوتکنولوژی و چهارمین همایش ملی ایمنی زیستی- تهران

۱۳۹۲ ۱۵-۱۷ تیرماه

ارزیابی جدایه‌های *Tribolium castaneum* L. (Col, *Metarhizium spp.* در کنترل

و همبستگی آن با تعداد اسپور Tenebrionidae)

مهسا جوکار، ناصر فرخی^{*}، علی درخشان شادمهری، ابوالفضل مسعودی، مهدیه پارسائیان، سعید متین

همایش دوسالانه کنترل بیولوژیک در کشاورزی و منابع طبیعی- تهران

۱۳۹ و ۶ شهریور ۵

فهرست

| | |
|----|--|
| ۱ | فصل اول- مقدمه و کلیات |
| ۳ | ۱-۱. کنترل بیولوژیک |
| ۵ | ۱-۲. قارچ‌های بیمارگر حشرات ابزاری موثر در کنترل بیولوژیک |
| ۶ | ۱-۳. قارچ بیمارگر حشرات <i>Metarhizium spp.</i> |
| ۹ | ۱-۳-۱. طیف میزبانی |
| ۱۱ | ۱-۳-۲. نحوه فعالیت و مکانیسم بیماری‌زایی |
| ۱۵ | ۱-۳-۳. اثر عوامل محیطی بر فعالیت قارچ‌های بیمارگر حشرات |
| ۱۷ | ۱-۴. ژنوم و ساختار سلولی قارچ <i>Metarhizium spp.</i> |
| ۱۹ | ۱-۵. مطالعه تنوع فیلوزنتیکی و روش‌های آن |
| ۲۱ | ۱-۵-۱. تکنیک‌های مبتنی بر PCR |
| ۲۲ | ۱-۵-۲. نشانگرهای ریبوزومی |
| ۲۸ | فصل دوم- مرور منابع |
| ۲۹ | ۲-۱. شناسایی قارچ <i>Metarhizium spp.</i> با استفاده از ناحیه ITS ریبوزومی |
| ۳۵ | ۲-۲. پراکنش جغرافیایی |
| ۳۶ | ۲-۳. کاربرد قارچ بیمارگر <i>Metarhizium spp.</i> علیه حشرات مختلف و بندپایان |
| ۳۹ | ۲-۴. تشخیص و شناسایی مورفولوژیکی قارچ <i>Metarhizium spp.</i> |
| ۴۱ | ۲-۵. تبار زایی قارچ و ضرورت مطالعه تنوع ژنتیکی |

| | |
|----|--|
| ۴۵ | فصل سوم- مواد و روش‌ها |
| ۴۶ | ۳-۱. مواد |
| ۴۷ | ۳-۲. تجهیزات آزمایشگاهی |
| ۴۷ | ۳-۳. نمونه‌گیری خاک |
| ۴۸ | ۳-۴. پرورش پروانه موم‌خوار |
| ۵۰ | ۳-۵. جداسازی از خاک <i>Metarhizium</i> spp. |
| ۵۲ | ۳-۶. جداسازی جدایه‌های قارچی |
| ۵۳ | ۳-۷. خالص‌سازی جدایه‌های <i>Metarhizium</i> spp. |
| ۵۵ | ۳-۸. نام‌گذاری جدایه‌های به دست آمده |
| ۵۷ | ۳-۹. مطالعه میکروسکوپی قارچ <i>Metarhizium</i> spp. |
| ۵۷ | ۳-۱۰. مطالعات مولکولی |
| ۵۷ | ۳-۱۰-۱. آماده‌سازی نمونه |
| ۵۸ | ۳-۱۰-۲. استخراج DNA |
| ۵۹ | ۳-۱۰-۳. واکنش زنجیره‌ای پلیمراز و تکثیر منطقه ITS |
| ۶۰ | ۳-۱۰-۴. توالی‌یابی و شناسایی گونه‌ها |
| ۶۱ | ۳-۱۰-۵. نرم‌افزار و روش مورد استفاده در ترسیم درختچه فیلوزنی |
| ۶۲ | ۳-۱۰-۶. تعیین درصد همولوژی جدایه‌ها |
| ۶۲ | ۳-۱۱. همبستگی پراکنش جغرافیایی و تنوع ژنتیکی |
| ۶۳ | ۳-۱۲. بررسی ویژگی‌های مورفولوژیکی قارچ <i>Metarhizium</i> spp. |

| | |
|----|---|
| ۶۳ | ۱-۱۲-۳. آزمایش اندازه‌گیری نرخ رشد |
| ۶۴ | ۲-۱۲-۳. آزمایش شمارش تعداد کنیدی |
| ۶۴ | ۳-۱۲-۳. آزمایش زیست‌پذیری کنیدی جدایه‌های انتخاب شده |
| ۶۸ | فصل چهارم- نتایج |
| ۶۹ | ۴-۱. تحلیل فیلوژنی منطقه ITS1-5.8S-ITS2 جدایه‌های <i>Metarhizium</i> spp. |
| ۷۰ | ۴-۱-۱. دستیابی به توالی‌های ناحیه تکثیری ITS جدایه‌ها |
| ۷۰ | ۴-۲. نتایج درختچه فیلوژنی برای جدایه‌های <i>Metarhizium</i> spp. |
| ۷۵ | ۴-۳. همبستگی میان تنوع جغرافیایی و تنوع ژنتیکی |
| ۷۵ | ۴-۴. نرخ جداسازی قارچ <i>Metarhizium</i> spp. |
| ۷۶ | ۴-۵. ارزیابی نرخ رشد جدایه‌ها بر روی محیط کشت PDA |
| ۷۹ | ۴-۶. ارزیابی تعداد کنیدی جدایه‌های قارچ <i>Metarhizium</i> spp. بر روی محیط کشت |
| ۷۹ | ۴-۷. زیست‌پذیری کنیدی‌ها |
| ۷۹ | ۴-۸: تاثیر بیماری‌زایی قارچ در برابر سوسک قرمز آرد |
| ۸۲ | ۴-۹. همبستگی میان پارامترهای مورفولوژیکی نرخ رشد، شمارش تعداد کنیدی و بیماری‌زایی |
| ۸۴ | فصل پنجم- بحث و پیشنهادات |
| ۸۶ | ۵-۱. تجزیه و تحلیل درختچه فیلوژنی |
| ۹۰ | ۵-۲. جمع‌بندی نتایج آزمایشات مورفولوژیک |
| ۹۴ | ۵-۳. پیشنهادات |

| | |
|-----|--|
| ۹۷ | ضمائیم |
| ۱۰۵ | منابع |
| ۱۲۰ | کنفرانس‌ها و همایش‌ها و مقالات چاپ شده |

فهرست جداول ذکر شده در پایان نامه

صفحه

| | |
|--|-----|
| جدول ۱-۱: راسته‌های مهم و پارازیت‌های قارچی نکروتروف که به حشرات حمله می‌کنند | ۷ |
| جدول ۱-۲: آفتکش‌های زیستی تولید شده از قارچ <i>Metarhizium spp.</i> | ۱۸ |
| جدول ۱-۴: لیست گونه‌های <i>Metarhizium spp.</i> و شماره دسترسی آن در پایگاه ژنی NCBI | ۷۱ |
| جدول ۲-۲: جدول تجزیه واریانس | ۷۶ |
| جدول ۲-۳: مقایسه میانگین نرخ رشد | ۷۷ |
| جدول ۴-۴: مقایسه میانگین تعداد کنیدی تولیدی | ۷۹ |
| جدول ۴-۵: مقایسه میانگین تلفات سوسک قرمز آرد | ۸۰ |
| جدول ۴-۶: همبستگی میان سه پارامتر | ۸۲ |
| جدول ۱ ضمیمه: تعداد لاروهای آلوده و نرخ جداسازی | ۹۷ |
| جدول ۲ ضمیمه: مشخصات جدایه‌های <i>Metarhizium spp.</i> به دست آمده | ۹۸ |
| جدول ۳ ضمیمه: درصد همولوژی میان مناطق ITS | ۱۰۰ |

فهرست شکل‌ها و نمودارهای قید شده در پایان نامه

صفحه

۱۲

شکل ۱-۱: مراحل چرخه آلدگی *Metarhizium spp.*

۲۳

شکل ۱-۲: دو ناحیه ITS و IGS

۲۶

شکل ۱-۳: انواع پرایمرهای ITS برای تکثیر ناحیه ITS1-5.8S-ITS2

۴۲

شکل ۲-۱: مشاهده میکروسکوپی ساختارهای *M. anisopliae*

۴۹

شکل ۲-۳: جمع‌آوری نمونه خاک

۴۹

شکل ۳-۲: مراحل زندگی پروانه مومخوار

۵۱

شکل ۳-۳: نمایی از مراحل عمومی در شناسایی گونه‌های قارچ *Metarhizium* با استفاده

از تکنیک‌های مبتنی بر PCR

۵۴

شکل ۳-۴: نمایی از قارچ *Metarhizium spp.* روی لارو پروانه مومخوار و محیط‌کشت

۵۶

شکل ۳-۵: تهیه بانک قارچ اولیه و بانک ثانویه

۷۰

شکل ۴-۱: نمایی از تکثیر ناحیه ITS جدایه‌های *Metarhizium spp.* روی ژل آگارز ۱٪

۷۲

شکل ۴-۲: ایجاد درختچه فیلوزنی برای جدایه‌های مختلف *Metarhizium spp.*

۷۶

شکل ۴-۳: نمایی از کنیدی قارچ *Metarhizium spp.* و رشد آن بر روی محیط‌کشت

PDA

۱۰۱

نمودار همبستگی میان تنوع ژنتیکی ناحیه ITS و تنوع جغرافیایی

۱۰۲

درختچه UPGMA رسم شده برای ماتریس‌های ژنتکی و جغرافیایی

۱۰۳

نمودار حاصل از بررسی همبستگی کوفنتیک دو ماتریس فاصله ژنتیکی و جغرافیایی

اختصارات به کار رفته در پایان نامه و نام کامل آنها

| نام کامل | اختصار |
|---|--------------------------------|
| Accession Number | AC |
| Amplified Fragment Length Polymorphism | AFLP |
| Amplified rDNA Restriction Analysis | ARDRA |
| Basic Local Alignment Search Tool | BLAST |
| Cetyl Trimethyl Ammonium Bromide | CTAB |
| Coefficient Variance | CV |
| Czapecz- Dox- Agar | CDA |
| DNA Data Bank of Japan | DDBJ |
| Degrees of Freedom | DF |
| European Molecular Biology Laboratory | EMBL |
| Elongation Factor 1- α | EF1-α |
| Galleria Bait Method | GBM |
| Inter-Genic Spacer or Non-Transcribed Spacer | IGS |
| Lethal Concentration 50 | LC50 |
| Lethal Time 50 | LT50 |
| Malate Extract Agar | MA |
| Multi-Locus Enzyme Electrophoresis | MLEE |
| Mean of Square | MS |
| National Center for Biotechnology Information | NCBI |
| PolyVinylPyrrolidone | PVP |
| Polymerase Chain Reaction | PCR |
| Random Amplified Polymorphic DNA | RAPD |
| Restriction Fragment Length of Polymorphism | RFLP |
| Sabroud-Dextrose-Agar + Yeast Extract | SDA+Y |
| Sodium Dodecyl Sulfate | SDS |
| Simple Sequence Repeat | SSR |
| Tris Borate Ehtylen Di-amin Tetra Acetate | TBE |
| Virulence Gene | Vri |
| Yeast extract Peptone Glucose Broth | YPD |

فصل اول

مقدمہ و کلیات

فصل اول- مقدمه و کلیات

زمانی که کشاورزی به صورت بدوى انجام می‌گرفت کشاورزان با تعداد محدودی حشره سروکار داشتند. مشکل از زمانی آغاز شد که اراضی به صورت فشرده و در سطح زیاد تحت کشت یک محصول قرار گرفت. این امر سبب افزایش شدید آفات گردید. عامل دیگر وجود آفات امروزی هجوم انواعی از موجودات از موطن اصلی خود به نقاط دیگر است و چارلز دالتون^۱ (۱۹۸۰) در بوم شناسی هجوم می‌نویسد: در دوره کرتاسه^۲ طغیان دریاها، ارتباط بین خشکی‌ها را قطع کرد و در جزایر انواع جدیدی از گونه‌ها به وجود آمد. پس از گذشت سال‌ها، خشکی‌ها دوباره بهم پیوستند و این گونه‌ها وارد مناطق شدند. ورود این گونه‌ها سبب توسعه گونه‌های آفت شد و لذا کشاورزان برای حفظ دست رنج خویش به استفاده از آفتکش‌ها روی آوردند. افزایش استفاده از آفتکش‌های شیمیایی مرسوم علاوه بر افزایش تولید غذا، تاثیرات مخربی نیز بر محیط و موجودات غیر هدف داشته است [۵]. استفاده بی‌رویه از آفتکش‌ها سبب شد تا مشکلاتی از قبیل تاثیرات نامطلوب بر سلامت انسان و محیط‌زیست، از بین رفتن موجودات غیر هدف و مقاومت آفات مختلف به آفتکش‌های تجاری مرسوم به وجود آید [۶]. یکی از راهکارها در کاهش استفاده از آفتکش‌های شیمیایی، تهیه و فرمولاسیون آفتکش‌های زیستی بر مبنای قارچ‌ها و باکتری‌های بیمارگر حشرات است. در این پایان‌نامه به جداسازی قارچ بیمارگر حشرات *Metarhizium spp.* و شناسایی گونه‌های به دست آمده با استفاده از ناحیه ITS و ترسیم درختچه فیلوزنی خواهیم پرداخت. در این فصل در خصوص کنترل بیولوژیک، معرفی قارچ بیمارگر حشرات *Metarhizium spp.* طیف میزبانی، پراکنش جغرافیایی، نحوه فعالیت و مکانیسم بیمارگری، اثر عوامل محیطی بر فعالیت قارچ‌های بیمارگر، بیماری‌زایی قارچ مذکور، محسن و معایب استفاده از قارچ‌های بیمارگر، ویژگی‌های ژنومی (هسته‌ای و میتوکندریایی) به صحبت می‌پردازیم و در پایان نیز به معرفی چگونگی شناسایی قارچ‌ها در سطح گونه و زیر گونه خواهیم پرداخت.

۱- Charles Dalton

۲- سومین دوران میانه‌زیستی است که در ۱۴۵,۵ تا ۶۵ میلیون سال پیش بود و در واقع هفتاد میلیون سال به طول انجامید

۱- کنترل بیولوژیک

مدیریت تلفیقی آفات^۱ در واقع استراتژی مدیریت آفات بر اساس شرایط اکولوژیکی می‌باشد و در آن از تمام روش‌های مناسب برای حداقل‌سازی خسارت آفات یعنی کنترل زراعی، واریته‌های مقاوم، کنترل شیمیایی و کنترل بیولوژیکی^۲ استفاده می‌شود [۷].

استفاده از موجودات زنده برای سرکوب جمعیت حشرات آفت، بیمارگرهای گیاهی^۳، علفهای هرز و حشرات را کنترل بیولوژیک گویند و در سال ۱۷۶۲ با معرفی مرغ مینا^۴ از هند برای کنترل ملخ قرمز نیشکر آغاز شد و میلینگ و همکاران این تکنیک را به عنوان "تغییرات محیط یا شیوه‌های موجود در حفاظت و افزایش دشمنان طبیعی برای کاهش اثرات آفات" توضیح داده‌اند [۸]. حشرات از گروه‌های مهم موجودات هستند که هدف برنامه‌های کنترل بیولوژیک قرار می‌گیرند. دشمنان طبیعی^۵ نقش مهمی را در محدود نمودن جمعیت آفات ایفاء می‌نمایند که وقتی از روش‌های کنترل غیرشیمیایی استفاده کنیم این موجودات زنده مانده و جمعیت و خسارت گونه‌های آفت را کاهش می‌دهند [۹]. دشمنان طبیعی حشرات آفت را در سه رده شکارگرها^۶، پارازیتوئیدها^۷ و بیمارگرها^۸ طبقه‌بندی نموده‌اند که در ذیل مختص‌ری در مورد این گروه‌ها صحبت خواهیم نمود.

شکارگرها معمولاً از میزبان خود از نظر جثه بزرگ‌تر هستند و آنها را گرفته و می‌کشنند. معمولاً تخم‌های خود را در نزدیکی شکار قرار می‌دهند و نابالغین قادر خواهند بود در کوتاه‌ترین زمان، میزبان خویش را یافته و از آن تغذیه نمایند. این دسته از دشمنان طبیعی در طول مرحله رشد و نمو خود بیش از یک میزبان مورد حمله قرار می‌دهند. کفشدوزک‌ها و بال‌توری^۹‌ها، مگس‌های خانواده

۱- Integrated Pest Management (IPM)

۲- Biological Control

۳- Plant Pathogen

۴- Mynab Bird

۵- Natural Enemy

۶- Predator

۷- Parasitoid

۸- Pathogen

۹- *Crysoperlla carnea*

فصل اول- مقدمه و کلیات

Syrphidae، کنه‌ها و عنکبوت‌های شکارگر در این دسته جای می‌گیرند [۹]. پارازیت‌وئیدها در راسته-های بالغشائیان^۱ و دوبالان^۲ قرار می‌گیرند و این دشمنان طبیعی در مرحله بلوغ خود آزادی هستند و یک یا چند تخم را در سطح یا داخل بدن میزبان خویش قرار می‌دهند. حشرات نابالغ پارازیت در سطح یا داخل بدن میزبان زندگی کرده و آن را از بین می‌برند. پارازیت‌ها به مرحله‌ی خاصی از زندگی میزبان خویش حمله می‌نمایند اما باقیستی یادآور شویم که تمام مراحل زندگی میزبان (تخم، لارو یا پوره، حشره کامل) توسط پارازیت‌های مختلف مورد حمله قرار می‌گیرد [۹]. در مورد بیمارگرها گفته می‌شود که حشرات مانند حیوانات و گیاهان توسط باکتری‌ها، قارچ‌ها، آغازیان و ویروس‌هایی که موجب بیماری می‌شوند آلوده می‌گردند. این عوامل بیماری‌زا ممکن است نرخ تغذیه و رشد حشره را کاهش دهند، سرعت تولید مثل را کند نمایند یا از آن جلوگیری به عمل آورند یا موجب مرگ حشرات شوند [۱۰]. از جمله این بیمارگرها می‌توان به باسیلوس، ویروس‌های خانواده Baculoviridae، قارچ‌های خانواده Entomophthoraceae اشاره نمود.

مزایای کلی کنترل میکروبی در کنترل بیولوژیکی خسارت حشرات آفت با استفاده از ویروس‌ها، قارچ‌ها، باکتری‌ها و نماتدهای بیمارگر حشرات در مدیریت تلفیقی آفات شامل اختصاصیت میزبانی، بیماری‌زایی بالا، حفاظت از دشمنان طبیعی آفت هدف و غیرگسیختگی اکولوژیکی می‌باشد. اختصاصیت میزبانی جنبه‌ی مهمی برای موجودات مورد استفاده در کنترل بیولوژیک است. مطالعات نشان داده است که *Metarhizium anisopliae* سیگنال‌های خاص میزبان نظیر لیپیدهای موجود در اپی‌کوتیکول و ساختارهای سطحی را تشخیص می‌دهد و لذا این سیگنال‌ها بر اتصال اسپور و القای ترشح پروتئین‌های اختصاصی میزبان تاثیرگذار هستند [۱۱]. بیشتر دشمنان طبیعی از حساسیت بالایی نسبت به آفت‌کش‌های شیمیایی برخوردارند و لذا استفاده از این مواد، موجب محدودیت کارایی

۱- Hymenoptera

۲- Diptera

دشمنان طبیعی خواهد شد [۹]. در تولید یک آفتکش زیستی، اولین قدم اثبات بیماری‌زایی قارچ بر روی حشره‌ی مورد نظر می‌باشد که بر مبنای این امر، به بررسی بیماری‌زایی جدایه‌های مختلف قارچی در حشرات گوناگون پرداخته‌اند که اصطلاح بیماری‌زایی در قارچ‌شناسی عبارت از زنجیره‌ای از رخدادها در توسعه‌ی بیماری در یک میزبان به‌محض آلوده‌ی است. استین هوس (۱۷۹۵) اولین کسی است که نتیجه گرفت میکروارگانیسم‌های بیمارگر حشرات برای انسان، حیوانات و گیاهان بی‌ضرر هستند و بعدها پیشنهاد شد از این میکروارگانیسم‌ها به‌جای مواد شیمیایی در کنترل آفات بهره‌برداری شود.

۱-۲. قارچ‌های بیمارگر حشرات ابزاری موثر در کنترل بیولوژیک

یکی از انواع دشمنان طبیعی حشرات، قارچ‌های بیمارگر حشرات هستند. قارچ‌های بیمارگر حشرات راه حلی موثر و ایمن برای کنترل حشرات آفت محسوب می‌شوند و این قارچ‌ها در سراسر سلسله قارچ‌ها پراکنده‌اند، برخی از آنها طیف میزبانی محدودی دارند و برخی طیف میزبانی وسیع و گونه‌های گونه-*Beauveria bassiana* و *Fusarium sp.* *Metarhizium anisopliae* *Zoophthora radicans* های مختلفی از حشرات را در شرایط مزرعه و آزمایشگاهی آلوده می‌نمایند [۱۲].

قارچ‌های بیمارگر حشرات در شاخه Ascomycota (قارچ‌های آسکدار)، Zygomycota (زیگومیکوتا) و Deuteryomycota (قارچ‌های ناقص) قرار دارند و جنس‌های این قارچ‌ها به راسته Hyphomycetes در Zygomycota Entomophthorales تعلق دارند که اعضای رده به‌طور معمول به عنوان قارچ‌های بیمارگر فرصت‌طلب آلوده‌کننده هستند. بسیاری از گونه‌های حشرات در نظر گرفته می‌شوند [۱۳]. طبق روابط فیلوزنوتیک، قارچ‌های مهم زیگوسپور^۱ داران و Dikarya^۲ در زیرسلسله Basidiomycota و Ascomycota در بیمارگر حشرات در شاخه Chytridiomycota و Zygomycota طبقه‌بندی می‌شوند [۱۴, ۱۵]. قارچ‌های بیمارگر حشرات غالباً

۱- Zigospore

۲- Subkingdom

در طبیعت موجب بیماری حشرات می شوند و عامل مهم تنظیم کننده‌ی جمعیت حشرات هستند که طبیعت آن را در اختیار آدمی قرار داده است [۱۴]. در جدول ۱-۱ به راسته‌های قارچی پارازیت و اعضای خانواده هیفومیست اشاره شده است (۲۰۰۱). تاکنون بیش از ۹۰ جنس و ۷۰۰ گونه متعلق به قارچ‌های بیمارگر حشرات گزارش شده است [۱۶] که برخی پارازیت اجباری (Entomophthora) و برخی پارازیت اختیاری (نظیر فوزاریوم^۱ و آسپرژیلوس^۲) هستند. قارچ‌های پارازیت اجباری بر روی حشرات خاصی زندگی می‌کنند و مطالعه آنها تنها در صورتی امکان‌پذیر است که به‌طور طبیعی به آلوده‌سازی میزبان خویش بپردازند در صورتی که پارازیت‌های اختیاری از دو امتیاز آسانی مطالعه آزمایشگاهی و آنالیز، زندگی ساپروفیتی در غیاب میزبان مناسب در طبیعت برخوردار هستند که این ویژگی‌ها در مورد *Metarhizium spp.* صادق است [۱۳]. تمام گونه‌های قارچ‌های بیمارگر حشرات بر روی حشرات مهم از منظر اقتصادی نظیر شته‌ها، سفیده کلم، شبپره‌های خانواده Noctuidae راستبالان^۳ و دوبالان به صورت انگل عمل می‌نمایند و لذا قارچ‌های موسکاردین (قارچ‌های ناقصی مانند *Sorosporella* و *Paecilomyces Metarhizium Beauveria*) برای تولید حشره‌کش‌های زیستی مناسب هستند [۱۷].

۱-۳. قارچ بیمارگر حشرات *Metarhizium spp.*

در میان قارچ‌های بیمارگر حشرات، جنس‌های *Paecilomyces* و *Metarhizium Beauveria* دارای طیف میزبانی وسیع، تنوع ژنتیکی^۴ درون‌گونه‌ای و اختصاصیت میزبانی بالاتری هستند. کشت آسان بر روی محیط کشت عصاره سیب‌زمینی- دکستروز- آگار^۵ یا عصاره مالت- آگار^۶، عدم به مخاطره انداختن

^۱- *Fusarium spp.*

^۲- *Aspergillus spp.*

^۳- Orthopthera

^۴- Genetic Diversity

^۵- Potato-Dextrose Agar (PDA)

جدول ۱-۱: راسته‌های مهم و پارازیت‌های قارچی نکروتروف که به حشرات حمله می‌کنند [۱۸].

Chytridiomycota

Chytridiomycets

Blastocladiales- *Coelomomyces*

Zygomycota

Zygomycetes

Entomophthorales

Entomophthoraceae- *Entomophaga, Entomophthora, Erynia,*

Furia, Massospora, Pandora, Zoophthora

Neozygitaceae- *Neozygites*

Ancylidataceae- *Conidiobolus*

Ascomycota

Pyrenomycetes

Hypocreales

Clavicipitaceae- *Cordyceps, Cordycepioides, Ophiocordyceps,*

Torrubiella, Gibellula, Pseudogibellula, Akanthomyces,

Nomurea, Hymenositbe, Hirsutella, Paraisaria

Hypocrealean anamorphs- *Aschersonia, Beauveria, Fusarium,*

Hirsutella, Metarhizium, Nomuraea, Isariae,

Tolypocladium, Lecanicillium.

Loculoascomycotes

Myriangiales

Myriangiaceae- *Myriangium*

Pleosporales

Tubeufiaceae- *Podonecteia*

Unclassified anamorph- *Entoderma*

Oomycota

Lagenidiales

Lagenidiaceae- *Lagenidium*

۱- Malate Extract Agar (MA)

فصل اول- مقدمه و کیات

سلامت انسان و موجودات خونگرم، تولید اسپورهای غیرجنسی در شرایط مرطوب، تولید اسپورهای مقاوم یا غیر فعال از محاسن این قارچ‌ها می‌باشد. از معایب قارچ‌های بیمارگر می‌توان به حساسیت آنها به خشکی، فراهم‌شدن شرایط محیطی مناسب برای تلقيق و حساسیت در برابر قارچ‌کش‌ها اشاره نمود.

اولین بار در ۱۸۴۸ در فرانسه، آلودگی و مرگ شپشک‌ها توسط قارچ‌های بیمارگر حشرات گزارش گردید [۶]. بیش از ۱۳۰ سال است که قارچ‌های *B. anisopliae* ، *B. bassiana* و *Metarhizium anisopliae* از قارچ‌های بیمارگر حشرات به برای کنترل آفات استفاده می‌شوند. عنوان *brongniartii* برای قارچ موسکاردين سبز^۱ شناخته می‌شود و این به علت تولید اسپورهای سبز رنگ بر روی لاشی حشرات می‌باشد. اولین بار این قارچ از روسیه به عنوان بیمارگر سوسک طلایی گندم^۲ توسط متشنکوف^۳ معرفی گردید [۱۵] و سپس در سال ۱۸۸۳ توسط سوروکین^۴ به *M. anisopliae* تغییر نام داد [۱۶]. این قارچ در زیرسلسله Dikarya، شاخه Ascomycota، راسته Hypocreales و خانواده Clavicipitaceae قرار گرفته است. این قارچ پراکنش جهانی دارد و طیف میزانی وسیعی را شامل می-شود و فراوان‌ترین گونه آن *M. anisopliae* می‌باشد که در زیست‌بوم‌های مختلفی وجود دارد و با توجه به آلوده‌سازی بیش از ۲۰۰ گونه حشره آفت، در بسیاری از کشورها به عنوان عامل کنترل بیولوژیک استفاده می‌شود [۲۰]. این قارچ در رده قارچ‌های ناقص^۵ جای داده شده بود و تا مدت‌ها تصوّر می‌شد که فاقد فرم جنسی^۶ است اما بعداً بر پایه مطالعات فیلوزنی مشخص شد جنس *Cordyceps* در واقع فرم جنسی قارچ‌های بیمارگر حشرات هستند [۱۴، ۲۱]. سانگ [۱۵] در Ascomycota، رده Sordariomycetes (=Pyrenomycetes) جنس‌های قارچ‌های بیمارگر حشرات مهمی نظیر *Hypocrella* و *Torrubiella* .*Cordyceps* در خانواده Clavicipitaceae را معرفی نمود. مشخص شده

۱- Green Muscardine

۲- *Anisopliae austriaca* (Col, Scarabidae)

۳- Elie Metchnikoff

۴- Sorokin

۵- Imperfect Fungi

۶- Teleomorph

است که جنس *Cordyceps* چندنیایی است و برای آن ۳ خانواده *Cordycipitaceae*، *Metacordyceps* و *Clavicipitaceae* و *Ophiocordycipitaceae* برای برخی جنس‌های قارچی در خانواده *Clavicipitaceae* پیشنهاد شده است که بنا به نظر سانگ این جنس در واقع مرحله جنسی قارچ *Metarhizium* می‌باشد [۱۵]. به گفته اشنایدر [۲۲] امروزه این *M.*، *M. guizhouense*، *M. robertsii*، *M. anisopliae*، گونه خواهری آن *M. anisopliae* دارای گونه‌های *M. album*، *M. flavoviridae*، *M. frigidum*، *M. acridum* (*M. anisopliae* var. *acridum*)، *M. majus* (*M. lepidiotae* (*M. anisopliae* var. *lepidiotae*))، *M. pingshaense*، *M. brunneum*، *M. anisopliae* var. *major*) می‌باشد.

۱-۳-۱. طیف میزبانی

دامنه میزبانی گونه *M. anisopliae* از محدودیت بیشتری برخوردار است. پتانسیل این قارچ در استرالیا برای کنترل ملخ‌های شاخک کوتاه توسط میلتر گزارش شده است [۲۳]. قارچ‌های بیمارگر حشرات نظیر *M. anisopliae* و *B. bassiana* در توسعه Mycopesticide^۱ها برای کنترل حشرات آفت نظیر ملخ‌های شاخک کوتاه و شاخک بلند، حشرات راسته‌های بالپوش‌داران^۲ و بالپولک‌داران^۳ استفاده می‌شوند. کنترل موریانه‌ها^۴، مگس سفید تنباکو^۵، کنه‌ی عنکبوتی قرمز^۶، تخم کنه‌ها، مگس‌های میوه^۷ و شته‌ها، زنجرهی سبز^۸، شیپشک برنج^۹، سوسک آرد^{۱۰} و برخی از راسته‌های بالان را به قارچ *Metarhizium* نسبت داده‌اند [۱۴]. استین هوس (۱۹۴۹) در فاصله سال‌های ۱۹۲۶ تا

۱- آفت‌کش‌هایی که بر پایه قارچ‌های بیمارگر حشرات تولید می‌شوند و برای محیط‌زیست و موجودات خونگرم سمیتی ندارند.

۲- Coleoptera

۳- Lepidoptera

۴- Termites

۵- Tobbaco Whitefly (*Thrips tabaci*)

۶- Red Spider Mite

۷- Fruit Flies

۸- Green Leafhopper

۹- Rice Weevil

۱۰- Flour Bettle

فصل اول- مقدمه و کلیات

۱۹۲۹ بیماری‌زایی این قارچ را در حشراتی همچون کرم‌ابریشم^۱ و ساقه‌خوار اروپایی^۲ گزارش نمود. مولر-کوگلر (۱۹۶۵) به بررسی بیماری‌زایی این قارچ بر روی حشراتی نظیر، *Scotinophara lurida*, *Oryctes rhinoceros*, *Cleonus punctiventris*, *Agriotes obscurus* and, *A. sputator*, *Agrotis*, *Popillia japonica*, *Alissonotum impressicolle*, *Ostrinia*(*Pyrausta*)*nubilalis* و *Euxoa spp.* و *segetum* پرداخت [۲۴]. جامع‌ترین لیست از حشرات میزبان این قارچ توسط وین (۱۹۶۸) با ۲۰۴ گونه حشره از ۷ راسته مختلف گزارش شده است. بیشتر این حشرات به راسته بالپوش‌داران به‌ویژه حشرات خاک‌زی شامل بیش از ۷۰ گونه سوسک‌های Scarabidae تعلق دارند [۲۴]. بر پایه گوئتل و همکاران (۱۹۹۰) طیف میزبانی *M. anisopliae* شامل گوش‌خیزک‌ها^۳، راست-بالان^۴، مساوی‌بالان^۵، جور‌بالان^۶، ناجور‌بالان^۷، دوبالان^۸، بال‌پوش‌داران، بال‌غشائیان، بال‌پولک‌داران، *Siphonaptera* و برخی حشرات راسته‌های Malacostrata و کنه‌ها^۹ می‌باشد در حالی که محدودتری دارند. به علاوه جدایه‌های این قارچ در شرایط مزرعه در مقایسه با شرایط آزمایشگاهی از اختصاصیت بیشتری برخوردار هستند [۲۴]. برخی از گروه‌های ژنتیکی *Metarhizium* از مناطق *M. flavoridae*, *M. anisopliae* var. *majus* و *M. anisopliae* و نیمه‌گرم‌سیری به‌ویژه گونه‌های *album* بهتر تیب به راسته‌های بال‌پوش‌داران، راست‌بالان و جور‌بالان صدمه می‌زنند [۲۴]. در مورد رابطه شفافی میان ژنوتیپ قارچ و اختصاصیت میزبانی تائید نشده است.

۱- *Bombyx mori*

۲- *Ostrinia nubilalis*

۳-Dermoptera

۴-Orthoptera

۵-Isoptera

۶-Homoptera

۷-Heteroptera

۸-Diptera

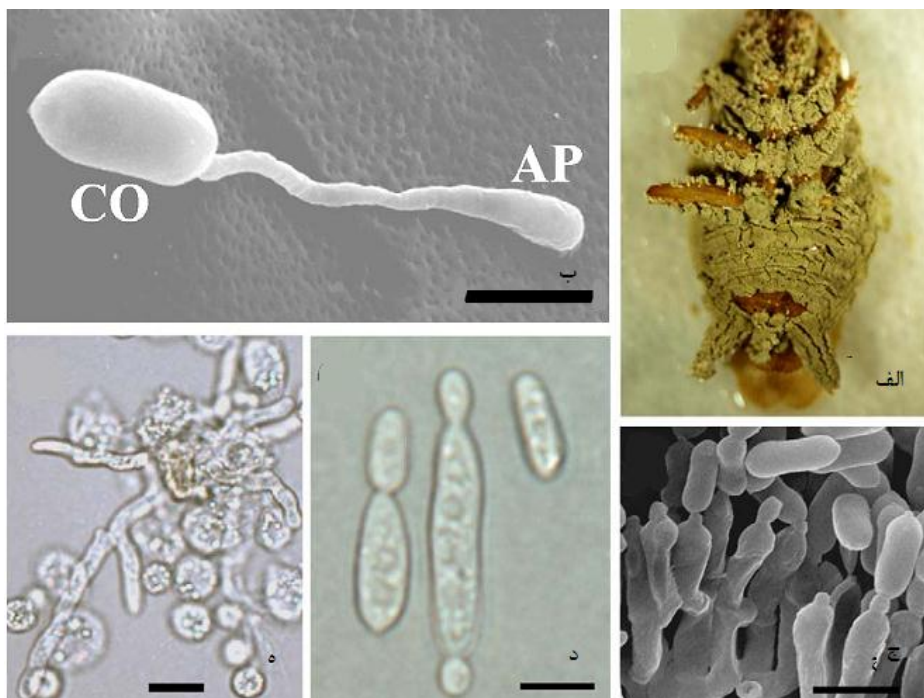
۹- Acari

۱-۳-۲. نحوه فعالیت و مکانیسم بیماری‌زایی

از منظر تغذیه، قارچ‌ها ممکن است ساپروفیت^۱ (قارچ‌های ساپروفیت از مواد آلی مرده یا تجزیه شده تغذیه می‌نمایند. اکثر قارچ‌ها ساپروفیت هستند)، اندوساپروفیت^۲ (ساپروفیت داخلی)، ساپروتروف^۳ (قارچ‌هایی که مواد غذایی مورد نیاز خود را از مواد آلی غیر زنده به دست می‌آورند)، بیوتروف^۴ (این قارچ‌های پارازیت در میان سلول‌های میزبان خود (گیاه) رشد نموده و به تعدادی از سلول‌ها از طریق تولید هستوریوم^۵ (ساختارهای جذب کننده مواد غذایی) حمله می‌نمایند به تغذیه از مواد غذایی تولید شده در گیاه می‌پردازند اما موجب مرگ میزبان نمی‌شوند) یا نکروتروف^۶ (قارچ‌های پارازیتی که با حمله مستقیم به بافت‌های میزبان خود یا تولید توکسین‌ها و آنزیم‌های تجزیه‌کننده و تغذیه از بافت‌ها، موجب مرگ میزبان می‌شوند) باشند. قارچ‌های بیمارگر حشرات در بیماری‌زایی^۷ متفاوت هستند. آلودگی موفق این قارچ‌ها به چسبندگی و توانایی نفوذ آنها به بندهای بدن حشرات میزبان بستگی دارد. از محاسن دیگر این قارچ‌ها می‌توان به اینمنی انسان و دیگر موجودات غیر هدف، حداقل بودن بقایای آنان در محصولات غذایی، افزایش تنوع زیستی در اکوسیستم‌های مدیریت شده اشاره کرد. قارچ‌هایی که در حشرات علایم بیماری را به وجود می‌آورند در طیفی از قارچ‌هایی با کشنندگی سریع تا پارازیت‌های مطلق قرار می‌گیرند [۲۴]. بیماری‌زایی قارچ‌های بیمارگر حشرات شامل ۴ مرحله چسبندگی، جوانه‌زنی، تفکیک و نفوذ می‌باشد که در ادامه به‌طور اختصار به معرفی این مراحل می‌پردازیم. در شکل ۱-۱ نمایی از مراحل چرخه آلودگی قارچ را مشاهده خواهید نمود.

چسبندگی^۸ معمولاً با ترشح موسیلاژ (در قارچ‌ها به آن لایه چسبناک^۹ گفته می‌شود و گلیکوپروتئینی

- ۱- Saprophyte
- ۲- Endo-Saprophyte
- ۳- Saprothrophe
- ۴- Hemi-Biothrophe
- ۵- Haustorium
- ۶- Necrothrophe
- ۷- Pathogenicity (Virulence)
- ۸- Adhesion
- ۹- Slime Layer



شکل ۱-۱: مراحل چرخه آلودگی *Metarhizium* spp. (الف) لشه حشره آلوده به کنیدی ب) کنیدی جوانه‌زده به تولید اپرسوریوم می‌پردازد (CO) مخفف کنیدی (Conidium) و AP (Appressorium) مخفف اپرسوریوم (Apresorium) (ج) اجتماعی از کنیدی‌های جوانه‌زده (د) جوانه‌زنی سلول‌های نوع مخمری (بلاستوسپور) (ه) حمله میسلیوم به هموسیت پس از نفوذ به کوتیکول [۴]

و پلی‌ساکاریدی است) همراه است هرچند که آنزیم‌ها، لکتین^۲‌ها، نیروهای هیدروفوب و الکترواستاتیک نیز در این زمینه نقش دارند. واحد آلوده‌کنندگی، کنیدیوسپوری هاپلوئید است که به صورت زنجیره‌ای روی فیالید^۳ شکل می‌گیرد. بیماری‌زایی قارچ بیمارگر با اتصال اسپور آن به بدن حشره آغاز می‌گردد. کوتیکول حشره ترکیبی از کیتین، پروتئین‌های مومی، لایه‌ی لیپیدی یا اسید چرب می‌باشد. مرحله‌ی بعد از اتصال، هیدرولیز اپیدرم میزبان است که لیپازها، پروتئازها و کیتینازها درگیر هستند [۲۴].

در مرحله جوانه‌زنی^۴ طیف وسیعی از عوامل نظیر آب، یون‌ها، اسیدهای چرب، مواد غذایی روی سطح کوتیکول حشره و مرحله‌ی فیزیولوژی که حشره در آن به سر می‌برد بر جوانه‌زنی اسپور اثرگذار است. لازمه‌ی جوانه‌زنی موفق قارچ، آسیمیلاسیون مواد غذایی قابل استفاده‌ی سطح کوتیکول و تحمل قارچ به ترکیبات سمی موجود در بدن حشره است [۱۱، ۱۳]. جوانه‌زنی و آلودگی موفق قارچ به تعدادی از عوامل نظیر حشره و مرحله‌ی فیزیولوژی که حشره در آن به سر می‌برد بر جوانه‌زنی اسپور اثرگذار است. لازمه‌ی جوانه‌زنی موفق قارچ، آسیمیلاسیون مواد غذایی قابل استفاده سطح کوتیکول و تحمل قارچ به تعدادی از عوامل نظیر وجود میزبان مستعد، مرحله زندگی میزبان و شرایط محیطی مختلف همچون دما و رطوبت بستگی دارد. به طور معمول جوانه‌زنی کنیدی‌های قارچ *M. anisopliae* در ۲۰ ساعت اول پس از تماس صورت می‌گیرد [۲۴]. متابولیت‌های ثانویه‌ای نظیر دستروکسین^۵، سیتوکالاسین‌ها^۶، سواین سونین^۷ توسط این قارچ تولید می‌شوند. پس از جوانه‌زنی، اپرسوریوم^۸ کوتاه در انتهای لوله تندش ظاهر می‌شود که به این مرحله تفکیک^۹ می‌گویند. اتصال قارچ به کوتیکول توسط لوله

۱- Lectin

۲- Phialid

۳- Germination

۴- Destruxin

۵- Cytochalasins

۶- Swainsonine

۷- Appresorium

۸- Differentiation

تندش یا اپرسوریوم به کوتیکول را نفوذ^۱ گویند [۱۱]. در واقع اپرسوریوم مسئول اتصال اسپور جوانه‌زده به سطح اپیکوتیکول حشره است و این عمل فرآیندی مکانیکی و آنژیمی است و طیفی از آنژیم‌های تجزیه‌کننده‌ی کوتیکول در طول نفوذ به میزبان تولید می‌شوند. در *M. anisopliae* گروهی از آنژیم‌های تجزیه‌کننده‌ی کوتیکول وجود دارند که هم در محیط کشت و هم در طول فرآیند آلودگی تولید می‌شوند و این گروه شامل پروتئازهای شبه‌ساب‌تیلیسین^۲، متالوپروتئازها^۳، تریپسین^۴، کیمومتریپسین^۵، آمینوپپتیدازها^۶، دی‌پپتیدیل پپتیدازها^۷ و کیتینازها^۸ هستند [۲۴]. تعدادی از بیمارگرهای خاکزی به‌طور مستقیم و به‌ندرت از زخم‌ها، اندام‌های حساس یا روزنه‌ها نفوذ می‌کنند [۱۱]. در عوض درون بدن میزبان، قارچ‌های بیمارگر به‌صورت پروپاگول^۹‌های مخمرمانند (بلاستواسپور^{۱۰}) رشد می‌نمایند، مرگ حشره در نتیجه‌ی خسارت مکانیکی که توسط رشد میسلیوم درون بدن حشره^{۱۱} یا توکسین‌های تولید و رها شده توسط بیمارگر همراه با اضمحلال پاسخ‌های دفاعی حشره‌ی میزبان صورت می‌گیرد [۱۱]. گونه‌هایی نظیر *Beauveria*، *Metarhizium* و *Tolypocladium* طیفی از توکسین‌ها را ترشح می‌نمایند که تعدادی از این توکسین‌ها نظیر دستروکسین، بارنیسین^{۱۲} و افراپپتین^{۱۳} از منظر شیمیایی شناخته شده‌اند و نقش و سهم آنها در فرآیند بیماری‌زایی مشخص شده است. متابولیت‌های قارچی تولیدشده توسط قارچ‌های بیمارگر حشرات موجب بازداری از تغذیه و یا آنتی‌بیوسیس^{۱۴} (تضاد بین دو میکروب و فرآورده میکروب دیگر

-
- ۱- Penetration
 - ۲- Subtilisin-like proteinases
 - ۳- Metalloproteases
 - ۴- Trypsin
 - ۵- Chymotrypsin
 - ۶- Aminopeptidases
 - ۷- Dipeptidyl Peptidases
 - ۸- Chitinases
 - ۹- Propagule
 - ۱۰- Blastospore
 - ۱۱- Mummification
 - ۱۲- Barenicin
 - ۱۳- Efrapeptin
 - ۱۴- Antibiosis

که باعث از بین رفتن میکروب اول میشود [۲۵]. در قارچ‌های راسته Entomophthorales مرگ حشره در نتیجه کلنی‌سازی کامل قارچ در بافت‌های بدن به انجام می‌رسد. پس از مرگ حشره، قارچ روی لاشه به کلنی‌سازی ادامه می‌دهد و در طول ۲-۳ روز هیف‌های هوایی شکل گرفته و سپس اسپوزایی صورت می‌گیرد. راسته Hypocreales به تولید اسپورهای غیرجنسی می‌پردازد ولی راسته Entomophthorales دو نوع اسپور غیرجنسی^۱ (کنیدی اولیه) و جنسی تولید می‌نماید. این دو راسته در نحوه پراکنش اسپورها متفاوت عمل می‌نمایند و اسپورها توسط باد و باران پراکنش یافته و به میزبان جدیدی برای ایجاد آلودگی متصل می‌شوند [۲۶].

۱-۳-۳. اثر عوامل محیطی بر فعالیت قارچ‌های بیمارگر حشرات

آزمایشات نشان داده است که دما و رطوبت نسبی بر تولید اسپور و بیماری‌زایی قارچ‌های بیمارگر حشرات اثرگذار است. دما می‌تواند بر جوانهزنی و رشد، قدرت بقا^۲ قارچ‌های بیمارگر حشرات در آزمایشگاه و مزرعه اثرگذار باشد. *M. anisopliae* قارچی مزووفیل است که در طیف دمایی بین ۱۵ تا ۳۵ درجه سانتی‌گراد رشد می‌کند و بهینه‌ی دما برای جوانهزنی و رشد آن ۲۵-۳۰ درجه است. تفاوت‌های زیادی میان جدایه‌ها در جوانهزنی و رشد شعاعی^۳ در دمای ثابت مشاهده شده است [۲۷] یعنی بیش از ۸۰٪ کنیدی‌ها در دمای ۲۰، ۲۵ و ۳۰ درجه سانتی‌گراد و ۶۷٪ در ۳۵ درجه و کمتر از ۱۰٪ در ۱۵ درجه سانتی‌گراد پس از ۲۴ ساعت جوانهزنی می‌نمایند. دما همچنین بر توانایی ذخیره‌سازی^۴ قارچ اثر می‌گذارد. برای مثال، قدرت بقای کنیدی‌های خشک *M. anisopliae* با افزایش دمای ذخیره‌سازی^۵ از ۸ به ۲۵ درجه سانتی‌گراد کاهش می‌یابد [۲۴]. دما تنها بر جوانهزنی اسپورهای قارچی اثر نمی‌گذارد بلکه بر سرعت و کیفیت اسپورزایی نیز تاثیر می‌گذارد. بیشترین میزان جوانهزنی

۱- Azygospore

۲- Viability

۳- Radial Growth Rate

۴- Storability

۵- Storage Temperature

و اسپورزایی *M. anisopliae* در رطوبت نسبی ۱۰۰٪ و دمای ۲۰-۳۰ درجه سانتی گراد رخ می دهد. کاهش میزان جوانهزنی و بیماری زایی قارچ در رطوبت نسبی و دماهای پایین اتفاق می افتد. رطوبت نه تنها عامل محیطی مهم و اثرگذار بر کارایی قارچ بیمارگر است بلکه عامل بقای قارچ است. به طور معمول، رطوبت نسبی بالا برای جوانهزنی *M. anisopliae* مورد نیاز است. والستند (۱۹۷۰) دریافت که بهترین جوانهزنی در رطوبت نسبی ۱۰۰٪ رخ می دهد [۲۴]. آب به شکل باران همچنین بر حرکت عمودی قارچ های بیمارگر حشرات در خاک های مختلف تاثیر می گذارد. به طور طبیعی، پراکنش کنیدی های قارچی درون خاک روی بازدهی پاتوژن های قارچی^۱ به عنوان کنترل بیولوژیک اثرگذار است. اشعه فرابنفش در کنار رطوبت و دما یکی از عوامل کلیدی مسئول کارایی یا عدم موفقیت *M. anisopliae* در مزرعه است. یعنی ممکن است بر بقای قارچ اثرگذار باشد و بنابراین پیامد این میں روی بقایای آفت کش های زیستی روی محصولات تیمار شده خواهد بود [۲۴].

درباره اثر ریشه های گیاه و ترشحات ریشه روی فعالیت قارچ های بیمارگر حشرات اطلاعات اندکی وجود دارد. زیمرمن (۱۹۸۴) هنگام بررسی کنترل شپشه های سیاه مو با استفاده از *M. anisopliae* دریافت که بیمارگر بر روی گیاه سیکلامن^۲ نسبت به دیگر گیاهان کارایی کمتری دارد [۲۴].

۱-۳-۴. حشره کش های زیستی بر مبنای قارچ *Metarhizium spp.*

قارچ های بیمارگر حشرات در بسیاری از کشورهای جهان به عنوان عامل کنترل زیستی به کار برده شده اند و میزان استفاده از سموم شیمیایی آلوده کننده محیط زیست را به طور چشمگیری کاهش داده-

۱- Mycopathogen

۲- Cyclamen

اند. تاکنون بیش از ۱۵۰ حشره‌کش زیستی^۱ بر مبنای این قارچ‌ها در نقاط مختلف جهان تولید شده‌اند که در جدول ۱-۲ شماری از آفتکش‌های زیستی بر مبنای قارچ *Metarhizium* آورده شده است.

۱- ژنوم و ساختار سلولی قارچ *Metarhizium spp.*

ژنوم یوکاریوت‌ها از اندازه‌ای بین ۱۰ Mbp تا ۳ Gbp برخوردار است و در میان این موجودات، قارچ‌ها به‌ویژه مخمرها دارای کوچکترین اندازه ژنوم هستند (۵۰-۱۰ Mbp) و توالی‌یابی اولین قارچ در ۱۹۹۶ صورت پذیرفت [۲۸]. مبداء ژنومیکس قارچ‌ها با توالی‌یابی کامل ژنوم مخمر *Saccharomyces cerevisiae* آغاز گردید و طبق گفته گالاگان (۲۰۱۳) در حال حاضر ژنوم بیش از ۴۰ قارچ به‌طور کامل توالی‌یابی شده است [۲۸]. اکنون با استفاده از تکنیک‌های ملکولی مختلف، مشخص شده است که ژنوم قارچ‌های بیمارگر حشرات از اندازه‌ای بین ۳۰-۴۰ Mbp برخوردار هستند. مطالعات کروموزومی حاکی از تناقض یافته‌ها در تعداد کروموزوم‌های قارچ *Metarhizium spp.* دارد و تنوع بین ۷ و ۸ کروموزوم است [۳۱-۲۹] و اندازه ژنوم این قارچ در حدود ۳۰ Mbp تخمین زده می‌شود [۳۰، ۲۹]. به علت بالا بودن تعداد میتوکندری‌ها، بخش قابل توجهی از ژنوم کل سلول را در بر می‌گیرند. ژنوم میتوکندریایی^۲ به‌دلیل استخراج راحت‌تر نسبت به ژنوم هسته‌ای، وجود اینترون‌ها و عناصر متحرک نشان‌دهنده چندشکلی، اندازه کوچک، عدم وجود رخداد متیلاسیون، سهولت خالص‌سازی، ابزارهای آیده‌آل برای بررسی تنوع ژنتیکی درون جمعیت‌های قارچی و شناسایی ژنتیکی گونه‌ها هستند [۳۲]. همچنین نواحی intergenic میتوکندری می‌تواند اطلاعات فیلوجنیک ارزشمندی را برای مطالعه جغرافیای حیاتی^۳ (رشته‌ای در زیست‌شناسی که درباره طرز انتشار و گسترش جغرافیایی موجودات بحث می‌نماید) قارچ در اختیار قرار دهد. ژنوم میتوکندریایی قارچ بیمارگر حشرات *M. anisopliae* var. *anisopliae* با اندازه کلی ۲۴/۶۷۳ bp از کوچک‌ترین mtDNA های شناخته شده

۱- Biopesticide

۲- Mitochondrial Genome (mtDNA)

۳- Biogeography

فصل اول- مقدمه و کلیات

جدول ۱-۲: آفتکش‌های زیستی تولید شده از قارچ *Metarhizium spp.*

| نام محصول | شرکت تولید کننده | میزبان | کشور تولید کننده و منبع |
|----------------------------------|-----------------------------------|---|---|
| Ago Biocontrol Metarhizium 50 | Ago Biocontrol | بال غشائیان، سخت بال پوشان، جور بالان. راست بالان | کلمبیا |
| BIO 1020 | Bayer AG/ | شپشه انگور | آلمان، آمریکا |
| BioGreen | BioCare Technology Pty. Ltd. | سوسک طلایی پردار سر قرمز ^۱ | استرالیا |
| BioCane | BioCare Pty. Ltd. | مگس پشت قهوه‌ای نیشکر | استرالیا |
| Green guard | Seed Grain and Biotechnology | انواع ملخ‌ها | استرالیا |
| Green muscle | Biological Control Products SA | انواع ملخ‌ها | آفریقای جنوبی |
| Metarhizium Schweizer | Eric Schweizer Seeds Ltd. | زمین‌های چمنی، جوانه‌های میوه، مو- کاری‌ها و باغبانی | سوئیس |
| Taenure | Earth BioSciences Inc. | شپشه ریشه، لارو مگس‌ها، انواع ساس و کنه، تریپس نابالغ، سفید بالکها | http://www.taensa.com/products-taenure.html |

۱ - *Adoryphorus couloni*

Pezizomycota می باشد و دارای ۱۴ ژن کدکننده پروتئین است. تعداد میتوکندری ها در هر سلول یوکاریوتی بین ۱۰۰۰-۲۰۰۰ عدد تخمین زده است. آنالیز مقایسه ای ۳ ناحیه intergenic میتوکندری این قارچ نشان داد که تنوع توالی برای شناسایی درون گونه ای و برون گونه ای این قارچ استفاده می شود [۳۳]. میتوکندری ها تغییرات قابل توجهی را در ساختار، اندازه، محتوای ژنی، آرایش و بیان نشان می دهند. نواحی Intergenic، حضور اینترون ها و یا پلاسمیدها به میزان قابل توجهی در سطوح بالای چند شکل مشاهده شده در DNA میتوکندریایی قارچی شرکت دارند [۳۳]. گرچه قارچ های بیمارگر حشرات ممکن است دارای عناصر خارج کروموزومی^۱ نظیر پلاسمید^۲ [۳۴] و DNA^۳ دو رشته ای باشند که ممکن است در چند شکل های درون گونه ای شرکت نمایند.

۱-۵. مطالعه تنوع فیلوجنتیکی و روش های آن

شناسایی مورفولوژیکی با استفاده از اسلاید میکروسکوپی دارای مشکلاتی است. حذف پوشش اسلاید (لامل) و بلوکه های آگار همراه با قطعه برداشته شده موجب تغییراتی در ویژگی های مورفولوژیکی نظیر زاویه انشعاب و الصاق اسپورهای ماکرو و میکرو به اسپورانثیوسپورها موجب ایجاد مشکل در تعیین گونه قارچ ها می شود. همچنین برای مشاهده میکروسکوپی اسپورها به رنگ آمیزی نیاز است که زمان زیادی برای رنگ آمیزی و سپس رنگ زدایی لازم است. از طرفی بررسی ساختارهای جای گرفته درون محیط کشت آگار امکان پذیر نمی باشد. همچنین مشاهده ساختارهای قارچی در مدت زمان خاصی امکان پذیر است برای مثال مشاهده اسپورهای قارچ *Metarhizium* در محیط کشت آگار ۳ روز پس از کشت امکان پذیر است و گذشت این مدت موجب جوانه زنی میسلیوم ها می شود [۳۵]. همچنین بسیاری از قارچ های هیفومیست مهم گونه های پیچیده ای هستند و مرزهای میان تفاوت های مورفولوژیکی در شناسایی گونه ها معتبر نمی باشد [۳۶] لذا مطالعه توالی های DNA مقایسه ای می-

۱- Extra Chromosomal Elements

۲- Plasmid

۳- Double Stranded DNA (ds DNA)

فصل اول- مقدمه و کیات

تواند دیدگاهی جدید درباره پیوستگی میان قارچ‌های بیمارگر حشرات (فرم غیر جنسی) و فرم جنسی آنها فراهم آورد و به شفافسازی روابط فیلوزنیکی میان آنها کمک نماید [۳۷]. بدون تنوع ژنتیکی، جمعیت یک جاندار قادر به تکامل نخواهد بود و نمی‌تواند با تغییرات محیطی سازگار گردد و این تنوع بر تنوع زیستی اثرگذار است. شناسایی تنوع به طور عمده بر پایه صفات مورفولوژیکی انجام می‌شود ولی تغییرپذیری مورفولوژیکی محدود بوده، صفات در تمام مراحل توسعه موجود زنده مشاهده نمی‌شوند و همچنان ممکن است تحت تاثیر محیط قرار گیرند لذا از ابزارهای مولکولی برای بررسی تنوع استفاده می‌شود [۳۸]. تکنیک‌های مولکولی بر پایه واکنش زنجیره‌ای پلیمراز^۱ به تعیین ارتباط میان موجودات زنده و طبقه‌بندی آنها کمک می‌نماید. علی‌رغم ضرورت استفاده از تکنیک‌های مولکولی برای تاکسونومی و سیستماتیک قارچ‌های بیمارگر حشرات، شناسایی و تشخیص این قارچ‌ها مشکلاتی را در پی دارد از این‌رو به طور گسترده به تکنیک‌های مولکولی به‌ویژه تکنیک‌های مبتنی بر PCR استفاده می‌شود [۳۴]. هبرت (۲۰۰۲) سیستم نوینی را برای شناسایی گونه‌های حیوانی بر اساس تنوع ژن سیتوکروم اکسیداز I میتوکندریایی بیان نمود که مزیت این ژن شامل برخورداری از طول مناسب (۶۴۸ جفت باز)، عدم وجود اینترون‌ها، محدودیت رخداد نوترکیبی در این ژن، وراثت هاپلوبئید آن است [۳۹]. نشانگرهای مولکولی^۲ (عبارت است از تفاوت در توالی نوکلئوتیدی DNA که این تفاوت دارای توارث مندلی است) برای دست‌یابی به تنوع ژنتیکی میان جدایه‌های قارچ‌های بیمارگر حشرات، شناسایی جدایه‌های فرعی، عیین منبع جدایه‌ها، مطالعه جمعیت و آنالیز فیلوزنی به کار برده می‌شوند [۴۰]. تکنیک‌هایی نظیر AFLP^۳، RFLP^۴، DNA بارکدینگ^۵، SSR^۶ برای تعیین چندشکلی در DNA هسته‌ای مورد استفاده قرار می‌گیرند [۴۱] که در میان این تکنیک‌ها، تکنیک ایزوزایم کارآیی

۱- Polymerase Chain Reaction (PCR)

۲- Molecular Markers

۳- Restriction Fragment Length Polymorphism (RFLP)

۴- Amplified Fragment Length Polymorphism (AFLP)

۵- DNA Barcoding

۶- Simple Sequence Repeat (SSR)

ساده‌ای دارد و نسبتاً ارزان می‌باشد ولی دیگر تکنیک‌ها پر هزینه بوده و نیازمند مهارت زیاد می‌باشند [۴۲]. عواملی چون حجم داده‌های ملکولی به دست آمده و ارتباط میان آنها بر موفقیت روش ملکولی مورد استفاده در شناسایی قارچ‌ها اثرگذار می‌باشد. تکنیک‌های ملکولی به دو دسته تکنیک‌های غیر مبتنی بر واکنش زنجیره‌ای پلیمراز^۱ و تکنیک‌های مبتنی بر PCR تقسیم می‌نمایند. شناسایی و تشخیص قارچ‌ها با استفاده از تکنیک‌های ملکولی، متکی بر چندشکلی DNA است [۴۲]. این چندشکلی‌ها بیشتر در نواحی غیرکد کننده ژنوم، اینترون‌ها، فواصل بین ژنی و توالی‌های تکراری وجود دارد [۳۴].

۱-۵-۱. تکنیک‌های مبتنی بر PCR

این روش‌ها شامل چندشکلی DNA تکثیرشده تصادفی (واکنش زنجیره‌ای پلیمراز با پرایمر اختیاری^۲، چندشکلی طولی قطعات تکثیر یافته، ریزماهواره^۳، نشانگرهای ریبوزومی^۴ و نشانگرهای میتوکندریایی^۵ هستند که در خصوص *Metarhizium spp.* مطالعاتی از قبیل واکنش زنجیره‌ای پلیمراز با پرایمر اختیاری [۴۷-۴۳]، چندشکلی طولی قطعات تکثیر یافته [۷، ۴۱-۴۸، ۵۱-۵۲]، ریزماهواره [۵۴-۵۲]، نشانگرهای ریبوزومی [۴۵، ۶۲-۵۵]، نشانگرهای میتوکندریایی [۳۳] انجام گرفته است که در این پایان‌نامه به دلیل استفاده از نشانگرهای ریبوزومی صرفاً به شرح آنها پرداخته می‌شود.

۱- Polymerase Chain Reaction

۲- Random Amplified Polymorphic DNA (RAPD)

۳- Microsatellite or Simple Sequence Repeat (SSR)

۴- Ribosomal Marker

۵- Mitochondrial Marker

۱-۵-۲. نشانگرهای ریبوزومی

بخشی از ژنوم در قارچ‌ها و دیگر یوکاریوت‌ها مربوط به RNA ریبوزومی^۱ است که RNA ریبوزومی (rRNA) را کد می‌کند. ژن DNA ریبوزومی در بیش از ۱۰۰ تا ۲۰۰ نسخه به شکل توالی تکراری پشت سرهم وجود دارد. هر واحد ژن DNA ریبوزومی نسخه‌ای از زیر واحد بزرگ ریبوزوم (۲۸S)، زیر واحد کوچک ریبوزوم (۱۸S) و زیر واحد ۵/۸S را دارد (شکل ۱-۲). ژن‌های زیر واحدهای DNA ریبوزومی توسط فواصل رونویسی شده داخلی^۲ از یکدیگر جدا می‌شوند. مناطق بین هر واحد ژنی را فواصل بین ژنی یا فواصل رونویسی نشونده^۳ می‌گویند که این فواصل بین ژنی غیر رونویسی شده، به طور جداگانه‌ای دارای ۵/۸S rRNA ناحیه‌ای است که در میان زیر واحدهای ۱۸S و ۵/۸S قرار گرفته و از ناحیه ITS2 که میان دو زیر واحد ۵/۸S و ۲۸S قرار گرفته بزرگتر می‌باشد. طول کلی این ناحیه در میان موجودات مختلف در طیفی معادل bp ۶۴۷- ۶۳۸ می‌باشد [۶۳]. نسخه‌های ژنی ۲۸S، ۱۸S و ۵/۸S در مقایسه با مناطق ITS و IGS، محافظت شده هستند و برای مطالعه‌ی روابط بالاتر از مراتب تاکسونومی^۴ استفاده می‌شوند [۳۴]. مقایسه ۳ زیر واحد DNA هسته‌ای نشان داد گرچه نواحی ژن‌های کد کننده پروتئین اغلب دارای درصد بالایی از شناسایی دقیق نسبت به نشانگرهای ریبوزومی هستند اما قابلیت تکثیر PCR و توالی‌یابی موفق آنها کم است و آنها را از بارکد جهانی شناسایی قارچ‌ها حذف می‌نماید. از تنوع موجود در ITS برای شناسایی گونه به جنس^۵ و از تنوع موجود در IGS برای شناسایی جمعیت به زیر گونه^۶ استفاده می‌شود. از آنجا که مناطق ۲۸S و ۱۸S در موجودات مرتبط به شدت محافظت شده است و توالی‌های آنها در یوکاریوت‌های مختلف مشخص شده است بنابراین می‌توان برای آنالیز چند شکلی موجود در ITS و IGS از

۱- Ribosomal DNA

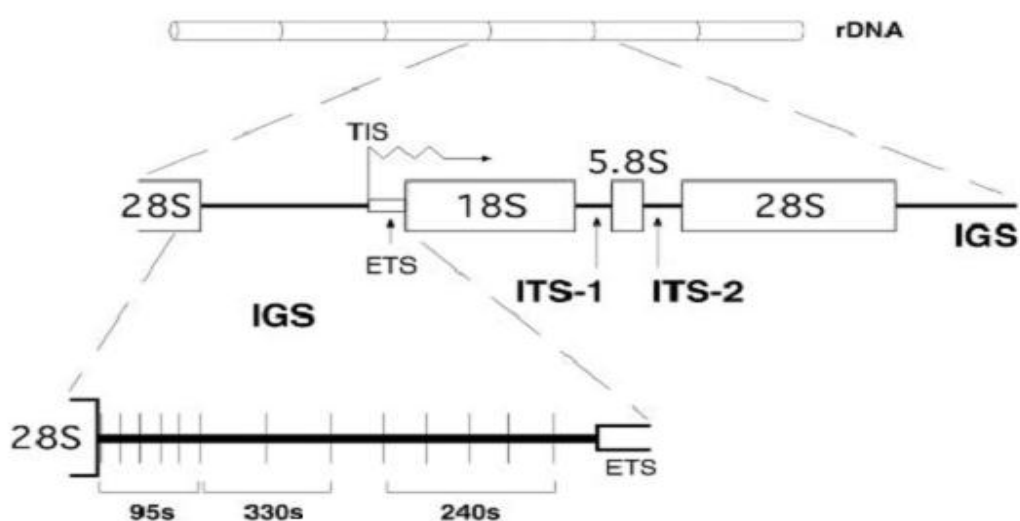
۲- Internal Transcribed Spacer (ITS)

۳- Inter-Genic Spacer or Non-Transcribed Spacer (IGS)

۴- Taxonomic Hierarchy

۵- Specific to Generic

۶- Population to Subspecific



شکل ۱-۲: دو ناحیه ITS و IGS [۲]. ژن‌های زیرواحدهای DNA ریبوزومی توسط فواصل رونویسی شده داخلی (ITS) از یکدیگر جدا می‌شوند. مناطق بین هر واحد ژنی را فواصل بین ژنی غیر رونویسی شده (IGS) می‌گویند. که این فواصل بین ژنی غیر رونویسی شده، به طور جداگانه‌ای دارای ۵/۸S rRNA می‌باشد

فصل اول- مقدمه و کلیات

پرایمرهایی استفاده کرد که با بخشی از مناطق ۲۸S و ۱۸S مکمل هستند. برای بررسی و آنالیز چند شکلی موجود در مناطق ITS و IGS می‌توان مستقیماً از ژل آگارز برای بررسی چند شکلی موجود در مناطق ITS و IGS نه تنها برای مشاهده‌ی تنوع بین و درون‌گونه‌ای در قارچ‌های بیماری‌زای حشرات استفاده شده است بلکه با طراحی پرایمرهای اختصاصی از آنها برای مطالعات تشخیصی استفاده شده است. تعداد کپی‌های زیاد نواحی ITS این ژن (بیش از ۲۵۰ نسخه) سبب شده که این نواحی برای توالی‌یابی مناسب باشند و معمولاً این ناحیه دارای ۴۵۰ تا ۷۰۰ جفت باز می‌باشد [۶۴]. توالی‌های زیر واحد کوچک rDNA هسته‌ای برای مطالعه روابط موجودات و ژن‌های rRNA میتوکندریایی برای شناسایی در سطح خانواده و راسته مورد استفاده قرار می‌گیرند. نواحی ITS و توالی‌های تکراری rDNA هسته‌ای ممکن است در میان گونه‌های یک جنس یا در میان یک جمعیت تغییر نمایند. توالی‌یابی مستقیم rRNA برای به دست آوردن اطلاعات سریع از توالی ژنوم مورد استفاده قرار می‌گیرد اما نیازمند مقادیر نسبتاً زیاد RNA است. پرایمرهای مختلفی برای تکثیر قطعات ژن‌های rDNA میتوکندریایی و هسته‌ای طراحی شده است. پرایمرهای ITS از نواحی حفاظت شده ۲۸S، ۱۸S و ۵/۸S ژن‌های rRNA برای تکثیر نواحی غیرکدکننده میان آنها استفاده می‌کنند و شامل ۵ پرایمر هستند که هر کدام قسمت‌هایی از ناحیه ITS1-5.8S-ITS2 را تکثیر می‌کنند. به عنوان مثال استفاده از پرایمر ITS5 موجب تکثیر قسمت‌هایی از ناحیه ۱۸S، فواصل رونویسی شده داخلی و ۲۸S می‌شود که در شکل ۱-۳ پرایمرهای مناطق تکثیری توسط آنها نشان داده شده است. مقایسه توالی‌های S. pombe و Schizosaccharomyces cerevisiae Neurospora crassa در قارچ ۵/۸S rRNA باقلا و موش^۱ برای انتخاب پرایمرهای ITS2 و ITS3 انجام شد. توالی‌های ۲۸S در S. pombe با یکدیگر مقایسه شدند [۱]. پرایمرهای ITS cerevisiae شامل ۵ پرایمر برای انتخاب پرایمر ITS4 با یکدیگر مقایسه شدند [۱]. پرایمرهای ITS1-5.8S-ITS2 را تکثیر می‌کنند. به عنوان مثال

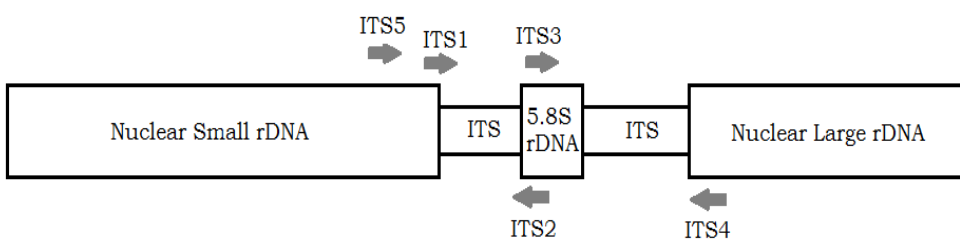
۱- *Mus musculus*

استفاده از پرایمر ITS5 موجب تکثیر قسمت‌هایی از ناحیه ۱۸S، فواصل رونویسی شده داخلی و ۲۸S می‌شود (شکل ۳-۱).

در حالت کلی برای شناسایی سریع و دقیق گونه‌ها، از نواحی ژنی استاندارد به عنوان دنباله‌های درون گونه‌ای استفاده می‌شود که به آنها بارکدینگ DNA گویند و کارآیی این نواحی در برخی گونه‌ها نظیر پرنده‌گان [۶۵]، پروانه‌ها، جلبک‌های دریایی [۶۶] و گیاهان گلدار [۶۷] ارزیابی شده است. در سلسله قارچ‌ها، شناسایی گونه‌ها بر پایه مورفولوژی چندان ساده نیست و هم‌چنین این شناسایی دقیق نمی‌باشد و لذا برای این موجودات که میکروارگانیسم‌هایی با بیش از ۱/۵ میلیون گونه هستند [۲۸] روش -های بارکدینگ DNA متفاوتی پیشنهاد شده است که یکی از آن‌ها سیتوکروم اکسیداز I (COX) است و برای قارچ‌های حقیقی^۱ به کار برده می‌شود [۶۸]. ناحیه زیر واحد بزرگ سیتوکروم اکسیداز C میتوکندریایی به عنوان نشانگری بالقوه برای قارچ‌ها استفاده شد اما این ناحیه در قارچ‌ها به سختی تکثیر می‌شود و دارای اینtron‌های بزرگ می‌باشد و به میزان اندکی تغییرپذیری دارد. نواحی ژنی متنوعی نظیر زیر واحد بزرگ ریبوزومی هسته‌ای، ITS، توالی‌های ژنی β -توبولین و توالی‌های فاکتور طویل شدن $I-\alpha$ ^۲ برای شناسایی قارچ‌ها در سطح گونه به کار برده شده است [۶۸] به دلیل این‌که ژن -هایی که پروتئین را کد می‌نمایند ممکن است از نظر تکاملی متفاوت باشند و به علت فشار انتخابی، مستعد اریبی باشند، بیش از یک ژن بایستی برای داشتن تنوع ژنتیکی توالی‌یابی شود [۳۴]. قارچ -شناسان از توالی DNA ITS در ریبوزومی به عنوان بارکد معمول استفاده می‌نمایند زیرا این نشانگر در نسخه‌های متعدد در بیشتر قارچ‌ها وجود دارند. ناحیه ITS در ۷۲٪ تمام قارچ‌ها شناسایی موفقیت -آمیزی را در پی دارد که این میزان تقریباً با دو سیستم بارکد شناسایی گیاهان برابر می‌کند. نرخ بالای موفقیت PCR یکی از دیدگاه‌های ضروری کاربرد محتمل این ناحیه به عنوان بارکد است، گرچه

۱- True Fungi

۲- Elongation Factor 1- α



شکل ۱-۳: انواع پرایمرهای ITS برای تکثیر ناحیه ITS1-5.8S-ITS2 [1] ITS1-ITS2 به تکثیر ناحیه ITS1 ، ۵/۸S و قسمتی از زیر واحد کوچک ریبوزومی می‌پردازد. پرایمر ۵/۸S قسمتی از زیر واحد بزرگ ریبوزومی، کل ناحیه ITS (یعنی ITS1 و ITS2 و زیر واحد کوچک ریبوزومی را تکثیر می‌نماید. پرایمر ITS3 موجب تکثیر ناحیه ۵/۸S و ITS2 و قسمتی از زیر واحد بزرگ ریبوزومی می‌گردد. پرایمر ITS1 قسمتی از زیر واحد کوچک ریبوزومی، کل ناحیه ITS و قسمتی از زیر واحد بزرگ ریبوزومی را در بر گرفته و آنها را تکثیر می‌نماید.

شناسایی موفقیت‌آمیز برای *RPB1*^۱ برابر ۸۱٪ است اما میزان PCR موفق آن اندک است و جدی‌ترین محدودیت این ژن در انتخاب آن به عنوان بارکد استاندارد می‌باشد [۶۷]. این بارکد (ناحیه ITS) کوتاه است و در برخی جنس‌ها نظیر آسکومیست‌ها قادر به شناسایی گونه‌ها نمی‌باشد [۶۹] که شامل بیش از ۶۰٪ گونه‌های قارچی شناخته شده است لذا برای این قارچ‌ها به بارکدی ثانویه با تغییرپذیری کافی در کنار ITS برای شناسایی گونه‌ها نیاز است [۶۷].

در این پایان‌نامه، به مطالعه‌ی پراکنش قارچ بیمارگر حشرات *Metarhizium spp.* در نمونه خاک‌های استان‌های سمنان، گلستان، مازندران، گیلان، هرمزگان، تهران، تعیین قدرت بیماری‌زایی جدایه‌های حاصل از نمونه‌های خاکی، بررسی کارایی واکنش زنجیره‌ای پلیمراز برای تکثیر منطقه‌ی ITS قارچ جداسازی شده‌اند، آنالیز و بررسی تنوع موجود در منطقه‌ی ITS ژنوم قارچ بیماری‌زای حشرات *Metarhizium spp.* خواهیم پرداخت.

در این پایان‌نامه به دنبال پاسخ‌هایی برای سوالاتی از قبیل این‌که امکان جداسازی قارچ *spp.* در نمونه خاک‌ها وجود دارد یا خیر؟، جدایه‌های قارچی به دست آمده از نظر *Metarhizium* خصوصیات مرفولوژیکی با یکدیگر تفاوت دارند؟، تاثیر شرایط آب و هوایی مناطق مختلف بر پراکنش قارچ *Metarhizium spp.* چگونه است؟، در قدرت بیماری‌زایی قارچ‌های جدا شده تفاوتی وجود دارد یا خیر؟، آیا تفاوت‌های مشاهده شده در جدایه‌های قارچی از نظر ژنتیکی با استفاده از تنوع موجود در ناحیه‌ی ITS قابل بررسی هستند؟

۱- RNA Polymerase II Largest Subunit (RPB1)

فصل دوم

مرور منابع

تکنیک ITS در شناسایی و بررسی تنوع رشته‌کی قارچ بیمارگر حشرات *Metarhizium* spp.

فصل «م»- مرور منابع

تکنیک‌های مختلفی برای مطالعه تنوع ژنتیکی موجودات زنده وجود دارد که بسته به هدف کار از یک یا تعدادی از این تکنیک‌ها استفاده می‌شود. بررسی مطالعات گوناگون نشان داد برای تشخیص و شناسایی یک قارچ در حد گونه و سلسله مراتب تاکسونومی پایین‌تر می‌توان از نشانگرهای ریبوزومی، نشانگرهای میتوکندریایی، ژن‌های کد کننده میتوکندریایی استفاده نمود. در این فصل از پراکنش جغرافیایی قارچ، شناسایی و تشخیص آن و مرور منابع نشانگرهای ریبوزومی در زمینه قارچ شناسایی قارچ بیمارگر حشرات *Metarhizium spp.* برای ITS صحبت به میان خواهد آمد و در انتهای دلیل استفاده از پرایمرهای ITS را برای شناسایی قارچ بیمارگر حشرات *Metarhizium spp.* بیان می‌کنیم.

۲- شناسایی قارچ *Metarhizium spp.* با استفاده از ناحیه ITS ریبوزومی

پس از پیشرفت تکنیک‌های ملکولی، شناسایی موجودات زنده با دقت و سرعت بیشتری همراه گردید. از این تکنیک‌های ملکولی برای طبقه‌بندی مجدد بسیاری از جنس‌های قارچی نظیر قارچ‌های بیمارگر دارای تکنیک‌های ملکولی برای طبقه‌بندی مجدد بسیاری از جنس‌های قارچی نظیر قارچ‌های *Paecilomyces* و *Lecanicillium* به دو بخش *Paecilomyces* دارای قارچ‌های ترموفیل و بخش *Isarioidea* دارای قارچ‌های مزوфیل شامل چندین قارچ بیمارگر حشرات یا گونه‌های نماتوفاژ^۱ نظیر *P. fumosoroseus* *P. farinoseus* تقسیم شده است [۷۰]. *Verticillium section Verticillium* که شامل *Verticillium* نیز هم اکنون به دو بخش *Verticillium* گویند، تقسیم‌بندی شده است [۱۳]. شناسایی قارچ بیمارگرها گیاهی است و در واقع قارچ‌های آنامورف^۲ (فرم غیرجنسی) آسکومیست‌های پرتیس‌دار راسته *Phyllachorales* می‌باشد و *V. section Prostrata* که شامل آنامورف‌های راسته *Hypocreales* (Sordariomycetes) می‌باشد و بیشتر قارچ‌های بیمارگر حشرات در این گروه جای می‌گیرند که به آن‌ها *Lecanicillium* گویند، تقسیم‌بندی شده است [۱۳]. شناسایی قارچ *Metarhizium* با استفاده از نشانگر ITS صورت پذیرفته که در ادامه برخی از مطالعات فیلوزنی صورت

۱- Nematophagous

۲- Anamorph

گفته در خصوص این قارچ را بیان می‌نماییم.

در چین [۵۷] نواحی *M. anisopliae* و *M. taiii* در ITS2 و ITS-1-۵/۸S rDNA و *Cordyceps taiii* در *M. anisopliae* var. *anisopliae* تکثیر، کلون‌سازی و توالی‌یابی گردید و آنالیز اطلاعات سویه‌های *M. anisopliae* var. *anisopliae* است *M. anisopliae* var. *anisopliae*^۱ *M. taiii* نشان داد که متراوف^۲ از *M. flavoviride* GenBank از *M. flavoviride* یعنی توالی هم‌ردیف شده *M. taiii* و *M. anisopliae* درجه بالایی از شباهت را با ۱۷ جدایه (حداکثر صرفه-جویی) درختچه، فرم جنسی *Cordyceps taiii* در واقع *M. anisopliae* var. *anisopliae* است. لیو [۵۹] برخی از نواحی شناسایی گونه‌های *Metarhizium* را از دیگر گونه‌ها در زیرواحدهای کوچک و بزرگ RNA ریبوزومی (۲۸S، ۱۸S) تعیین نمود. کوران [۵۵] محصولات PCR نواحی ITS2، ITS1، ۵.۸rDNA مطالعات نشان داد جنس *Metarhizium* تکنیایی^۳ است (یعنی جنسی شامل تمام گونه‌های مربوط به یک نیا) و دو گونه *M. flavoviride* و *M. anisopliae* از یکدیگر جدا هستند. با مطالعه گونه‌های *M. album* *M. anisopliae* var. *majus* *M. anisopliae* var. *anisopliae* مختلف قارچ *flavoviride* با استفاده از DNA کدکننده rRNA مشاهده شد که می‌توان بر اساس منشاء جغرافیایی گونه‌های این قارچ را در آنالیز کلستر، تفکیک و طبقه‌بندی نمود اما همبستگی میان RFLP‌ها و منشاء حشرات میزبان وجود ندارند [۴۵]. درایور [۵۱] بر پایه توالی‌های ITS جدایه‌های تعیین شده ITS *M. flavoviride* را در دو شاخه^۴ از *M. anisopliae* var. *frigidum* قرار داد و بدین ترتیب توالی *C.* به عنوان معیار مهم تاکسونومی قارچ‌ها شناخته شد. در سال ۲۰۰۱ [۵۹] گونه جدید *M. anisopliae* var. *brittlebarkisioides* معرفی شد که بر اساس آنالیز توالی ITS آنامورف آن را.

۱- Synonym

۲- Maximum Parsimony

۳- Monophyly

۴- Clade

فصل دوم- مرور منابع

M. majus دانستند در حالی که در درختچه فیلوژنیک *C. brittlebarkisoides* در کلاستر قارچ *M. flavoviride* قرار گرفته است. بر اساس توالی ITS مشخص شده است که *M. flavoviride* به ترتیب دارای ۵ و ۴ کلاستر هستند و *M. album* به عنوان گونه‌ای جدا در نظر گرفته شد [۵۷]. روابط میان *Cordyceps* و فرم‌های غیر جنسی مفروض آنها را با استفاده از توالی‌های ITS1-5.8S-ITS2 بررسی شده و ارتباطات میان فرم جنسی و غیر جنسی قارچ‌های بیمارگر حشرات را بر پایه روش اتصال مجاور^۱ به صورت زیر بیان نموده‌اند: *B. brongniartii* فرم غیر جنسی *C. anisopliae* var. *majus*, *B. sobolifera*, *C. brittlebankisoides*, *M. anisopliae* var. *majus*, *brongniartii* فرم غیر جنسی *C. sinesis* و *C. sobolifera* فرم غیر جنسی *Hirsutella sinesis* است. نتیجه گرفته شد توالی‌های ITS و ۵/۸S اطلاعات مفیدی برای تایید اتصال فرم جنسی- غیر جنسی قارچ‌ها فراهم می‌آورند و در تعیین محدوده گونه‌های درون *Cordyceps* کمک می‌نمایند [۷۱]. شناسایی روابط فیلوژنیکی میان قارچ‌های کاترپیلار^۲ (فرم جنسی قارچ‌های بیمارگر حشرات را به دلیل تولید میسلیومی که کاترپیلار (در واقع همان اندام میوه‌ای) نامیده می‌شود را قارچ‌های کاترپیلار می‌گویند) با استفاده از مقایسه توالی‌های نواحی رونویسی‌شده داخلی (ITS1 و ITS2 و ۵/۸S) صورت پذیرفت. در این آزمایش توالی‌های ۱۰ سویه *Cordyceps*, ۱۲ سویه *Paecilomyces*, ۳ سویه *Beauveria*, ۲ سویه *Metarhizium* و ۱ سویه *Hirsutella* به کار برده شد. در درختچه فیلوژنیک رسم شده با استفاده از روش اتصال مجاور، جنس‌ها در ۳ کلاستر قرار گرفتند و *Metarhizium* به عنوان اوت گروپ^۳ در درختچه مشخص شد [۷۲]. آنالیز توالی‌های ITS در ۷۲ تاکسون *Epichloe*, *Claviceps*, *Cordyceps* nrDNA و فرم‌های غیر *Hymenostilbe*, *Hirsutella*, *Metarhizium*, *Beauveria*, *Akanthomyces* جنسی است. صورت گرفت. بر پایه روش حداقل صرفه- *Tolypocladium* و *Polycephalomyces*, *Paecilomyces*

۱- Neighbor Joining

۲- Caterpillar Fungi

۳- Outgroup

جویی^۱، ۱۰ زیر کلاستر از آنالیز جداگانه زیر مجموعه‌ها شناسایی گردید و مشخص شد *Cordyceps* spp. دارای نتاج متعدد است. اختصاصیت میزبانی، اهمیت و مفهوم فیلوژنتیکی را محدود نموده و رخداد تغییر میزبانی در طول تکامل *Cordyceps* پیشنهاد شده است [۷۳]. در برزیل به بررسی ۵ میزبان قارچ *Metarhizium* نظری سن نیشکر و ملخ پرداخته شد و آنالیز RAPD صورت گرفته تفاوتی میان جدایه‌ها نشان نداد اما استفاده از پرایمرهای ITS1 و ITS4 مشخص نمود که گرچه جدایه‌های قارچ میزبان‌های یکسانی را آلوده می‌نمایند اما این جدایه‌ها از نظر ژنتیکی از یکدیگر متمایز هستند. ناحیه ITS1 تغییرپذیری بیشتری نسبت به ITS2 نشان می‌دهد. و اگرایی توالی ITS درون گونه‌های *B. bassiana* و *B. brongniaritti* هر دو بین ۵-۰٪ گزارش شده است در حالی که *Metarhizium* دارای و اگرایی بیش از ۵٪ هستند [۵۸]. در برزیل توالی‌های ITS1-5.8S-ITS2 سویه‌ها و واریته‌های *M. flavoviride* و *M. album* *M. anisopliae* تقریباً از طولی معادل ۵۴۰ نوکلئوتید برخوردار بود سپس با استفاده از روش اتصال مجاور به ترسیم درختچه فیلوژنی پرداخته شد [۶۱].

انستیتوکشاورزی تحقیقات بین‌المللی شیلی ۳۵۰ جدایه *M. anisopliae* var. *anisopliae* را از مرکز و جنوب این کشور جدا نموده‌اند و این جدایه‌ها از منظر صفات مورفولوژیک یعنی اندازه کنیدی، شکل و رنگ کلنی، الگوی رشد و کارایی آنها در کنترل آفات بررسی شده‌اند. برای درک تنوع ژنتیکی و ساختار جمعیت این جدایه‌ها از نشانگرهای ملکولی نظری RFLP، SSR و RAPD استفاده شد و اطلاعات به دست آمده نشان داد که تنوع ژنتیکی بالایی در این قارچ وجود دارد (برای RAPD ۴۱٪، برای SSR میزان شباهت ۴۵٪ و برای نشانگر ITS شباهت برابر ۷۰٪ بود) [۶۲]. شباهت، برای قارچ‌های بیمارگر حشرات *Diatraea saccharalis* از لارو حشره *Metarhizium* با استفاده شناسایی قارچ‌های بیمارگر حشرات *Metarhizium anisopliae* و *M. album* *M. flavoviride* صورت پذیرفت و از نواحی ITS1 و ITS2 سویه‌های

۱- Maximum Parsimony

فصل «م»- معرفه منابع

محصول PCR این نواحی برای *M. anisopliae* از طولی معادل ۶۰۰ bp، برای *M. album* از طولی معادل ۶۵۰ bp و برای *M. flavoviride* از طولی معادل ۶۰۰ bp برخوردار بود و سپس این محصولات، توسط اندوکلئازهای محدودالاثر مختلفی نظیر *Hpa II*, *Hae III*, *Dde I*, *Alu I*, *Afa 1* هضم شدند و صورت گرفته، تفاوت‌های واضحی را میان این گونه‌ها نشان داد [۶۱]. توالی‌های ITS را ابزاری RFLP موثر در تعیین تنوع ژنتیکی در بسیاری از گونه‌های قارچی دانسته شد و تغییرپذیری ژنتیکی^۱ را در قارچ *Metarhizium spp.* مشخص نمود [۵۳]. در مطالعه‌ای به بررسی تغییرپذیری ژنتیکی جدایه‌های مختلف قارچ *M. anisopliae* جدا شده از خاک‌های کشورهای چین، لائوس، کره‌جنوبی، سنگاپور و هلند با استفاده از نشانگر ریزماهوواره پرداخته شد و آنالیز ۶۲ جدایه نشان داد که حداقل سطح تغییرپذیری ژنتیکی در این گونه از قارچ‌های بیمارگر وجود دارد و ژنتیپ‌ها توسط ITS- rDNA تعیین گردید. تغییرات توالی در نواحی ITS^۲ و IGS وجود دارد که در تکثیر فسمت‌هایی از ژنوم موجودات مختلف نظیر قارچ‌های بیمارگر به کار رفته است [۷۴].

تنوع ایجاد شده در نواحی ITS ۴۰ جدایه *M. anisopliae* var. *M. anisopliae* var. *anisopliae* در نواحی M. *flavoviride* var. *minus* و *M. flavoviride* var. *flavoviride acridum* ۳۹ تای آنها درون یک کلاستر گردید. تنوع توالی نوکلئوتیدی نواحی IGS در ۲۱ جدایه *M. anisopliae* var. *anisopliae* نشان‌دهنده این است که تغییر طول ناحیه IGS موجب دسته‌بندی این جدایه‌ها درون ۳ کلاستر می‌شود که به‌طور ضعیف با حشره میزبان همبستگی دارند [۷۵]. برای دست‌یابی به تغییرپذیری ژنتیکی ناحیه IGS در *Metarhizium rDNA* تعداد ۳۴ جدایه از این قارچ توالی‌یابی شده و با ۲۰ توالی *M. anisopliae* var. *anisopliae* موجود در پایگاه ژنی آنالیز شدند. تنوع نوکلئوتیدی بانک ژنی برای ناحیه مورد مطالعه برابر ۰/۰۹۰ و برای جدایه‌های بزریل معادل ۰/۰۱۶ بود و پیشنهاد گردید که تنوع ژنتیکی جدایه‌های بزریل، زیرمجموعه‌ای از تنوع *M.*

۱- Genetic Variability

۲- Non-Transcribed Spacer

بررسی توزع رشکی قارچ بیماری زایی حشرات *Metarhizium anisopliae* var. *anisopliae* جهانی می‌باشد [۷۶]. تعداد ۷ جدایه قارچ بیمارگر حشرات به دست آمده با روش طعمه گالریا از جنگل‌های فندق ترکیه با استفاده از توالی ITS و ژن *EF1-α* توالی‌یابی شدند و بر اساس روش اتصال مجاور به عنوان *Metarhizium sp.* *M. anisopliae* var. *anisopliae* شناسایی شدند [۴۱]. ۲۵ جدایه *Metarhizium* جمع‌آوری شده از حشرات میزبان و خاک مناطق مختلف تایلند با استفاده از صفات مورفولوژیکی مانند مورفولوژی کلینی، اندازه و شکل کنیدی‌ها بر روی محیط کشت PDA توصیف شدند و آنالیز توالی ITS و ۵/۸S برای شناسایی ژنتیک‌ها صورت گرفت. تکثیر جدایه‌ها با استفاده از پرایمرهای ITS1 و ITS4 قطعه‌ای به طول تقریبی ۵۵۰ نوکلئوتید را به وجود آورد. *M. album*, *M. anisopliae*, *M. flavoviride* و *M. anisopliae* var. *anisopliae* ۲۵ جدایه قارچی در ۴ گروه اصلی (شاخه‌های B, C, E و F) قرار گرفتند. اما این مطالعه نتوانست تفاوت میان *M. anisopliae* var. *majus* و *M. anisopliae* var. *anisopliae* میان ۱۴۵ جدایه *Metarhizium* جدا شده از مناطق مختلف ژاپن صورت ITS و ۵ انتهای توالی *EF-1α* در [۷۷]. آنالیز گرفت که آنالیز ITS با استفاده از روش اتصال مجاور، جدایه‌های بدست آمده را درون ۲ کلاستر *M. anisopliae*, *M. lepidiotae* و *M. flavoviride* var. *pimpighi* قرار داد و آنالیز ۶ EF-1α گونه *M. robertisii*, *M. brunneum*, *M. guizhouense*, *M. majus*, *M. pingshaens* اشنايدر و رنر [۲۲] از روش حداکثر صرفه‌جویی برای ترسیم درختچه جدایه‌های *Metarhizium* استفاده نمودند. بر این اساس، کلاسترهای *M. anisopliae* و *M. brunneum* توسط ناحیه دارای ارزش بوت استرپ کمی بودند و مرزهای گونه‌ای برای *M. majus*, *M. guizhouense* و *M. pingshaense* در این مکان ژنی برطرف نگردید. همچنین روش حداکثر درست-

نمایی^۱ و اتصال مجاور نیز برای رسم درختچه مورد استفاده قرار گرفت که نتایج حاصل از آن در مقاله نشان داده نشده است. در بزریل [۷۸] اهمیت قارچ بیمارگر حشرات *Metarhizium* در کنترل ساقه-خوار نیشکر^۲ بررسی شده است و بر پایه تنوع ژنتیکی این قارچ و نبود اتصالی میان بیماری‌زایی و اختصاصیت میزبانی جدایه‌های این قارچ، جدایه‌های IPA213، IPA215، IPA219، IPA216 و IPA217 را با استفاده از ناحیه ITS تکثیر نموده و با آنزیم‌های برشی *HinfI*، *HindIII* و *HpaI* و *HpaII* برش دادند. نتایج حاصل از توالی‌یابی ITS نشان داد جدایه‌ها گرچه از یک میزبان به دست آمده‌اند اما به‌طور ژنتیکی با یکدیگر فاصله دارند و این شاید به علت منشاء ناشناخته میزبان‌ها باشد. براساس روش اتصال مجاور نتایج این آزمایش نشان داد *M. anisopliae* مونوفیلیتیک است. بررسی پراکنش قارچ‌های بیمارگر حشرات در ۱۰۸۰ نمونه خاک در کره [۷۹] صورت پذیرفت و جداسازی این قارچ‌ها با استفاده از محیط‌کشت انتخابی حاوی دودین و آنتی‌بیوتیک‌ها انجام شد. در کنار شناسایی مورفولوژیکی قارچ-*Metarthizium*، از ناحیه ITS برای شناسایی ملکولی آنها استفاده شد و بدین صورت ۸۲ جدایه spp. و ۱۲۵ جدایه spp. *Beauveria* spp. شناسایی شدند و رسم درختچه با روش اتصال مجاور صورت گرفت [۸۰]. بر اساس توالی‌های رونویسی‌شده داخلی و توالی‌های تکراری ساده، روابط فیلوجنتیکی و تنوع ژنتیکی *Schiadtella formosana* بیمارگر سن *Metarhizium* spp. بررسی گردید. نتایج نشان داد عوامل مسبب بیماری موسکاردین سبز در جمعیت این سن *M. anisopliae* و گونه خواهری آن *M. robertsii* می‌باشند. با استفاده از روش اتصال مجاور دو کلاستر اصلی در دندروگرام ترسیم شده مشاهده شد [۷۹].

۲-۲. پراکنش جغرافیایی

بنا به نظر فوکسا (۱۹۹۵) اکولوژی^۳ مطالعه‌ی علمی پراکنش و فراوانی موجودات است که این پراکنش و فراوانی در محیط‌زیست از عوامل مختلف زنده و غیرزنده اثر می‌پذیرد [۲۴]. قارچ‌های بیمارگر

۱- Maximom Likelihood

۲- *Mahanarva posticata*

۳- Ecology

حشرات در طیف وسیعی از زیستبوم‌ها نظیر جنگل‌ها، اکوسیستم‌های کشاورزی، مراتع، دشت‌ها و مناطق شهری پراکنده شده‌اند و توانایی آنها در تنظیم جمعیت حشرات آفت در زیستبوم‌های مختلف نظیر نواحی گرمسیری و معتدل مطالعه شده است. خاک پناهگاه مناسبی برای قارچ‌های بیمارگر حشرات می‌باشد زیرا از تابش اشعه مواراءبنفس و تاثیرات مضر زنده و غیر زنده محفوظ می‌مانند. پراکنش قارچ‌های بیمارگر حشرات از قطب شمال تا نواحی گرمسیری و زیستبوم‌های جنگلی، ساوانا، باتلاق‌ها، نواحی ساحلی و بیابان می‌باشد. مطالعات کووئسادا-مورگا نشان دهنده این بود که ارتفاع در مناطق مختلف تاثیری بر روی حضور قارچ‌های بیمارگر حشرات ندارد [۸۱] اما سان و لیو اهمیت این عامل را روی تنوع جنس‌های قارچ‌های بیمارگر حشرات اثبات نمودند [۸۲]. سانچز-پنا [۸۱] در مطالعات خود گزارش نمود که *B. bassiana* در جنگل‌ها و *M. anisopliae* در خاک‌های قابل زرع فراوانی بیشتری دارند و این به واسطه‌ی قابلیت دوام طولانی‌تر کنیدی‌های آن در عدم حضور میزان حشره‌ای است. بر پایه مطالعات میلینگ و الینبرگ قارچ *B. bassiana* در بالای سطح خاک یافت می‌شود و *M. anisopliae* در سطح یا خاک زیرین ساکن می‌باشد. اثرات فاکتورهایی مانند موقعیت جغرافیایی، سیستم کشت، ویژگی‌های خاک، اثرات فاکتورهای غیر زنده بر حضور و پراکنش قارچ‌های بیمارگر حشرات مطالعه شده است [۸۱]. عوامل خاک یعنی دما، اسیدیته (pH)، محتوای ارگانیک، رطوبت نسبی^۱، ترکیبات آلی و معدنی خاک می‌تواند بر حضور و فعالیت این قارچ‌ها اثرگذار باشد [۸۳].

۲-۳. کاربرد قارچ بیمارگر *Metarhizium spp.* علیه حشرات مختلف و بندپایان

باید گفته شود سویه‌های مختلف قارچ *Ixodes scapularis* بیماری‌زا می-*M. anisopliae* در کنه *Ixodes scapularis* در کنه *Ixodes scapularis* بیماری‌زا می-*M. anisopliae* باشند و نقشی را در مدیریت جمعیت کنه‌ها ایفاء می‌نمایند [۸۴]. بررسی بیماری‌زا قارچ

۱- Relative Humidity (RH)

فصل دوم- مرور منابع

روی کنه پارازیت *Varroa destructor* در کندوهای عسل نشان داد که این قارچ می‌تواند در مدت ۳-۴ روز سبب حداکثر مرگ و میر کنه‌ها گردد [۸۵]. در ایالت آلیکانته اسپانیا به منظور تعیین بیمارگرهای حشرات در ۶۱ نمونه خاک مزارع کشاورزی از لاروهای *Galleria mellonella* عنوان طعمه استفاده گردید و مشخص شد قارچ *B. bassiana* با ۳۲/۸ درصد، *Metarhizium* با ۶/۴ درصد و *L. lecanii* با ۴/۸ درصد فراوان‌ترین قارچ‌های بیمارگ در خاک بودند *M. anisopliae* [۸۳]. کاربرد قارچ *M. anisopliae* علیه حشرات کامل و لاروهای سوسک برگ نارگیل در آزمایشگاه نشان داد که حساسیت لاروها به این قارچ بیشتر است و کاربرد *M. longissima* در آزمایشگاه نشان داد که حساسیت لاروها به این آفت نشان‌دهنده کارایی بیشتر *M. anisopliae* در کنترل آفت است [۸۶]. ۲۳ جدایه *B. bassiana* و ۱۳ جدایه *M. anisopliae* بر روی پوره‌های سن سوم *Triatoma infestans* ناقل بیماری Chagas بررسی شدند. در رطوبت نسبی ۵۰٪ میزان بیماری-زایی در میان جدایه‌ها در طیفی معادل ۹۷/۵٪- ۱۷/۵٪ مشاهده شد و LC_{50} برای جدایه CG14 قارچ *B. bassiana* معادل $10^6 \times 4/3$ و برای جدایه CG491 قارچ *M. anisopliae* معادل $10^5 \times 7/1$. تای لاک [۸۸] ۱۲ جدایه قارچ‌های بیمارگ حشرات *M. anisopliae* کنیدی/امیلی‌لیتر به دست آمد [۸۷]. بکار برد و درصد مرگ و میر حشرات را به ترتیب ۵۷/۵٪ و ۷۴/۷٪ درصد اعلام نمود. *Leptocoris acuta* بیماری‌زایی ۱۱ سویه بومی قارچ‌های بیمارگ حشرات جمع‌آوری شده از قسمت‌های مختلف ایران (گونه‌های *Rhipicephalus annulatus* (*M. anisopliae*, *B. bassiana*, *L. psalliotae*) بر روی *Anopheles* با غلطت‌های گوناگون سوسپانسیون اسپور بررسی گردید و پارامترهای مختلفی نظیر نرخ مرگ و میر، درصد آلدود شدن تخمهای کنه در نظر گرفته شد و نتایج نشان داد که ۵ جدایه در مراحل مختلف سیکل زندگی کنه بیماری‌زا هستند و نرخ مرگ و میر کلی برای *M. anisopliae* معادل ۹۰-۱۰۰٪، برای *B. bassiana* برابر ۷۰٪ و برای *L. psalliotae* معادل ۵۶/۶٪. گزارش گردید [۸۹]. در آزمایشی *M. anisopliae* ۳۰-۵۰ حشره بالغ آنوفل (ناقل مalaria) در معرض سوسپانسیون $10^6 \times 1$ کنیدی/امیلی‌لیتر

قرار گرفتند و مرگ و میر درصدی این حشرات گزارش گردید [۹۰]. *M. anisopliae* کریمی (۲۰۰۹) گزارش نموده است که وقوع بیماری قارچ *M. anisopliae* بر روی کرم سفید ریشه بسته به منشاء و گونه‌ها میزبان، چیزی در حدود ۰-۲٪ می‌باشد [۹۱]. تای لاک [۹۲] با جمع‌آوری و جداسازی قارچ‌های بیمارگر حشرات و انجام کارهای مورفو‌لولژیکی، تعداد ۱۰ جدایه را انتخاب نمود و بیماری‌زایی آن‌ها را بر روی شته سیاه مركبات و پروانه مركبات بررسی کرد. نتایج نشان داد که آفت-کش‌های تولیدی از جدایه‌های *B. bassiana* و *M. anisopliae* بر دشمنان طبیعی موجود در گلخانه‌ها نخواهند داشت. در آزمایشی بیماری‌زایی قارچ‌های *I. fumosorosea* (گونه بومی آمریکای شمالی) در شرایط آزمایشگاه و شرایط طبیعی بررسی گردید و نتیجه گرفته شد که بیماری‌زایی گونه‌ها، به روش‌های در معرض قرارگیری، موقعیت زیست‌سنگی بستگی دارد و همچنین مشخص شد در شرایط آزمایشگاه برای *I. fumosorosea* و برای *M. anisopliae* کمترین LC_{50} آزمایشات محیطی میزان مرگ و میر برای تمام ایزوله‌های قارچی کمتر از شرایط آزمایشگاهی بود [۹۳]. در لبنان به جداسازی قارچ‌های *M. anisopliae* و *B. bassiana* از خاک اقدام شده است و بیماری‌زایی جدایه‌های به دست آمده بر روی *Myzus persicae* و *Bemesia tabaci* بررسی گردید [۹۴]. عوامل احتمالی مختلفی برای کاهش بیماری‌زایی در نظر گرفته شده‌اند. کنیدی‌های *M. anisopliae* قدرت بیماری‌زایی خود را در برابر لاروهای سن ۴ و ۵ گالریا و *Tenebrio molitor* پس از انتقال کنیدی به محیطی با نسبت بالای کربن: نیتروژن از دست خواهند داد [۹۵]. از سوسپانسیون 1×10^6 اسپور/ میلی‌لیتر قارچ‌های بیمارگر *M. brunneum* و *B. bassiana* برای لاروهای LT_{50} استفاده گردید و *Synanthedon myopaeformis* (Lepidoptera: Sesiidae) قارچ‌ها برابر $10^5 \times 2/9$ و $10^5 \times 3/4$ اسپور/ میلی‌لیتر و LC_{50} برای *B. bassiana* برابر $5/5$ روز و برای دیگری معادل $5/1$ روز است [۹۶]. استفاده از ۴ جدایه *B. Bassiana* و ۴ جدایه *M. anisopliae* برای

فصل دوم- معرفه منابع

کنترل لاروهای نئونات *Capnodis tenebrionis* نشان داد که پس از ۱۰ روز از تلقیح لاروها با سوسپانسیون 10^8 کنیدی/ میلی لیتر میزان مرگ و میر در طیفی معادل ۱۰۰٪ - ۲۳/۵ بود اما باقیستی خاطر نشان کرد که ۳ تا از جدایه‌های *M. anisopliae* مرگ و میری معادل ۱۰۰٪ ایجاد نمودند. کاربرد این ۸ جدایه در برابر تخم‌های این حشره نشان داد که دو جدایه *B. bassiana* سبب کاهش ۹۴/۵٪ و ۹۴/۵٪ درصدی تفریخ تخم‌ها می‌شوند [۹۷]. در موسسه کشاورزی و علوم جانوری نپال به جداسازی قارچ‌های بیمارگر حشرات *B. bassiana* و *M. anisopliae* از حشرات بیمار و خاک با استفاده از محیط کشت انتخابی و روش طعمه گالریا^۱ پرداخته شد و از سویه‌های به دست آمده در کنترل کرم سفید ریشه^۲ *Polyphylla spp.* استفاده گردید [۹۸].

۴-۲. تشخیص و شناسایی مورفولوژیکی قارچ *Metarhizium spp.*

تشخیص یعنی تعیین حضور قارچ در محیط طبیعی (مانند خاک) و یا میزبان آن، که روش‌های مختلفی برای تشخیص قارچ‌ها ارائه شده است. معمولاً از ویژگی‌های ظاهری و خصوصیات مورفولوژیکی برای تشخیص جنس یک قارچ استفاده می‌شود. تشخیص به‌طور عمده برای مطالعات در سطح اکولوژیکی استفاده می‌شود [۳۴]. به عنوان مثال یکی از راه‌های تشخیص *Metarhizium* استفاده از روش طعمه حشره‌ای است چرا که اسپورهای قارچ پس از نفوذ و جوانه‌زنی بر روی لشه حشره به رنگ سبز مشاهده می‌شوند. در قارچ‌شناسی، شناسایی بارزترین ویژگی آن قارچ است که ساده‌ترین پاسخ را به سوال "نام نمونه پیش روی من چیست؟" می‌دهد به عبارت دیگر شناسایی یعنی تخصیص نام علمی مناسب و صحیح به موجود زنده است. شناسایی قارچ‌ها معمولاً نیازمند رتبه- بنده در سطح گونه یا در سطوح پایین‌تر (زیرگونه، واریته) می‌باشد. شناسایی در حد جنس معمولاً برای مطالعات اکولوژیکی استفاده می‌شود. شناسایی جنس قارچ اغلب به آسانی توسط مورفولوژی

۱- Galleria Bait Method (GBM)

۲- White Grub (*Polyphylla spp.*)

بدون نیاز به روش‌های ملکولی هزینه بردار صورت می‌پذیرد. شناسایی یک موجود یا یک گونه جزء مهمی در علم رده‌بندی موجودات می‌باشد. تا پیش از گسترش نشانگرهای ملکولی، دانشمندان برای شناسایی گونه‌های یک موجود از ویژگی‌های مورفولوژیکی، بیوشیمیایی استفاده می‌نمودند که در خصوص قارچ بیمارگر خاکزاد *Metarhizium spp.* بر پایه آزمایشات انجام شده توسط تالوخ [۵۷] مشخص گردید که گونه *M. anisopliae* var. *anisopliae* دارای دو واریته متفاوت با *M. anisopliae* var. *majus* کنیدی‌های کوچک و *M. anisopliae* var. *flavoviride* دارای دو واریته مشخص بر اساس اندازه کنیدی شده است که سه گونه جدید *M. flavoviride* var. *minus* و var. *flavoviride* var. *pingshaense* است. سه گونه جدید *M. cylindrospora* و *M. guizhouens* را بر پایه مورفولوژی در سال ۱۹۶۶ توصیف شده است [۵۷]. سال ۱۹۹۵ واریته *M. anisopliae* var. *frigidum* بر پایه توانایی کنیدی در جوانه‌زنی و الگوهای استفاده کردن معرفی شد [۹۹]. بسیاری از قارچ‌ها از منظر مورفولوژیکی به یکدیگر شبیه هستند و شناسایی بر این اساس چندان منطقی نیست و ممکن است شناسایی دقیق آنها صورت نگیرد. به عنوان مثال در گذشته *M. robertsii* بر اساس ویژگی‌های مورفولوژیکی به عنوان *M. anisopliae* var. *anisopliae* – به علت برخورداری از ویژگی‌های مورفولوژیکی مشابه با این زیر گونه – شناخته می‌شد اما اکنون با استفاده از تکنیک‌های ملکولی به عنوان گونه جدایی توصیف می‌شود [۷۹].

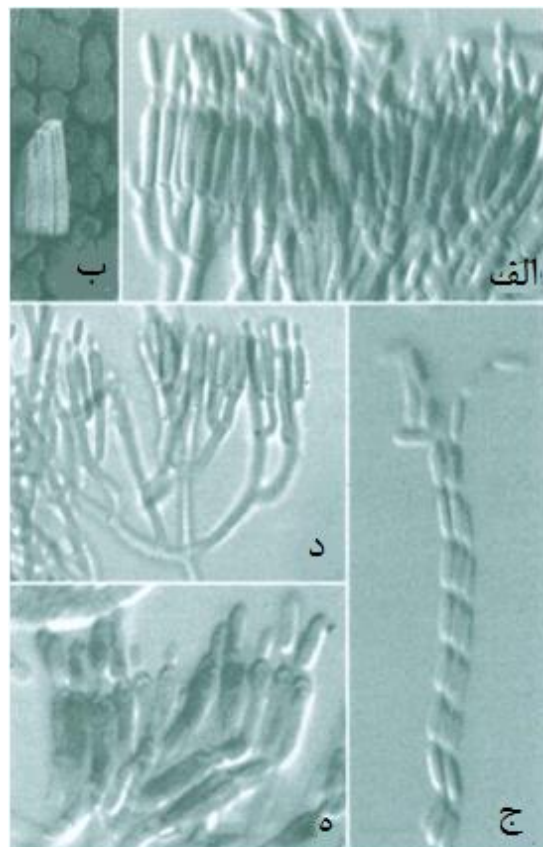
کلید شناسایی هامبر در شناسایی مورفولوژیکی جنس *Metarhizium* چنین بیان نموده که میسلیوم-ها غالبا تمام سطح بدن میزبان را پوشش می‌دهند. کنیدیوفورها متراکم و کنیدیوفورهای منفرد تقریباً منشعب (شبیه چهلچراغ) هستند. سلول‌های کنیدیزا دارای نوک کروی و کنیدی‌ها غیرمجزا، استوانه‌ای یا تخم مرغی با رنگ‌های سبز روشن تا سبز-زرد، سبز زیتونی، سوبیایی (قرمز-قهقهه‌ای) هستند که زنجیره‌های انبوهای را درون ستون‌های استوانه‌ای یا شیاری تشکیل می‌دهند. قارچ

به آسانی شناسایی می‌شود زیرا زنجیره‌های کنیدی سیلیندری شکلی را تشکیل می‌دهد که در تماس با حشره آلوده تولید می‌شوند و موجب بیماری موسکاردين سبز می‌شوند [۳]. کلنی‌های قارچی در آغاز سفید یا کرم رنگ بوده و سپس سبز/زرد شده و در طول اسپورزایی، کلنی‌ها به رنگ سبز تیره درخواهند آمد. کنیدیوفورها ساده یا دو شاخه می‌باشند. کنیدی ۷/۲-۴/۸ میکرون طول و ۳/۵-۱/۶ میکرون عرض دارد (شکل ۱-۲). در شناسایی گونه‌های یک جنس دو راه وجود دارد که یکی ارزیابی مورفولوژیکی کنیدی‌ها در زیر میکروسکوپ الکترونی است (این تفاوت در گونه‌ها با استفاده از میکروسکوپ نوری امکان‌پذیر نیست) که منز [۶۴] نبود توانایی در شناسایی نمونه‌های قارچی در حد گونه یا در بسیاری موارد حتی در حد جنس شرح داده است و دیگری توالی- یابی ناحیه ITS ریبوزومی می‌باشد.

۲-۵. تبار زایی^۱ قارچ و ضرورت مطالعه تنوع ژنتیکی

مفهوم تکامل زیستی در واقع تبار زایی (فیلوژنی) است یعنی ارتباطات میان تمام گروههای موجودات توسط روابط نسل‌ها/ نیاهایا یا به عبارت دیگر در زیست‌شناسی، فیلوژنتیک یعنی مطالعه روابط تکاملی در میان گروههای موجودات (یعنی گونه‌ها، جمیعت‌ها) که از طریق اطلاعات توالی‌یابی ملکولی و ماتریس‌های اطلاعات مورفولوژیکی کشف می‌شود. [۱۰۰]. جدایه‌های گونه *M. anisopliae* جدا شده از یک نمونه خاک علی‌رغم شباهت ظاهری از منظر شکل، رنگ کلونی و ویژگی‌های مورفولوژیکی ممکن است از نظر ملکولی و فیلوژنی متفاوت باشند لذا برای شناسایی صحیح گونه‌های یک قارچ از روش‌های ملکولی و فیلوژنی استفاده می‌نماییم. در فیلوژنی قارچ *Metarhizium* به بررسی تکنیایی یا چند نیایی بودن آن، تعیین گروههای خواهری، سیر تکاملی جدایه‌های به دست آمده، بررسی تفاوت‌های فیلوژنی جدایه‌های به دست آمده با جدایه‌های کشورهای دیگر خواهیم پرداخت.

۱- Phylogeny



شکل ۱-۲: مشاهده میکروسکوپی ساختارهای *M. anisopliae* (الف) سلول‌های کنیدی‌زا (فیالیدها) که لایه انبوهی (هایمنیوم) را شکل می‌دهند. ب) ستون کنیدی‌ها (ج) زنجیره کنیدی‌های بهم چسبیده جانبی (د) کنیدیوفورهای منشعب (ه) انتهای ضخیم و پهن سلول‌های کنیدی‌زا [۳]

مطالعه فیلوژنی *Metarhizium* توسط درایور [۲۲] با استفاده از ناحیه ITS تعداد ۱۰ کلاستر را برای *M. flavoviride* var. *M. flavoviride* Type E *M. album* این جنس مشخص نمود که شامل *M. flavoviride* var. *minus* *M. flavoviride* var. *pemphigi novazealandicum* *M. anisopliae* var. *M. anisopliae* var. *lepidiotum* ، *flavoviride* var. *flavoviride* می‌باشد. در سال‌های بعد تلاش‌ها برای ارائه طبقه‌بندی دقیق این قارچ بر مبنای تکنیک‌های ملکولی افزایش یافت و بیشوف این جنس را دارای چندیدن گونه دانست. اشنایدر (۲۰۱۱) [۲۲] با بررسی کلاستر ۱ جنس *Metarhizium* شکل گرفته از گونه‌های *M. brunneum* و *M. robertsii* *M. anisopliae* ، *M. pingshaense* ، *M. guizhouense* *majus* مشخص نمود *M. anisopliae* کمپلکسی از گونه‌های پنهان است. افرادی مانند کوران [۷۷]، درایور [۲۲]، سانگ [۱۵]، اسپاتافورا [۱۲۲] با بررسی فیلوژنتیک قارچ *Metarhizium* آن را جنسی تکنیایی دانستند اما مطالعات لوان (۲۰۱۳) [۷۹] نشان داد *M. anisopliae* و گونه خواهری آن یعنی *M. robertsii* مونوفیلیتیک نیستند. البته باید خاطر نشان نمود بررسی فیلوژنی تنها از طریق یک ژن ITS نمی‌تواند به تنها‌ی تاریخچه تکاملی ژنوم یک موجود را به وضوح بیان نماید لذا در کنار ناحیه β -*RPB1*، *EF-1\alpha*، *TEF*^۱ استفاده نمود تا شناسایی دقیق‌تری صورت پذیرد [۷۸]. در سال‌های اخیر توبولین، *RPB2* و *TEF*^۱ استفاده نمود تا شناسایی دقیق‌تری صورت پذیرد [۷۸]. در انتها از آنالیز چند ژنی برای مطالعات فیلوژنتیک مرسوم‌تر شده و مطالعاتی بر پایه ژن‌های کد کننده پروتئین در قارچ‌ها نشان داد که آنالیز چند مکانی تفکیک بهتری را فراهم می‌نماید و بنابراین فرضیه‌های فیلوژنتیک معتبری در فیلوژنی قارچ‌ها فراهم می‌گردد [۱۰۱].

در انتها می‌توان چنین جمع‌بندی نمود که شناسایی و تشخیص قارچ‌ها توسط تکنیک‌های ملکولی در صورتی موفقیت‌آمیز است که این تکنیک‌ها بر پایه واکنش زنجیره‌ای پلیمراز، به ردیبندی قارچ‌ها بپردازند. در مورد قارچ‌های بیمارگر حشرات باید گفته شود که تنها قارچ‌هایی که دارای پراکنش

۱- RNA PolymeraseII Second Largest Subunit

جهانی^۱ هستند نظیر *Metarhizium*, *Paecilomyces*, *Lecanicillium*, *Beauveria* توسط تکنیک-های ملکولی مورد شناسایی و تشخیص قرار گرفته‌اند [۳۴]. از میان تمام تکنیک‌های ملکولی، قارچ-شناسان نشانگرهای ریبوزومی به خصوص ناحیه ITS را ابزاری مناسب در شناسایی قارچ‌ها در حد گونه و زیر گونه می‌دانند و این انتخاب به علت برخورداری از تغییر پذیری کافی، وجود نسخه‌های متعدد این سیسترون ریبوزومی در سلول‌های قارچی [۶۷]، وجود بانک اطلاعاتی گسترده برای مقایسه این توالی‌ها در میان جدایه‌های قارچی [۱۰۲]، موفقیت ۷۲ درصدی در شناسایی گونه‌های قارچی [۶۷] و در دسترس بودن پرایمرهای این ناحیه و تکثیر آسان این ناحیه [۱۰۲] می‌باشد.

گرچه ناحیه ITS rDNA بهترین بارکد انتخاب شده برای شناسایی قارچ‌ها است اما دارای مشکلاتی در هنگام استفاده است یعنی در برخی از گروه‌های قارچی نظیر مخمرها و قارچ‌های آربسکولار مایکوریز^۲ (AM) بسیار تغییر پذیر است [۱۰۲] و این ناحیه به علت برخورداری از طول اندک به عنوان بارکدی ایده‌آل برای برخی زیر گروه‌های قارچی به خصوص جنس‌های Ascomycota محسوب نمی‌شود لذا برای این قارچ‌ها به بارکدی ثانویه با تغییرپذیری کافی در کنار ITS برای شناسایی گونه-ها نیاز است [۶۷] که از ژن‌هایی مانند *RPB1* و *RPB2*^۳ و *EF 1- α* استفاده می‌شود.

۱- Cosmopolitan

۲- Arbuscular Mycorrhiza (AM)

۳- RNA PolymeraseII Second Largest Subunit (RPB2)

فصل سوم

مواد و روش

این فصل شامل مواد مورد استفاده، نحوه نمونه‌گیری از خاک، دستورالعمل پرورش بروانه مومخوار به عنوان طعمه در جداسازی قارچ‌های بیمارگر، جداسازی قارچ بیمارگر *Metarhizium spp.* با استفاده از محیط کشت انتخابی، مشاهده میکروسکوپی کنیدی‌ها جهت شناسایی مورفولوژیکی قارچ، خالص‌سازی جدایه‌ها جهت آماده‌سازی برای اقدامات ملکولی، کشت مایع جدایه‌ها و استخراج DNA به روش CTAB، تکثیر DNA با استفاده از پرایمرهای ITS1 و ITS4، الکتروفورز افقی و خالص‌سازی قطعات تکثیر یافته و ارسال آنها جهت توالی‌یابی و بررسی ویژگی‌های مورفولوژیکی نرخ رشد، شمارش اسپور و بیماری‌زایی جدایه‌ها، می‌باشد که در ادامه به توضیح مراحل ذکر شده در بالا خواهیم پرداخت.

۱-۳. مواد

Yeast Extract، Agar، PDA، SDA از شرکت Lifechem (میلانو، ایتالیا) خریداری شد. سیکلوهگزامید، کلرامفینیکل، (سنت لوئیس، امریکا) Bovine Serum Albumin (BSA) از شرکت Sigma خریداری شد. DNase Free Deionized water، Smart Taq DNA Polymerase، 10× PCR Buffer، MgCl₂، dNTP، Bioscience Gene Ruler 100bp Loading Buffer، Agarose، Phenol، Ribonuclease A، Tric-HCL، PVP، CTAB، β-Mercaptoethanol، Tween 80 (کمبریج، انگلستان) خریداری شد. Boric Acid، Isopropanole، IsoAmyl Alcohol، Chloroform، NaCl، Glycerol، EDTA از Merck (فرانکفورت، آلمان) خریداری شد. DNA Gel Purification Kit و DNA Gel Extraction Kit از شرکت Neubauer Improved (سنتر کاترین، کانادا) خریداری شد. لام هموسیتومتر از شرکت Bright-Line (هامبورگ، آلمان) تهیه گردید و پرایمرهای ITS1 و ITS2 از شرکت Bioneer (داجون، کره جنوبی) تهیه شد.

فصل سوم - مواد و روش‌ها

۲-۳. تجهیزات آزمایشگاهی

اتوکلاو Rozhin Teb (تهران، ایران)، آون و انکوباتور Heraeus (هانوآ، آلمان)، ورتکس DENA Medical (تهران، ایران)، هود میکروبی TaKaRa (اُتسو، ژاپن)، Industry Farpajouh (تهران، ایران)، ترموسایکلر Sigma (سنت لوئیس، امریکا)، حمام آب گرم DENA Medical Industry (تهران، ایران)، سانتریفیوژ Zhihat QUANTUM ST4 (سوپیا، آلمان)، ترانس ایلومینیتور LG (سئول، کره جنوبی)، ژل داک Olympus (توکیو، ژاپن)، سمپلر $10\text{ }\mu\text{l}$ ، $100\text{ }\mu\text{l}$ Teb Azma (تهران، ایران)، میکروسکوپ نوری و بنی‌کولار Eppendorf (هامبورگ، آلمان)، pH متر Metrohm (نورنبرگ، آلمان)، هات پلیت Heidolph (نورنبرگ، آلمان)، (پلیکان کریک، آمریکا)، یخچال، فریزر ۲۰-پارس (تهران، ایران)، پتریدیش شیشه‌ای و پلاستیکی نوین تجهیز (تهران، ایران)، هود شیمیایی Farpajouh (تهران، ایران)، اتاق رشد Grouc (تهران، ایران)، ترازو SARTORIUS (گوتینگن، آلمان) در این پایان‌نامه مورد استفاده قرار گرفت.

۳-۳. نمونه‌گیری خاک

برای جداسازی قارچ‌های بیمارگر حشرات می‌توان از سه روش طعمه حشره‌ای، روش عصاره‌گیری از خاک و استفاده از ریشه گیاهان گرامینه استفاده نمود. از آنجا که خاک محل زندگی بسیاری از میکروارگانیسم‌ها می‌باشد استفاده از روش عصاره‌گیری، انواع مختلفی از میکروارگانیسم‌ها نظیر باکتری‌های خاک‌زاد، نماتدها، قارچ‌های بیمارگر و ساپروفیت بر روی محیط کشت تشکیل کلنی می‌دهند که کار شناسایی مورفولوژیکی و جداسازی را سخت می‌نمایند. قارچ‌های بیمارگر حشرات می‌توانند درون ریشه گیاهان گرامینه به صورت اندوفیت زندگی کنند [۱۰۳] اما جداسازی آن‌ها مشکلات زیادی را در پی دارد لذا از روش طعمه حشره‌ای استفاده گردید [۸]. برای نمونه‌گیری از خاک، شهرستان شهرورد به ۷ منطقه تقسیم بندی گردید و از هر منطقه به جمع‌آوری ۳۲ نمونه خاک اقدام شد که این مناطق شامل منطقه یک (شهرنما)، منطقه دو (کلاته اسد- میامی- ابراهیم آباد)، منطقه سه (مراد آباد- ده ملّا- کلاته ملّا، مومن آباد- حدّاده)، منطقه چهار (مغان- شهرک ابوذر)، منطقه پنج (جاده شهرورد/آزادشهر- جنگل ابر- روستای ابر- جنگل قطری- چهار

طاق برو - قلعه نو خرقان)، منطقه شش (بسطام- امیریه- فرخزاد- مجن- تاش) و منطقه هفت (رویان، دیزج - شهرک دانشگاه) بودند. نمونه‌گیری بدین صورت انجام گرفت که از هر باغ یا مزرعه دو نمونه (یکی از حاشیه باغ یا مزرعه و دیگری از مرکز) جمع‌آوری می‌شد و به ثبت مختصات جغرافیایی و ارتفاع از سطح دریا اقدام گردید. برای هر نمونه در کنار ریشه گیاه یا درخت گودالی به عمق ۳۰ سانتی‌متر حفر شده و خاک این عمق با یکدیگر مخلوط شده و سپس حجمی معادل ۵۰۰ گرم در پلاستیک ریخته شده و درب پلاستیک بسته می‌شد. مختصات باغ و نمونه بر روی کیسه پلاستیکی ثبت می‌گردید. از سوی دیگر برای نمونه‌گیری از مرکز یک باغ یا مزرعه، دو نمونه خاک به روش بالا گرفته می‌شد و بعد از انتقال نمونه‌ها به آزمایشگاه دانشکده این دو نمونه مرکز باغ یا مزرعه با یکدیگر مخلوط شده و در جداسازی به کار برد شدند. در ادامه به منظور افزایش تنوع قارچی، دامنه نمونه‌گیری توسعه پیدا کرد و از مناطق مختلف جنگل گلستان (نهارخوران)، شهرهای بابل، بابلسر، آمل و رامسر در استان مازندران، منطقه سرولات (چابکسر) استان گیلان، پارک جنگلی چیتگر در تهران، روستای حسن‌آباد استان هرمزگان و فردیس کرج نیز به جمع-آوری نمونه خاک پرداختیم (ضمیمه ۱).

۴-۳. پرورش پروانه موم خوار

پروانه موم خوار *Galleria mellonella* جزء معدود حشراتی است که در کندوهای زنبور عسل ایجاد خسارت می‌کند. لاروها به طول ۲۵ میلی‌متر هستند و ۴ سن لاروی دارند و از ذخیره گرده گل‌ها در کندو و مومهای کهنه تغذیه می‌کنند. در شرایط مناسب به فاصله کوتاهی زنبوران عسل را وادار به مهاجرت می‌کنند و تمام محتويات کندو را به توده عظیمی از فضولات و کرم مبدل می‌سازند. سیکل زندگی این آفت شامل تخم، ۴ سن لاروی، شفیره و حشره کامل می‌باشد. حشرات کامل به طول ۳۰-۴۱ میلی‌متر بوده و در اردیبهشت تا مهر در مناطق معتدل به پرواز درمی‌آیند. مزایای استفاده از لارو پروانه موم خوار بزرگ به عنوان مدل میزبان شامل بقای لارو در طیف دمایی ۲۵ تا ۳۷ درجه سانتی‌گراد، تحويل آسان بیمارگر می‌باشد. در شکل ۲-۳

فصل سوم - مواد و روش‌ها



شکل ۳-۱: الف: نمونه خاک جمع‌آوری شده و بسته‌بندی شده ب: حفر گودال به عمق ۳۰ سانتی‌متر در مجاورت
ریشه درخت



شکل ۳-۲: تصویری از لارو (الف)، شفیره (ب) و حشره کامل (ج)

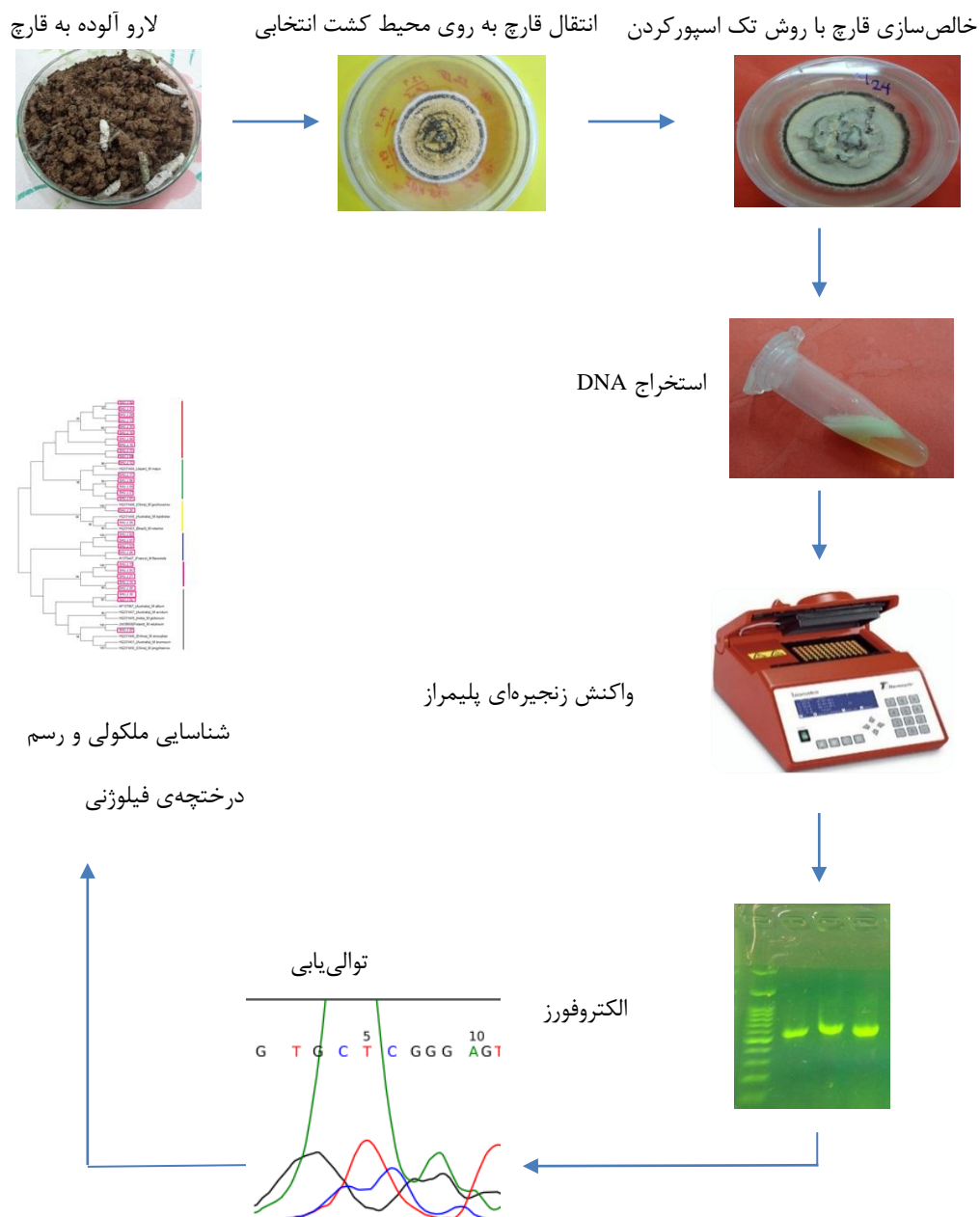
مراحل زندگی این حشره را ملاحظه می‌نمایید. در اینجا برای پرورش حشرات از غذای مصنوعی استفاده شد. دستورالعمل تهیه این غذا به شرح ذیل می‌باشد: ۱/۲ پیمانه موم، ۱/۲ پیمانه آب مقطر استریل را با یکدیگر مخلوط کرده و روی حرارت می‌گذاریم تا به نقطه جوش رسد و سپس این مخلوط را هم زده تا آب آن کاملاً تبخیر شود سپس ۱ پیمانه گلیسرول٪ ۸۷، ۱/۲ پیمانه عسل را اضافه کرده خوب مخلوط می‌کنیم. ۲ پیمانه آرد سفید، ۱ پیمانه سبوس و ۱ پیمانه خمیر مایه را از قبل خوب با یکدیگر مخلوط کرده، به مواد درون ظرف اضافه می‌کنیم. عمل همزدن به مدت ۱۰ دقیقه بر روی حرارت ادامه یافته سپس خمیر به دستآمده کاملاً ورز داده شد. در ظروف پرورش گالریا (ظروف پلاستیکی با ابعاد $15 \times 20 \times 30$ سانتی‌متر) دارای دریچه توری به جهت هواده‌ی)، لایه‌ای از این مواد ریخته سپس نواری از تخم را بر روی آن قرار داده و روی آن را با لایه‌ای از موم می‌پوشانیم. ظروف حشرات را در اتفاقک رشد با دمای 30 ± 3 درجه سانتی‌گراد و رطوبت نسبی٪ ۸۵ ± ۳ نگهداری می‌نماییم.

۵-۳. جداسازی *Metarhizium spp.* از خاک

جداسازی قارچ‌های بیمارگر حشرات توسط روش طعمه حشره‌ای (گالریا بیت متد^۱) امکان‌پذیر است که در ذیل روش را بهطور اختصار توضیح می‌دهیم. زیمرمن (۱۹۸۶) روشی بهنام گالریا بیت را برای جداسازی انتخابی جدایه‌های قارچ‌های بیمارگر حشرات را معرفی نمود [۲۴]. در روش طعمه حشره‌ای، میزان ۲۰ گرم از هر نمونه خاکی را با الک ۱ میلی‌متری غربال و در پتری‌دیش‌های ۹۰ میلی‌متری ریخته شد [۸]. پتری‌دیش‌ها را در اتوکلاو با دمای ۱۲۱ درجه سانتی‌گراد به مدت ۲۰ دقیقه استریل شده بودند و تعداد ۱۰ عدد لارو گالریا در سنین ۳ یا ۴ را در هر پتری قرار داده و پتری‌ها را با پارافیلم درزگیری و این ظروف در دمای 1 ± 27 درجه سانتی‌گراد به مدت ۱۷ روز در تاریکی انکوبه گردید. با مشاهده لاروهای آلوده، آنها را به پتری‌دیش‌های استریل دارای کاغذ صافی مرطوب انتقال و به مدت ۳-۴ روز به منظور توسعه و اسپورزایی

۱- Galleria Bait Method (GBM)

فصل سوم - مواد و روش‌ها



شکل ۳-۳: نمایی از مراحل عمومی در شناسایی گونه‌های قارچ بیماری‌زای *Metarhizium* با استفاده از تکنیک‌های مبتنی بر PCR. در این شکل با استفاده از روش طعمه حشره‌ای قارچ بیمارگر حشرات از خاک جداسازی شد و با استفاده از روش تک اسپور کردن جدایه مورد نظر خالص گردید. در ادامه پس از جداسازی DNA ژنومی با استفاده از پرایمرهای ITS1 و ITS4 منطقه‌ی ITS در ژنوم تکثیر شد. در نهایت داده‌های حاصل از تولی‌یابی با استفاده از علم بیوانفورماتیک مورد تجزیه و تحلیل قرار گرفت.

قارچ در انکوباتور در دمای 1 ± 27 درجه سانتی گراد انکوبه شد. به دلیل این که اسپورهای قارچ برای جوانه زنی به رطوبت نیاز دارند لذا برای تامین رطوبت پس از انتقال خاک به پتری دیش، میزان ۵-۱۰ میلی لیتر آب مقطر استریل در سرتاسر پتری دیش پخش شد [۱۰۴]. در جدول ۱ ضمیمه تعداد لاروهای آلوده شده به قارچ *Metarhizium spp.* و تعداد جدایه‌های به دست آمده از این لاروها آورده شده است.

۳-۶. جداسازی جدایه‌های قارچی

محیط کشت انتخابی مناسب و کارا برای جداسازی یک گونه قارچی باید دارای منبع غذایی^۱ و مواد ضد میکروبی^۲ (یعنی قارچ کش و آنتی بیوتیک) در غلظت مناسب باشد تا بتواند موجب رشد قارچ هدف در برابر رشد قارچ‌های دیگر شود [۱۰۵، ۸۰] لذا برای جداسازی قارچ ۳ نوع محیط کشت SDAY^۳ انتخابی دارای مواد مختلف ضد میکروبی تعریف شد که محیط اول دارای کلرامفینیکل^۴، سیکلوهگزامید^۵ و اسید لاکتیک^۶ بود، محیط دوم اسید لاکتیک و کلرامفینیکل، محیط سوم دارای کریستال ویولت^۷، دودین^۸ [۱۰۶] و سیکلوهگزامید بود. به علت سرعت رشد کمتر قارچ‌های بیمارگر حشرات در مقابل قارچ‌های ساپروفیتی نظری تریکودرما و آسپرژیلوس، محیط کشت دیگری بر مبنای بررسی‌های صورت گرفته توسط یانگ‌شین و همکاران [۸۰] با کمی تغییرات تعریف شد. محیط کشت چهارم شامل PDA^۹ غنی‌شده با سیکلوهگزامید (۰/۵ گرم بر لیتر)، دودین ۶۵ درصد (۰/۵ گرم بر لیتر)، کلرامفینیکل (۰/۲ ۰ گرم بر لیتر)، کلرید مس (۰/۳ ۰ گرم بر لیتر) و کریستال ویولت (۰/۰ ۲ گرم بر لیتر) بود که میسلیوم‌های قارچی و در برخی موارد به دلیل عدم

۱- Nutrient Source

۲- Antimicrobial

۳- Sabroud- Dextrose- Agar + Yeast Extract

۴- Chloramphenicol

۵- Cyclohexamide

۶- Lactic Acid

۷- Crystal Violet

۸- Dodine

۹- Potato- Dextrose- Agar

۱۰- CuCl₂

تولید میسلیوم بر روی لارو، اسپورها با کمک خلال دندان استریل به محیط کشت‌های تعریف شده انتقال یافته‌ند (این مواد به عنوان ترکیبات ضدبacterیایی^۱ و ضدقارچی^۲ به کار برده شده‌اند). استفاده از محیط کشت اختصاصی اخیر سبب کاهش آلودگی پتریدیش‌های کشت‌شده گردید. باید گفت موادی نظیر سیکلوهگزامید، کریستال ویولت و دودین قابلیت اتوکلاو شدن را دارند و لذا قبل از اتوکلاو به محیط کشت افزوده می‌شوند. قابل ذکر است که سیکلوهگزامید و دودین به عنوان قارچکش و کریستال ویولت، کلرامفینیکل و اسید لاکتیک به عنوان باکتریکش به محیط کشت افزوده می‌شوند. کاربرد غلظت‌های مختلف دودین در محیط کشت به علت توانایی تحمل^۳ قارچ‌های بیمارگر به خصوص *Beauveria spp.* و *Metarhizium* به این قارچکش می‌باشد در صورتی که قارچ‌های غیر بیماری‌زا^۴ از این قابلیت تحمل برخوردار نیستند اما باید گفت تمامی گونه‌های *Metarhizium* میزان تحمل برابری نسبت به دودین ندارند [۱۰۷، ۱۰۸] با ظهر قارچ‌ها، برای شناسایی جنس از تمامی جدایه‌ها، اسلاید میکروسکوپی تهیه گردید و با استفاده از کلید شناسایی قارچ‌ها مشخص شد که تمامی جدایه‌های به دست آمده مربوط به جنس *Metarhizium* می‌باشد [۱۰۹].

۷-۳. خالص‌سازی جدایه‌های *Metarhizium spp.*

با جداسازی جدایه‌های قارچی، از کلنی‌های چنداسپوری، کلنی‌های تک‌اسپوری تهیه شد بدین طریق که مقداری اسپور از هر جدایه را به درون لوله آزمایش اتوکلاو شده حاوی ۱۰ میلی‌لیتر سوسپانسیون ۰/۲٪ توزین ۸۰ (نوعی سورفاکtant بوده و سبب از هم‌گسیختگی اسپورها می‌شود) انتقال داده شد و پس از دو دقیقه ور تکس، حجمی معادل ۱ میلی‌لیتر را به لوله دوم انتقال داده شد [۱۱۰] و بدین روش برای هر جدایه،

۱- Antibacterial

۲- Antifungal

۳- Tolerance

۴- Non- Entomopathogenic Fungi



شکل ۳-۴: نمایی از قارچ *Metarhizium* روی لارو پروانه موم خوار زنبور عسل و محیط کشت. (الف) رهاسازی لارو پروانه موم خوار بر روی محیط خاک جهت آلوده شدن به قارچ *Metarhizium*. (ب) رشد قارچ *Metarhizium* پس از انتقال از لارو آلوده بر روی محیط کشت انتخابی.

سوسپانسیونی با ^۳-۱۰ اسپور آماده گردید و مقدار ۱ میلی لیتر از این سوسپانسیون به آب-آگار^۱ ۱/۲٪ انتقال یافت و پس از درزگیری پتری دیش‌ها با پارافیلم به انکوباتور با دمای 1 ± 27 درجه سانتی‌گراد و رطوبت نسبی 85 ± 3 ٪ برای مدت ۳ روز منتقل شد. با مشاهده میسلیوم‌های تندش شده (ستاره‌ای)، با استفاده از مارکر این میسلیوم‌ها را در پشت پتری دیش مشخص نموده و هر کدام از این تک‌کلنی‌ها به محیط کشت PDA انتقال داده شد و در انکوباتور با دمای 1 ± 27 درجه سانتی‌گراد قرار گرفت، پس از گذشت ۲ هفته، جدایه‌های خالص به دست آمد. نام و مشخصات جدایه‌های به دست آمده در ضمیمه ۲ ارائه شده است. برای حصول اطمینان از پایداری طولانی مدت جدایه‌ها و عدم آلودگی و از دست دادن آها، علاوه بر بانک قارچ اولیه خالص^۲، به تولید بانک قارچ ثانویه^۳ با استفاده از لوله‌های آزمایش حاوی محیط کشت PDA اقدام گردید. پس از اتوکلاو نمودن لوله‌های حاوی محیط کشت، لوله‌ها را با زاویه ۳۰ درجه قرار دادیم تا سطح تماس افزایش یابد. جهت کاهش میزان از دست دادن جدایه‌ها، لاروهای آلوده به شیشه‌های پنی‌سیلین استریل منتقل شد که اگر در حین خالص‌سازی جدایه‌ها به هر دلیلی از جمله آلودگی باکتری‌ها و قارچ‌های ساپروفیتی مانند تریکوودرما^۴ و آسپرژیلوس، بتوان مجدد آنها را کشت نمود. این بانک ثانویه در یخچال با دمای ۴ درجه سانتی‌گراد نگهداری شد (شکل ۳-۵).

۳-۸. نام‌گذاری جدایه‌های به دست آمده

نام‌گذاری جدایه‌های *Metarhizium* به دست آمده به صورت SHU.J.XX است که SHU برگرفته از نام دانشگاه شاهرود^۵، J برگرفته از حرف اول نام خانوادگی^۶ جداینه و XX پسوند دو رقمی برای ۳۵ جدایه خالص شده می‌باشد.

۱- Water- Agar (WA)

۲- Purified First Fungi Bank

۳- Secondary Fungi Bank

۴- *Trichoderma* spp.

۵- Shahrood University

۶- Jokar



شکل ۳-۵: نحوه تهییه بانک اولیه از لاروهای آلوده و بانک ثانویه از جدایه‌های به دست آمده. الف: بانک اولیه با استفاده از روش تک اسپور گیری. ب: آماده‌سازی لوله‌های آزمایش حاوی محیط‌کشت PDA جهت تهییه بانک ثانویه. ج: قرار دادن هر لارو آلوده به قارچ درون شیشه‌های جداگانه و قرار دادن شیشه‌ها درون ظروف یک بار مصرف برای نگهداری در دمای ۴ درجه‌ی سانتی‌گراد.

۹-۳. مطالعه میکروسکوپی قارچ *Metarhizium spp.*

برای مشاهده میکروسکوپی نمونه‌ها جهت شناسایی جنس جدایه‌های به دست آمده، تعدادی از اسپورهای هر جدایه را به لام استریل حاوی یک قطره (۱۰٪ میلی‌لیتر) گلیسرول با کمک خلال دندان استریل انتقال و لامل را با زوایه ۴۵ درجه بر روی آن قرار گرفت (به علت بزرگ بودن اندازه اسپورها به رنگ کاتن‌بلو برای رنگ‌آمیزی نیازی نیست). در زیر میکروسکوپ ساختار اسپور بر اساس کلید شناسایی هامر مشاهده گردید.

۱۰-۳. مطالعات مولکولی

این مرحله شامل استخراج DNA از جدایه‌های رشد یافته بر روی محیط کشت مایع YPD، تکثیر ناحیه ITS با استفاده از واکنش زنجیره‌ای پلیمراز، خالص‌سازی قطعات تکثیر یافته و توالی‌یابی قطعات تکثیری هر جدایه می‌باشد. تمامی مراحل در شرایط استریل (سترون) به انجام رسید.

۱۰-۱. آماده‌سازی نمونه

برای مطالعه در زمینه تفکیک سویه‌ها یا گونه‌ها و شناسایی با استفاده از پرایمرهای اختیاری^۱ یا پرایمرهایی برای نواحی ژنومی هدف (تلومر^۲‌ها، فواصل ریبوزمی^۳)، DNA باقیمانده از کشت‌های تک‌اسپوری به دست آید. از آنجایی که قارچ‌های هیفومیست از لاشه^۴ حشرات یا خاک به دست می‌آیند از این‌رو باقیمانده خالص گردد که این امر توسط سری رقت^۵ صورت می‌پذیرد. جداسازی DNA با وزن ملکولی بالا و خلوص بالا در هر مطالعه ملکولی قارچ‌های بیمارگر حشرات مهم است. گرچه روش‌های مختلفی برای استخراج DNA ژنومی وجود دارد اما اصول و ضوابط آنها یکسان است و شامل حذف دیواره سلولی قارچ و رها شدن اسید نوکلئیک، جدا شدن اسید نوکلئیک از پروتئین‌ها و دیگر مواد، تیمار نمونه‌ها با RNase می‌باشد [۳۴].

۱- Arbitrary Primers

۲- Telomer

۳- Ribosomal Spacers

۴- Cadaver

۵- Serial Dilution

۳-۱۰-۲. استخراج DNA

تعداد ۳۰ جدایه بر پایه آزمایش اولیه نرخ رشد، شکل و رنگ کلونی بر روی محیط کشت انتخاب شدند. هر کدام از این جدایه‌های خالص در ۵۰ میلی‌لیتر محیط مایع YPD^۱ (٪۲٪. عصاره مخمیر، ٪۱٪ پپتون، ٪۲٪ گلوکز) کشت گردیدند [۱۰۳] و برای مدت ۳-۴ روز در انکوباتور با دمای ۳۰ ± ۱ درجه سانتی‌گراد نگهداری شدند. میسلیوم‌های تولیدی را به پتری‌دیش‌های استریل دارای کاغذ صافی اتوکلاو شده جهت حذف محیط کشت منتقل شدند. قرار دادن میسلیوم‌ها بر روی کاغذ صافی سبب شد تا میزان رطوبت میسلیوم‌ها کاهش یابد و کوبیدن آنها در ازت مایع ساده‌تر شود. بعد از گذشت یک ساعت، مقدار ۰/۰۲ گرم از هر نمونه به میکروتیوب انتقال یافت و نمونه‌ها با کمک کندانسور در ازت مایع کوبیده شدند. استخراج DNA به روش CTAB^۲ [۱۱۱] با تغییراتی استفاده شد. در ادامه، بافر CTAB ۲٪ (حاوی ۴۰ PVP درصد از Tris-HCl ۱۰۰ میلی‌مolar، ۲۰ میلی‌مolar NaCl و ۱/۴ مolar EDTA) و میکرولیتر SDS^۳ ۱٪ درصد، ۲ میکرولیتر β -مرکاپتواتانول^۴ و ۲ میکرولیتر RNase_{ase} به میسلیوم کوبیده شده اضافه شد و میکروتیوب به مدت ۵ دقیقه ورتكس افقی گردید. پس از انکوبه کردن در حمام آب ۶۵ درجه سانتی‌گراد و حذف ترکیباتی مانند کربوهیدرات‌ها و پروتئین‌ها (با استفاده از ترکیب فنل^۵، کلروفرم^۶ و ایزوآمیل الکل^۷ (به نسبت ۲۵:۲۴:۱)) با سانتریفیوژ با سرعت ۱۰/۰۰۰ rpm استفاده شد و ۱۶ ساعت در دمای ۲۰-درجه سانتی‌گراد انکوبه گردید. پس از سانتریفیوژ ایزوپروپانول سرد^۸ استفاده شد و ۱۰ به مدت ۱۰ دقیقه، به منظور رسوب DNA از شستشو به ترتیب با الكل ۷۰ و ۹۶ درصد و سانتریفیوژ با سرعت ۱۲/۰۰۰ rpm به مدت ۱۰ دقیقه سبب از

۱-Yeast Extract- Peptone- Glucose Broth

۲-Cetyl Trimethyl Ammonium Bromide (CTAB)

۳- Sodium Dodecyl Sulfate (SDS)

۴- β -Mercaptoethanol

۵- Phenol

۶- Chloroform

۷- Isoamyl alcohol

۸- Cold Isopropanol

بین رفتن ناخالصی‌های احتمالی گردید. پس از وارونه کردن تیوب به مدت ۲۰ دقیقه، رسوب سفید رنگ در مجاورت هوای آزاد خشک شد. به رسوب DNA، مقدار ۱۰۰ میکرولیتر آب دیونیزه^۱ اضافه شد. برای مشاهده DNA استخراج شده الکتروفورز با ژل آگارز ۰.۵٪ در بافر $0.5 \times TBE$ ^۲ صورت پذیرفت و پس از اتمام الکتروفورز، ژل با رنگ اتیدیوم بروماید^۳ (۲۵ میکرولیتر در ۵۰۰ میلی‌لیتر آب م قطر) رنگ‌آمیزی شده سپس با آب م قطر رنگ‌های غیر اختصاصی حذف شد و تصویر برداری صورت پذیرفت.

۳-۱۰-۳. واکنش زنجیره‌ای پلیمراز و تکثیر منطقه ITS

برای تکثیر ITS قارچ از پرایمرهای ITS1 (با توالی^۴ ۳' TCCGTAGGTGAAACCTGC GG ۵') به عنوان پرایمر پیشرو^۵ و ITS4 (با توالی^۶ ۳' TCCTCCGCTTATTGATATGC ۵') به عنوان پرایمر معکوس استفاده گردید [۱]. مواد مورد نیاز برای تکثیر ناحیه ITS شامل dNTP (10 mM) به میزان ۰/۵ میکرولیتر، ۰/۶ میکرولیتر (50 mM) MgCl₂، آغازگر پیشرو و معکوس (۵ پیکو بر مول) به میزان ۱ میکرولیتر، ۰/۵ واحد آنزیمی Taq DNA polymerase، بافر PCR با ۱۰× ۱۰ درجه سانتی گراد: ۵ دقیقه آغاز گردید و ۳۵ سیکل ۱۳/۲ میکرولیتر ddH₂O می‌باشد. پروتکل PCR با ۹۴ درجه سانتی گراد: ۱ دقیقه، ۷۲ درجه سانتی گراد: ۱ دقیقه و ۹۴ درجه سانتی گراد: ۱ دقیقه، ۵۵ درجه سانتی گراد: ۱ دقیقه، ۷۲ درجه سانتی گراد: ۱ دقیقه) و درجه سانتی گراد: ۱۰ دقیقه ادامه یافت. بافر PCR با ۱۰× ۱۰ میلی‌مolar Tris-HCL به میزان ۱۰ میلی‌مolar کلرید پتاسیم (KCl)، ۱۵ میلی‌مolar منیزیم کلرید (MgCl₂) و ۱٪ (حجمی) ۵۰۰ میلی‌مolar کلرید پتاسیم (KCl)، ۱۵ میلی‌مolar منیزیم کلرید (MgCl₂) و ۱٪ (حجمی) وزنی) ژلاتین^۶ (موجب پایداری Taq پلیمراز و افزایش تکثیر) می‌باشد.

با اتمام واکنش زنجیره‌ای پلیمراز، میزان ۳ میکرولیتر از نمونه برای بررسی تکثیر ناحیه ITS در الکتروفورز افقی مورد استفاده قرار گرفت. کیفیت ناحیه تکثیری ITS جدایه‌های جنس *Metarhizium* حاصل از

۱- Dionized Water

۲- Tris Borate Ethylene Di-amin Tetra Acetate (TBE)

۳- Ethidium Bromide

۴- Forward Primer

۵- Reverse Prime

۶- Gelatin

واکنش زنجیره‌ای پلیمراز بر روی ژل آگارز ۱٪ بررسی گردید و بر اساس خطکش ژنی مشخص شد این ناحیه در طولی میان ۵۰۰-۶۰۰ جفت باز برای جدایه‌ها قرار دارد. توالی‌های تکثیر شده هر جدایه، با استفاده از کیت DNA Gel Extraction Norgen Bioscience خالص‌سازی و برای توالی‌یابی به شرکت انگلیس و Bioneer کره جنوبی ارسال شد.

۳-۴-۴. توالی‌یابی و شناسایی گونه‌ها

خوانش توالی‌ها با استفاده از نرمافزار کروماس^۱ صورت پذیرفت. سپس به منظور تطبیق خوانش دو پرایمر Codon Code Aligner (CodonCode Corporation, از نرمافزار Dedham, MA.) پیشرو و معکوس برای هر جدایه، از نرمافزار نوکلئوتید به دست آمد. منطقه همپوشان^۲ برای هر ۳۰ جدایه معادل ۵۳۰ نوکلئوتید به دست آمد. منطقه همپوشان به دست آمده در بخش BLASTn^۳ پایگاه ژنی NCBI^۴ با دیگر توالی‌های ثبت شده مقایسه شدند تا بر پایه تشابه و هم‌ردیفی، شناسایی قارچ صورت پذیرد. با شناسایی گونه‌های قارچی جدا شده از خاک، به ترسیم درختچه فیلوژنتیک^۵ و بررسی تفاوت‌های میان این جدایه‌ها از منظر تکاملی پرداخته شد. درختچه فیلوژنتیک و بوت استرب^۶ با استفاده از نرمافزار مگا MEGA 5.2 [۱۱۲] ترسیم گردید.

۳-۵-۱. نرمافزار و روش مورد استفاده در ترسیم درختچه فیلوژنی

نرمافزار مگا به دلیل برخورداری از ویژگی‌هایی مانند رایگان بودن، به روز بودن، گرافیک مناسب، انجام سه مرحله هم‌ردیفسازی^۷، ارزیابی مدل و آنالیز فیلوژنتیکی^۸ در این پایان‌نامه مورد استفاده قرار گرفت [۱۱۲]. روش مورد استفاده در ترسیم درختچه تست ماکسیمم پارسیمونی می‌باشد و بوتاسترب با ۱۰۰۰ تکرار

۱- Chromas Lite v2.1 (<http://www.mb.mahidol.ac.th/pub/chromas/chromas.htm>)

۲- Contig

۳- nucleotide Basic Local Alignment Search Tool

۴- National Center for Biotechnology Information (www.ncbi.nlm.nih.gov)

۵- Phylogenetic Tree

۶- Bootstrap

۷- Alignment

۸- Phylogenetic Analysis

فصل سوم - ماده‌روش^۱

صورت پذیرفت. در ترسیم درختچه دو روش کلی وجود دارد که شامل روش‌های مبتنی بر فاصله و روش-های مبتنی بر صفات مجزا هستند. در روش دوم، داده‌های مورد استفاده نوکلئوتیدها هستند و الگوریتم، داده‌های وارد سازی شده را با هر تعداد درخت ممکن مقایسه کرده، بهترین درختی را که نمایانگر داده‌ها باشد نشان می‌دهد. شیوه ماکسیمم پارسیمونی بر پایه جستجویی روشنمند در میان درخت‌های احتمالی، درخت تکاملی را ایجاد می‌کند. این جستجو برای یافتن کمترین تعداد جهش احتمالی صورت می‌گیرد که برای انشقاق دو دودمان از یک جد مشترک مورد نیاز است. کمترین تعداد تغییرات جهشی – که برای تفسیر داده‌ها ضروری است – برای تمام درخت‌های احتمالی محاسبه می‌شود و به درختانی با کمترین نیاز به تغییرات، درخت‌هایی با ماکسیمم پارسیمونی (درخت‌های بهینه) گفته می‌شود. پارسیمونی فرضیات اندکی در مورد فرآیندهای تکاملی دارد و این روش عمدتاً بر اساس نظریات ریاضی همراه با الگوریتم‌های قدرتمند رایانه‌ای بنا نهاده شده است و از نظر بسیاری، این روش بهترین تخمین فیلوزنی است زیرا تنها فرض قطعی درمورد تکامل این است که تغییرات تکاملی نادر هستند.

۳-۶. تعیین درصد همولوژی جدایه‌ها

جهت ارزیابی نوع میان مناطق ITS گونه‌های متفاوت *Metarhizium* و ۳۰ جدایه مورد مطالعه، همولوژی میان مناطق ITS ۱۲ گونه شناخته شده جهانی *Metarhizium* و ۳۰ جدایه با استفاده از نرمافزار آنلاین انجام شد (جدول ۳ ضمیمه).^۱ Align Query

۳-۱۱. همبستگی پراکنش جغرافیایی و تنوع ژنتیکی

تست منتل^۲، آزمونی ریاضی برای بررسی همبستگی میان دو ماتریس است که این دو ماتریس باید رتبه مشابهی داشته باشند. این تست در سال ۱۹۶۷ توسط ناتان منتل^۳ ارائه گردید و در علم اکولوژی برای

۱- (<http://xylian.igh.cnrs.fr/bin/align-guess.cgi>)

۲- Mantel Test

۳- Nathan Mantel

تخمین فاصله میان گونه‌های یک موجود به کار برده می‌شود. در این پایان‌نامه برای محاسبه همبستگی میان پراکنش جغرافیایی و تنوع ژنتیکی ناحیه ITS جدایه‌ها از نرم‌افزار GenAlEx 6.5^۱ استفاده شد. نحوه کار بدین صورت است که ابتدا دو ماتریس فاصله ژنتیکی^۲ (میزان تفاوت میان دو ژنوم مختلف) و ماتریس فاصله جغرافیایی^۳ (میزان تفاوت میان دو منطقه مختلف) را با استفاده از نرم‌افزار [۱۱۳] محاسبه می‌نماییم. ماتریس ژنتیکی بر پایه توالی منطقه ITS ۳۰ جدایه *Metarhizium* به دست می‌آید. ماتریس فاصله جغرافیایی بر پایه مختصات جغرافیایی (طول^۴ و عرض جغرافیایی^۵) نمونه‌های خاکی (جدول ۲ ضمیمه) به دست آمده و سپس ماتریس‌های حاصله به نرم‌افزار 2.02e NTSYS^۶ [۱۱۴] وارد شدند و به بررسی کوفنتیک^۷ و همبستگی میان دو ماتریس با استفاده از تست منتل پرداخته می‌شود.

۱۲-۳. بررسی ویژگی‌های مورفولوژیکی قارچ *Metarhizium spp.*

در کنار تشخیص قارچ *Metarhizium* با استفاده از اسپورهای سبز رنگ قارچ بر روی لاشه لارو گالریا، به منظور شناسایی دقیق مورفولوژیکی جدایه‌ها از کلید شناسایی هامبر استفاده شد [۱۰۹] و پس از تایید جنس *Metarhizium spp.* آزمایشاتی مانند اندازه‌گیری نرخ رشد^۸، شمارش تعداد کنیدی^۹ و بیماری‌زایی صورت پذیرفت.

۱۲-۳-۱. آزمایش اندازه‌گیری نرخ رشد

جوانه‌زنی سریع و نرخ رشد بالا برای عوامل کنترل بیولوژیک قارچی مزیت محسوب می‌شود زیرا این صفات

-
- ۱- Genetic Analysis in Excel (<http://www.biology.anu.edu.au/GenAlEx/>)
 - ۲- Genetic Distance Matrix
 - ۳- Geographic Distance Matrix
 - ۴- Longitude
 - ۵- Latitude
 - ۶- Numerical Taxonomy and Multivariate Analysis System (<http://wwwexetersoftware.com/cat/ntsyspc/ntsyspc.html>)
 - ۷- Cophenetic
 - ۸- Growth Rate
 - ۹- Spore Count or Sporulation

در آلودگی سریع میزان نقش دارند. عامل کلیدی در انتخاب جدایه‌های قارچی در برنامه کنترل بیولوژیک، رشد سریع آن در دماهای مختلف است [۱۰۶]. در این پایان‌نامه برای بررسی این که "آیا میان جدایه‌ها از منظر میزان و سرعت رشد تفاوت‌هایی وجود دارد یا خیر؟"، "آیا میان رشد شعاعی یک جدایه و بیماری- زایی آن همبستگی وجود دارد یا خیر؟" و "آیا می‌توان از نرخ رشد به عنوان پارامتری در انتخاب جدایه‌ها در ساخت و فرمولاسیون آفت‌کش زیستی استفاده نمود" ما آزمایشی را در قالب طرح کاملاً تصادفی به صورت زیر تعریف نمودیم:

میسلیوم ستاره‌ای حاصل از یک تک‌اسپور هر جدایه را توسط پیپت پاستور با قطری معادل ۵ میلی‌متر به پتری‌دیش حاوی PDA انتقال و پس از گذشت ۷۲ ساعت قطر کلنی در حال رشد، به‌طور روزانه تا ۱۵ روز اندازه‌گیری شد [۱۱۵]. این آزمایش در ۳ تکرار صورت پذیرفت. پس از اندازه‌گیری میزان رشد هر جدایه، برای محاسبه نرخ رشد از فرمول زیر [۱۱۶] استفاده گردید.

$$K_r = (R_1 - R_0) / (t_1 - t_0) \quad (فرمول ۱-۳)$$

$$R_1 = \text{نرخ رشد نهایی}$$

$$R_0 = \text{نرخ رشد اولیه}$$

$$t_1 = \text{زمان نهایی}$$

$$t_0 = \text{زمان اولیه}$$

به علت حجم بالای داده‌ها، اطلاعات مربوط به میزان رشد روزانه به نرمافزار Microsoft Excel 2010 (Microsoft Office, 2010) وارد گردید و مدل خطی تعديل و نتایج در طرح کاملاً تصفی در نرمافزار SAS (SAS Institute Inc., Ver.9.1) مورد ارزیابی واقع شد.

۱۲-۳. آزمایش شمارش تعداد کنیدی

برای درک این فرضیه که "آیا میان تعداد کنیدی تولیدی هر جدایه با بیماری‌زایی همبستگی وجود دارد یا خیر" این آزمایش صورت پذیرفت و از تکرارهای آزمایش محاسبه نرخ رشد به علت فعال بودن پس از

گذشت ۱۶ روز از آغاز آزمایش محاسبه نرخ رشد بهره گرفته شد. بر پایه مقاله پتلامول و همکاران [۱۱۷] و اندکی تغییرات، با استفاده از پیپت پاستور سطح مشخصی (قطری معادل ۵ میلی‌متر) از بیرونی‌ترین ناحیه کلنی هر تکرار را برداشته در میکروتیوب حاوی ۱ میلی‌لیتر محلول $\frac{۰}{۲}$ درصد توئین ۸۰ ریخته و پس از ۲ دقیقه ورتكس، میزان $\frac{۰}{۱}$ میلی‌لیتر را بر روی لام هموسیتومتر ریخته و زیر میکروسکوپ تعداد اسپورها را برای هر جدایه شمارش کردیم. این آزمایش در ۴ تکرار صورت پذیرفت و نتایج در طرح کاملاً تصفی در نرمافزار SAS 9.1 مورد ارزیابی واقع شد.

۱۲-۳. آزمایش زیست‌پذیری کنیدی^۱ جدایه‌های انتخاب شده

سوسپانسیون^۲ $\times ۱۰^۱$ (کنیدی/ میلی‌لیتر) از هر جدایه تهیه و میزان $\frac{۰}{۱}$ میلی‌لیتر از این سوسپانسیون به محیط کشت SDA غنی‌شده با عصاره مخمر^۳ انتقال یافت. سپس پتری‌دیش‌ها را درون انکوباتور با دمای ۱ \pm ۲۷ درجه سانتی‌گراد و رطوبت نسبی ۸۵٪ نگهداری شد. بعد از گذشت ۲۴ ساعت از انکوباسیون، به هر پتری‌دیش تعداد ۳ قطره رنگ لاکتونفول کاتن‌بلو به طور تصادفی برای ثبیت و رنگ‌آمیزی و جلوگیری از جوانه‌زنی بیشتر اضافه شد. این آزمایش بر مبنای آزمایش پتلامول و همکاران با اندکی تغییرات صورت پذیرفت [۱۱۷]. در محل هر قطره تعداد کل اسپورها و همچنین اسپورهای تندش نموده را شمارش و قدرت زنده‌مانی را توسط فرمول ۲-۳ برای هر جدایه محاسبه گردید [۸۵]. با توجه به درصد بهدست آمده، جدایه‌هایی با بالاترین میزان زنده‌مانی برای بیماری‌زایی استفاده شدند.

(فرمول ۲-۳)

$$\text{درصد جوانه‌زنی} = \left(\frac{a}{a+b} \right) \times 100$$

$$a = \text{تعداد اسپور جوانه نزد} \quad b = \text{تعداد اسپور جوانه زده}$$

۱- Viability of Conidium

۲- Sabroud Dextrose Agar + Yeast Extract

۳-۴-۴. بررسی بیماری زایی بر روی *Tribolium castaneum* Herbst (Col, Tenebrionidae)

سوسک قرمز آرد (*Tribolium castaneum*) حشره‌ای کوچک به طول ۴-۳ میلی‌متر به رنگ قرمز دارای قطعات دهانی جونده می‌باشد که آفتی شایع^۱ و از حشرات مهم مواد انباری می‌باشد [۱۱۸]. در این آزمایش، برای محاسبه نرخ مرگ و میر آفت انباری *Tribolium castaneum* توسط جدایه‌های قارچ *Metarhizium* spp. ابتدا سوسپانسیونی با غلظت $10^8 \times 1$ برای هر جدایه تهیه گردید بدین طریق که برای تهییه سوسپانسیون $10^8 \times 1$ درون یک میکروتیوب حاوی ۱ میلی‌لیتر محلول $2/0$ درصد توئین ۸۰، مقداری اسپور ریخته و با استفاده از لام هموسیتومتر، شمارش اسپورها صورت پذیرفت. با جایگذاری غلظت $10^8 \times 1$ درون فرمول $3-3 A = 250000$ می‌توان تعداد اسپوری که بایستی در یک مربع 4×4 لام شمارش نمود به دست می‌آید.

برای بیماری زایی هر جدایه ۳ تکرار در نظر گرفته شد و با تهییه سوسپانسیون، تعداد ۳۰ حشره کامل را به مدت ۳۰ ثانیه درون سوسپانسیون فرو برد و سپس در پتری‌دیش‌های پلاستیکی دارای کاغذ صافی رها نمودیم. جهت تماس بیشتر اسپورهای قارچ با حشرات کامل سوسپانسیون را بر روی کاغذ صافی ریخته و پتری‌دیش‌ها به مدت ۲۴ ساعت درون انکوباتور ۳۰ درجه سانتی‌گراد قرار دادیم. بعد از گذشت این مدت زمان، حشرات کامل را درون پتری‌دیش‌های حاوی مواد غذایی (مخلوط آرد، گلیسرین ۱۵٪، عسل، سبوس گندم) رها نمودیم و در انکوباتور با دمای 1 ± 27 درجه سانتی‌گراد و رطوبت نسبی $85 \pm 3\%$ قرار دادیم. چهارمین تکرار برای هر جدایه، تیمار حشرات با آب مقطر استریل بود. سرکشی به‌طور روزانه صورت پذیرفت و با مشاهده مرگ حشره‌ای، حشره مرده را به پتری‌دیش استریل دارای کاغذ صافی انتقال دادیم تا اگر حشره در اثر فعالیت قارچ یا دیگر میکرووارگانیسم‌ها از بین رفته باشد، مشخص گردد. در صورت مرگ و میر حشرات شاهد، میزان مرگ و میر با فرمول ابوت^۲ [۱۱۹] تصحیح گردید و جدایه‌ها از منظر قدرت بیماری زایی طبقه‌بندی شدند.

۱- Cosmopolitan

۲- Abbott's Formula

$$\text{Corrected mortality (\%)} = \frac{(M_{\text{obs}} - M_{\text{control}})}{(100 - M_{\text{control}})} \times 100 \quad (4-3)$$

تعداد مرگ و میر مشاهده شده = M_{obs}

تعداد مرگ و میر شاهد = M_{control}

ارزیابی داده‌های حاصل از هر جدایه با نرم‌افزار SAS9.1 در طرح کاملاً تصادفی انجام گرفت و نرم‌افزار

نرم‌افزار Minitab 16.2.4 (Minitab Inc. 2013) نرمال‌سازی داده‌های حاصل از تکرارهای هر جدایه را انجام داد.

فصل چهارم

نتیج

امروزه با استفاده از روش‌های ملکولی توانسته‌اند رده‌بندی کامل‌تری را ارائه نمایند. فیلوژنتیک مجدد برای قارچ‌های بیمارگر حشرات با استفاده از روش‌های ملکولی سبب تفکیک خانواده Clavicipitaceae به سه خانواده مستقل شده است. به دلیل مشکلات در تعیین دقیق گونه‌های قارچی از جمله طولانی بودن این فرآیند، هزینه بسیار و پیچیدگی نتایج به دست آمده، شناسایی این گروه از موجودات یوکاریوت امروزه به روش‌های ملکولی علی‌الخصوص تکنیک‌های مبتنی بر PCR در حد گونه و رده‌های پایین‌تر نیازمندیم لذا برای این موجودات که میکروارگانیسم‌هایی با بیش از ۱/۵ میلیون گونه هستند روش‌های بارکدینگ ITS‌ی متفاوتی پیشنهاد شده است. نواحی ژنی متنوعی نظیر زیر واحد بزرگ ریبوزومی هسته‌ای، DNA توالی‌های ژنی β -توبولین و توالی‌های فاکتور طویل شدن $1-\alpha$ ^۱ برای شناسایی قارچ‌ها در سطح گونه به کار برده شده است [۶۸].

۱-۴. تحلیل فیلوژنی منطقه ITS1-5.8S-ITS2 جدایه‌های *Metarhizium spp.*

به مطالعه ارتباط تکاملی بین موجودات زنده فیلوژنی گفته می‌شود که معمولاً به صورت درخت فیلوژنتیکی نشان داده می‌شود. برای رسم این درختچه از توالی‌های نوکلئوتیدی یا اسید‌آمینه‌ای استفاده می‌شود و اساس کار ما بر پایه توالی‌های نوکلئوتیدی حاصل از تکثیر ناحیه ITS جدایه‌ها می‌باشد. توالی‌های نوکلئوتیدی به دو صورت توالی‌یابی ناحیه تکثیری با استفاده از دستگاه توالی‌یاب^۲ یا استفاده از توالی‌های ثبت‌شده در پایگاه‌های اطلاعاتی نظیر NCBI^۳, EMBL^۴, DDBJ^۵ به دست می‌آید. در این پایان نامه علاوه بر توالی‌یابی ناحیه ITS جدایه‌ها، از توالی‌های موجود در پایگاه ژنی NCBI بهره گرفته شد.

۱- Elongation Factor 1- α

۲- Sequencer

۳- European Molecular Biology Laboratory (EMBL)

۴- DNA Data Bank of Japan (DDBJ)

۴-۱. دست یابی به توالی‌های ناحیه‌ی تکثیری ITS جدایه‌ها

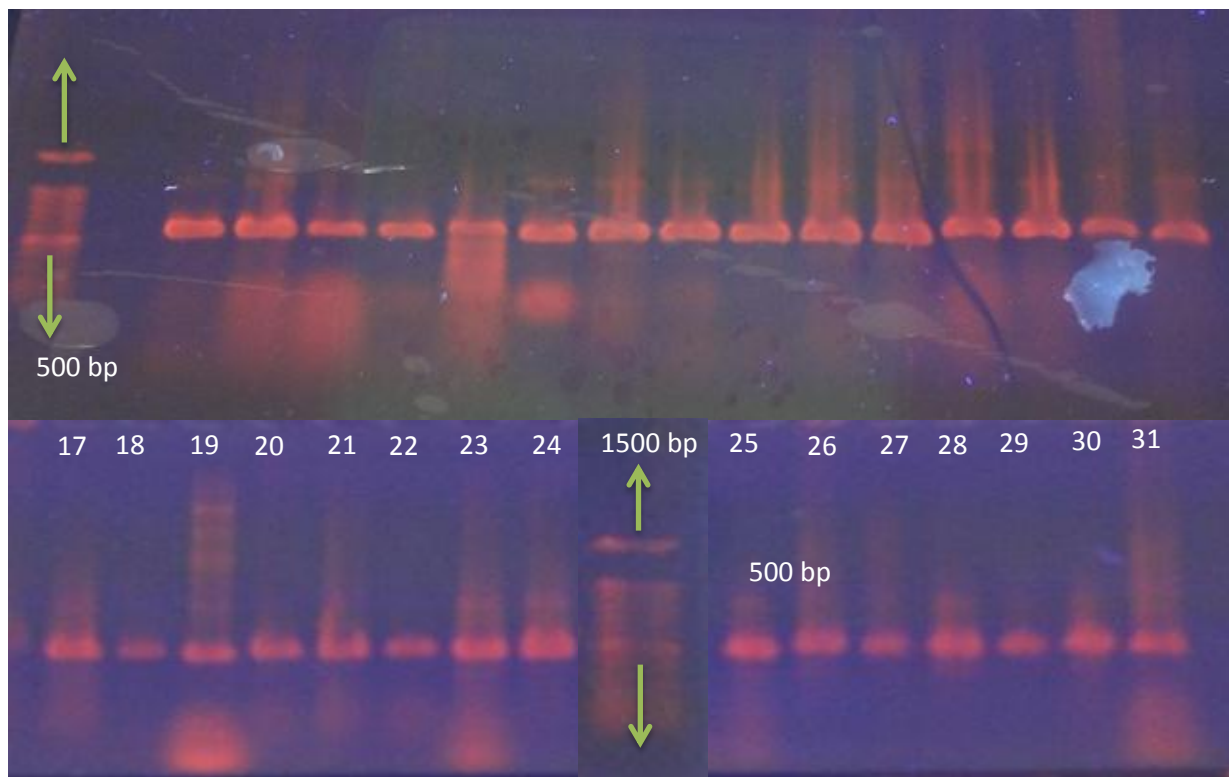
استخراج DNA و تکثیر آن توسط جفت پرایمر ITS برای ۳۰ جدایه صورت پذیرفت و الکترفورز افقی ناحیه تکثیری ITS در شکل ۴-۱ نشان داده شده است. بر مبنای خطکش ژنی تمام جدایه‌ها در ناحیه‌ای میان ۵۰۰-۶۰۰ نوکلئوتید جای گرفته‌اند و توالی‌یابی آنها نشان داد که متوسط طول تکثیری تقریباً ۵۳۰ نوکلئوتید می‌باشد و قرار دادن منطقه همپوشان هر جدایه در BLASTn و شناسایی جدایه‌ها ثابت نمود ناحیه ITS را می‌توان به عنوان DNA بارکدی برای شناسایی گونه‌های قارچی استفاده کرد و قادر خواهد بود بر مبنای منطقه بهشت حفاظت شده^۱ ۵/۸S -که درون این ناحیه جای گرفته شده است- به ترسیم درختچه فیلوژنتیک بپردازد.

۴-۲. نتایج درختچه فیلوژنی برای جدایه‌های *Metarhizium spp.*

درایور [۴۵]، دیاستفانو [۶۱] و اشنایدر [۲۲] در زمینه شناسایی گونه‌های قارچ *Metarhizium* بر اساس ناحیه ITS و ترسیم درختچه فیلوژنتیکی آن بسیار قدرتمند عمل نموده‌اند و ما از شماره دسترسی جدایه‌های معرفی شده توسط اشنایدر [۲۲] و دیاستفانو [۶۱] و درایور [۴۵] در ترسیم درختچه فیلوژنتیک استفاده نمودیم که در جدول ۴-۱ شماره دسترسی این توالی‌ها را ملاحظه خواهید نمود.

بررسی درختچه رسم شده به روش ماسکسیم پارسیمونی و بوت استرپ با ۱۰۰۰ تکرار (شکل ۴-۲) نشان می‌دهد جدایه‌های *Metarhizium* در ۸ کلاستر قرار گرفته‌اند. کلاسترها با بوت استرپ ≤ 70 مورد تقسیم‌بندی قرار داده شد و زیر کلاسترها درون هر خوشه را با بوت استرپ ≤ 80 لحاظ گردید. بدین ترتیب کلاستر ۱ با ۶ زیر خوشه (۱-۱ تا ۱-۶)، کلاستر ۳، کلاستر ۴ با سه زیر کلاستر (۱-۴، ۲-۴ و ۳-۴)، کلاستر ۵ با دو زیر کلاستر (۱-۵ و ۲-۵) و کلاستر ۸ با دو زیر خوشه (۱-۸ و ۲-۸) از ایران مشابه

۱- Highly Conserved Sequence

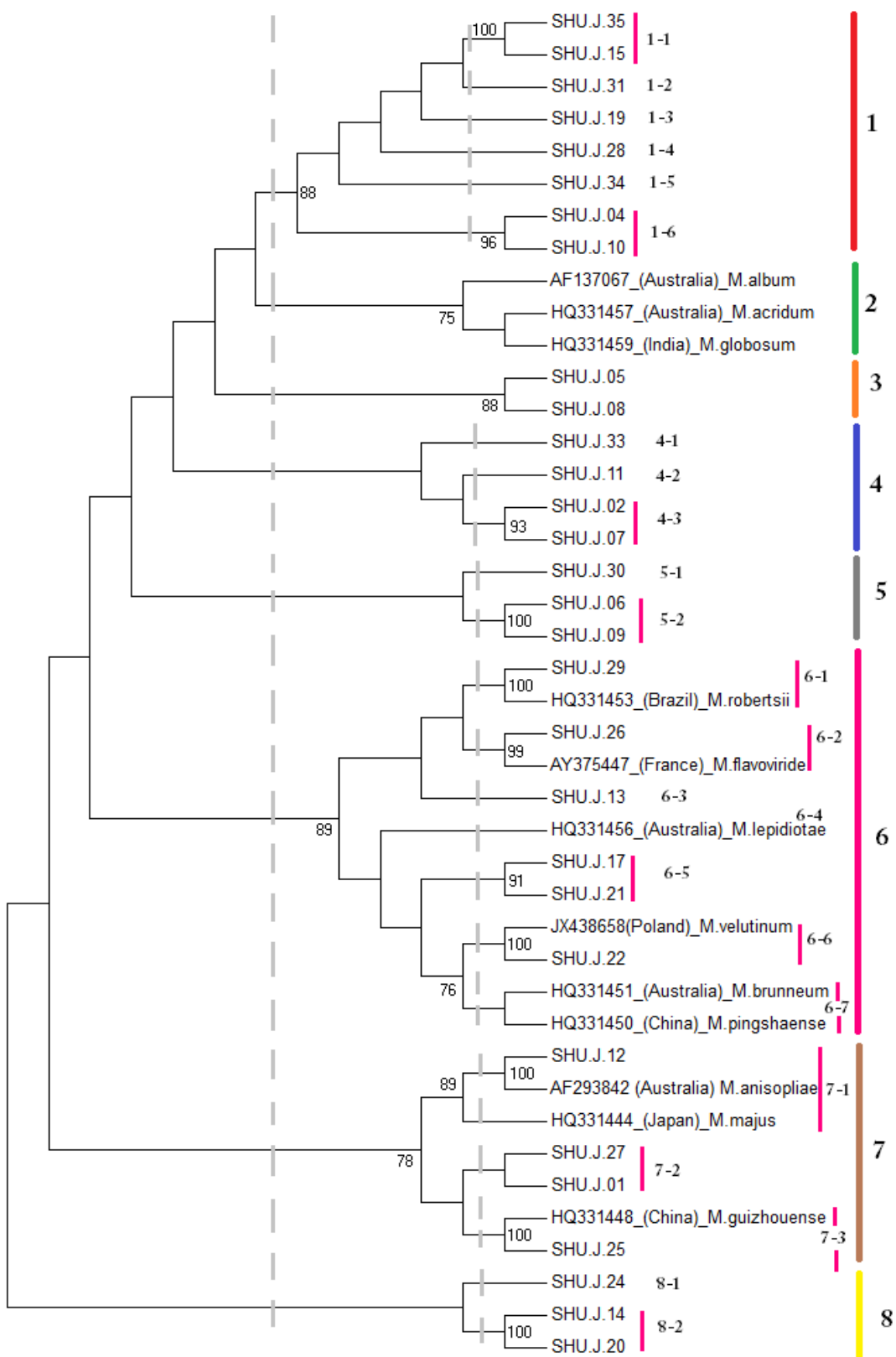


شکل ۴-۱: نمایی از تکثیر ناحیه ITS1-5.8s-ITS2 جدایه‌های *Metarhizium* روی ژل آگارز ۱٪. قطعه تکثیر یافته برای هر جدایه از طولی معادل ۵۰۰-۶۰۰ نوکلئوتید بروخودار است. چاهک ۲ تا ۳۱ به ترتیب مربوط به جدایه‌های SHU.J.01, SHU.J.11, SHU.J.10, SHU.J.09, SHU.J.08, SHU.J.07, SHU.J.06, SHU.J.05, SHU.J.04, SHU.J.02, SHU.J.22, SHU.J.21, SHU.J.20, SHU.J.19, SHU.J.17, SHU.J.15, SHU.J.14, SHU.J.13, SHU.J.12, SHU.J.33, SHU.J.31, SHU.J.30, SHU.J.29, SHU.J.28, SHU.J.27, SHU.J.26, SHU.J.25, SHU.J.24 و SHU.J.35 و SHU.J.34 تعلق دارند. خطکش ژنی با طول ۱۵۰۰ جفت باز دارای دو باند مرجع (۵۰۰ و ۱۵۰۰ جفت باز) است که در شکل علامت‌دار شده‌اند.

جدول ۴-۱: لیست گونه‌های *Metarhizium* و شماره دسترسی آن در پایگاه ژنی NCBI استفاده شده در ترسیم

| نام جداییه | شماره دسترسی | کشور | منبع |
|-----------------------|--------------|----------|---------|
| <i>M. guizhouense</i> | HQ331448 | چین | [۲۲] |
| <i>M. brunneum</i> | HQ331451 | استرالیا | [۲۲] |
| <i>M. anisopliae</i> | AF293842 | استرالیا | [۲۲] |
| <i>M. velutinum</i> | JX438658 | لهستان | GenBank |
| <i>M. flavoviride</i> | AY375447 | فرانسه | [۶۱] |
| <i>M. lepidiotae</i> | HQ331456 | استرالیا | [۲۲] |
| <i>M. robertsii</i> | HQ331453 | برزیل | [۲۲] |
| <i>M. album</i> | AF137067 | استرالیا | [۴۵] |
| <i>M. acridum</i> | HQ331457 | استرالیا | [۲۲] |
| <i>M. globosum</i> | HQ331459 | هند | [۲۲] |
| <i>M. majus</i> | HQ331444 | ژاپن | [۲۲] |
| <i>M. pingshaense</i> | HQ331450 | چین | [۲۲] |

بررسی تنوع رشته‌کنی قارچ‌یماری زای خشرات *Metarhizium anisopliae*- مسابحکار



شکل ۴-۳: رسم درختچه‌ی فیلوزنی برای جدایه‌های مختلف *Metarhizium spp.* و مقایسه جدایه‌های بومی با دیگر مناطق دنیا. درختچه‌ی فیلوزنی با نرم‌افزار مکان، روش ماسکسیم پرسیمونی و آنالیز بوت استرب با تکرار ۱۰۰۰ رسم شد. همانطور که در تصویر دیده می‌شود ۱۲ گونه مورد تقسیم‌بندی قرار داده شد (خط چین اول) و زیر کلاسترها با بوت استرب ۸۰٪ (خط چین دوم) لحاظ گردید.

فصل چهارم- نتیج

همتایی از گونه‌های گزارش شده در جهان نیستند و نظر به کوچکی اندازه بوت استرپ‌ها (≤ 70) احتمال این وجود دارد که حداقل ۵ گونه جدید را بتوان تنها در اقلیم شاهرود و شهرستان‌های اطراف (جدول ۲ ضمیمه) گزارش نمود.

درختچه فیلوژنی نشان می‌دهد که گونه‌های *M. globosum* *M. acridum* *M. album* در کلاستر ۲ (زیر کلاسترها ۱-۲، ۲-۲ و ۲-۳) از شباهت نسبی با یکدیگر برخوردارند و هیچ نماینده‌ای از اقلیم‌های مورد مطالعه ایرانی در این خوشه جای نگرفته است. کلاستر ۶ را می‌توان با توجه به اندازه بوت استرپ (≤ 70) به ۷ زیر خوشه (۱-۶ تا ۶-۷) تقسیم نمود. در زیر خوشه ۱-۶، جدایه SHU.J.29 نماینده ایرانی SHU.J.13 گونه *M. robertsii* و همچنین *M. flavoviride* است. در این بین خود یک زیر خوشه و یا به تعبیری زیر گونه است و در صورتی که تعداد نمونه‌برداری‌ها افزایش یابد ممکن است محل استقرار این جدایه قارچی در درختچه فیلوژنتیکی تغییر نماید و قربتی به یکی از گونه‌ها بیابد. زیر خوشه ۶-۴ به تنهایی گونه *M. lepidiotae* از استرالیا را در خود جای داده است و نماینده‌ای از اقلیم‌های مورد مطالعه قربتی با این گونه را نشان نمی‌دهد. زیر خوشه ۶-۵ دارای دو جدایه قارچی از استان‌های سمنان (SHU.J.17) و گیلان (SHU.J.21) بود که با هیچ یک از گونه‌های شناخته شده از خود قربتی نشان ندادند. زیر خوشه ۶-۶ گونه *M. velutinum* را به همراه جدایه کاملا مشابه (بوت استرپ ۰۰-۱) از گیلان (SHU.J.22) را در خود دارد و در نهایت زیر خوشه ۶-۷ حاوی گونه‌های *M. brunnum* و *M. pingshaense* با بوت استرپ ≤ 70 است.

کلاستر ۷ دارای ۳ زیر خوشه (۱-۲، ۲-۳ و ۳-۷) است که زیر خوشه ۱-۷ دارای دو گونه *M. anisopliae* به همراه نماینده‌ای از شاهرود (SHU.J.12) و گونه *M. majus* بدون هیچ جدایه‌ای در این مطالعه است.

زیر خوشه ۷-۲ دارای دو جدایه SHU.J.27 (استان البرز) و SHU.J.01 (استان سمنان) است که اگرچه در یک زیر خوشه جای گرفته‌اند ولی از قربت پائینی برخوردار هستند و تشابهی به هیچ‌یک از گونه‌ها ندارند. زیر خوشه ۷-۳ در خود گونه *M. guizhouense* و جدایه‌ای از سمنان (SHU.J.25) با همولوژی کامل با این گونه را جای داده است.

کلاستر ۸ دارای دو زیر خوشه ۸-۱ و ۸-۲ است که زیر خوشه ۸-۱ جدایه SHU.J.24 (شهرنما) را در خود جای داده است و در زیر خوشه ۸-۲، جدایه‌های SHU.J.14 و SHU.J.20 هر دو از شهرنما (شهرود) به دست آمدند.

تهیه اسلاید از اسپورهای تشکیل شده بر سطح محیط کشت و بررسی آن در زیر میکروسکوپ نوری نشان داد که جدایه‌های خالص شده تماماً به جنس *Metarhizium* تعلق دارند [۱۰۹] (شکل ۴-۳).

۴-۳. همبستگی میان تنوع جغرافیایی و تنوع ژنتیکی

بررسی همبستگی میان دو پارامتر تنوع جغرافیایی و تنوع ژنتیکی بر پایه ضریب همبستگی کوفنتیک دو ماتریس، نشان داد که میان این دو پارامتر همبستگی ضعیف ولی غیر معنی‌دار وجود دارد و ^۱ محاسبه شده برای این دو از مقداری معادل ۳۴/۰٪ برخوردار است یعنی میان تنوع ناحیه ITS جدایه‌های *Metarhizium* و پراکنش جغرافیایی ارتباطی وجود ندارد (ضمیمه ۴).

۴-۴. نرخ جداسازی قارچ *Metarhizium spp.*

از هریک از ۷ منطقه شاهروود تعداد ۳۲ نمونه خاک و از هر یک از استان‌های شمالی ایران (گلستان،

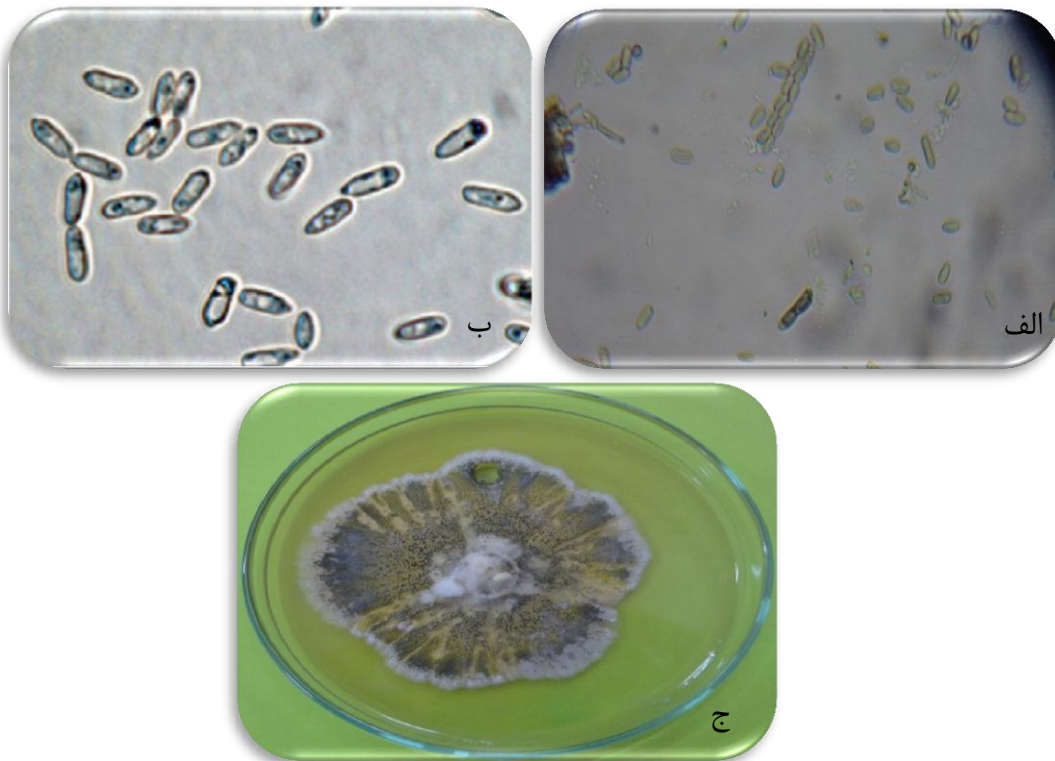
ضریب همبستگی کوفنتیک -۱

فصل چهارم- نتایج

گیلان، مازندران) و تهران تعداد ۱۰ نمونه خاک جمع‌آوری گردید و برای هر نمونه خاک تعداد ۱۰ لارو در پتری‌دیش قرار داده شد. برای محاسبه نرخ جداسازی قارچ *Metarhizium* در هر منطقه، تعداد لارو آلوده به قارچ به تعداد کل لارو هر منطقه تقسیم شد. پراکنش قارچ *Metarhizium* در نمونه‌های خاک ۷ منطقه شاهروود و نمونه‌های دیگر استان‌ها یکسان نیست و به شرایط محیطی نقاط مختلف جغرافیایی بستگی دارد و دلیل این گفته را می‌توان در جدول ۱ ضمیمه جستجو نمود. در میان مناطق شاهروود، بیشترین میزان جداسازی قارچ، منطقه شهرنما با آلوده شدن ۷۰ لارو از میان ۲۰۰ لارو مورد استفاده (یعنی ۳۵٪) و کمترین میزان جداسازی، منطقه ۲ (کلاته اسد- ابراهیم آباد- میامی و جودانه) و منطقه ۳ (ده ملا- کلاته ملا- مراد آباد- مومن اباد- حداده) با آلوده شدن ۸ لارو (یعنی ۲/۵٪) هستند. از بین نمونه خاک‌های ۴ استان (مازندران، گلستان، گیلان و تهران) گلستان با نرخ جداسازی ۲٪ (یعنی ۲ لارو آلوده از میان ۱۰۰ لارو استفاده شده) کمترین و گیلان با نرخ جداسازی ۲۰٪ (۲۰ لارو آلوده از میان ۱۰۰ لارو استفاده شده) بیشترین میزان جداسازی قارچ را به خود اختصاص داده‌اند.

۴-۵. ارزیابی نرخ رشد جدایه‌ها بر روی محیط‌کشت PDA

بررسی نتایج تجزیه و تحلیل (جدول ۲-۴) نشان می‌دهد نرخ رشد جدایه‌های *Metarhizium* اقلیم‌های *Metarhizium* مورد مطالعه در سطح ۱ درصد معنی‌دار شده است. نتایج مقایسه میانگین برای جدایه‌های *spp.* در جدول ۳-۴ مشخص شده است. نتایج مقایسه میانگین نرخ رشد (جدول ۳-۴) نشان می‌دهد که جدایه‌های SHU.J.35 (جنگل ابر)، SHU.J.22 (سرولات)، SHU.J.33 (شهرنما)، SHU.J.27 (فردیس)، SHU.J.24 (نهارخواران)، SHU.J.02 (رویان) و SHU.J.29 (شهرنما) در کنار جدایه SHU.J.11 (شهرنما) از منظر سطح میانگین در کلاس A جای داده شده‌اند و اختلاف معنی‌داری با یکدیگر در میانگین نرخ رشد ندارند اما با سایر جدایه‌ها از اختلاف معنی‌داری برخوردارند.



شکل ۲-۳: نمایی از کنیدی‌های قارچ *Metarhizium* و رشد آن بر روی محیط کشت PDA (الف) کنیدی‌های جدایه SHU.J.01 با بزرگنمایی $\times 40$ (ب) کنیدی‌ها با بزرگنمایی $\times 100$ (ج) برداشت حجم مشخصی از بیرونی ترین ناحیه کلنب برای شمارش اسپور توسط پیپت پاستور

جدول ۲-۴: تجزیه واریانس برای بیماری‌زایی، تعداد کنیدی و نرخ رشد جدایه‌های قارچ *Metarhizium spp*

| منابع تغییر | درجه آزادی | میانگین مربعات | ضریب تغییرات | نرخ رشد | تعداد کنیدی | نرخ رشد | تعداد | بیماری‌زایی کنیدی | تعداد | بیماری‌زایی | نرخ رشد | ضریب تغییرات |
|-------------|------------|----------------|--------------|------------|-------------|---------|--------|-------------------|-------|-------------|---------|--------------|
| جدایه | ۲۹ | ۸۷/۴۹۹** | ۲۰۱۵/۵۹۴** | ۱۲۹۵/۰۲۹** | ۷/۸۶۲ | ۵/۵۸۹ | ۱۰/۱۳۹ | | | | | |
| خطا | ۶۰ | ۱/۷۸۵۰۷۵ | ۴/۴۰۹۳۸ | ۳۴/۹۰۳۰۳ | | | | | | | | |
| کل | ۸۹ | | | | | | | | | | | |

** در سطح ۱٪ معنی دار است

فصل چهارم- نتایج

جدول ۴-۳: مقایسه میانگین نرخ رشد جدایه‌های مختلف قارچ *Metarhizium spp.*

| نام جدایه | سطح میانگین | میانگین نرخ رشد |
|-----------|---------------|-----------------|
| SHU.J.11 | A | ۲۴/۱۷۹ |
| SHU.J.35 | A, B | ۲۳/۸۶۵ |
| SHU.J.22 | A, B, C | ۲۳/۵۷۳ |
| SHU.J.33 | A, B, C | ۲۳/۴۹۱ |
| SHU.J.27 | A, B, C, D | ۲۳/۴۲۷ |
| SHU.J.24 | A, B, C, D | ۲۳/۲۲۳ |
| SHU.J.02 | A, B, C, D, E | ۲۲/۵۴۳ |
| SHU.J.29 | A, B, C, D, E | ۲۲/۱۸۲ |
| SHU.J.12 | B,C, D, E | ۲۱/۶۸۳ |
| SHU.J.03 | C, D, E | ۲۱/۵۸۸ |
| SHU.J.13 | D, E, F | ۲۱/۲۷۷ |
| SHU.J.28 | E, F | ۲۰/۷۲۹ |
| SHU.J.06 | E, F | ۲۰/۴۴۴ |
| SHU.J.34 | F | ۱۹/۱۶۸ |
| SHU.J.01 | F | ۱۹/۱۴۰ |
| SHU.J.26 | G | ۱۴/۳۲۷ |
| SHU.J.04 | G | ۱۴/۲۸۳ |
| SHU.J.25 | G, H | ۱۳/۸۵۱ |
| SHU.J.17 | G, H, I | ۱۳/۶۵۳ |
| SHU.J.08 | G, H, I | ۱۳/۴۶۰ |
| SHU.J.21 | G, H, I | ۱۲/۷۳۲ |
| SHU.J.05 | G, H, I | ۱۲/۵۷۴ |
| SHU.J.15 | G, H, I, J | ۱۲/۱۵۷ |
| SHU.J.31 | H, I, J, K | ۱۱/۸۹۳ |
| SHU.J.14 | I, J, K, L | ۱۱/۶۲۴ |
| SHU.J.30 | J, K, L, M | ۱۰/۰۹۱ |
| SHU.J.10 | K, L, M | ۹/۹۲۳ |
| SHU.J.07 | K, L, M | ۹/۸۹۷ |
| SHU.J.20 | L, M | ۹/۵۱۹ |
| SHU.J.19 | M | ۹/۲۹۴ |

حروف غیر مشابه بیانگر اختلاف معنی دار در سطح ۱٪ می باشند.

۴-۶. ارزیابی تعداد کنیدی جدایه‌های قارچ *Metarhizium spp.* بر روی محیط کشت PDA

بر پایه جدول تجزیه واریانس (جدول ۲-۴) آزمایش شمارش کنیدی ۳۰ جدایه‌ی *Metarhizium spp.* در *Metarhizium* تکرار در سطح ۱ درصد معنی‌دار شده است و مقایسات میانگین مربوط به گونه‌های ۳ آورده شده است. ارزیابی شمارش کنیدی برای جدایه‌ها، نشان می‌دهد که جدایه *spp.* جدول ۴-۴ (کلاته اسد) با میانگین اسپور $10^6 \times 80/25$ از بیشترین میزان کنیدی تولیدی برخودار می‌باشد (سطح میانگین A) و از اختلاف معنی‌داری با دیگر جدایه‌ها در میزان کنیدی تولیدی دارد و جدایه SHU.J.01 (رویان) با میانگین $10^6 \times 8/750$ از کمترین میزان کنیدی تولیدی در کنار جدایه‌های SHU.J.08 SHU.J.15 (شهرک دانشگاه) در سطح SHU.J.17 (شهرنما)، SHU.J.25 (شهرنما)، SHU.J.31 (شهرنما)، SHU.J.25 (شهرنما) با میانگین P قرار گرفته است و این گروه از جدایه‌ها اختلاف معنی‌داری با یکدیگر ندارند و مشترکاً کمترین میزان تولید کنیدی را به خود اختصاص داده‌اند.

۷-۴. زیست‌پذیری کنیدی‌ها

قدرت زیست‌پذیری کنیدی یکی از عواملی است که بر بیماری‌زایی اثر می‌گذارد از این‌رو لازم است قبل از بررسی بیماری‌زایی جدایه‌ها، زیست‌پذیری و قدرت جوانه‌زنی آنها تعیین شود. نتایج آزمایش حاکی از آن بود که تمامی جدایه‌های *Metarhizium spp.* از قدرت زیست‌پذیری بیش از ۸۹٪ برخوردار هستند.

۸-۴: تاثیر بیماری‌زایی قارچ در برابر سوسک قرمز آرد

مطابق جدول تجزیه واریانس (جدول ۳-۴) اثر غلظت $10^8 \times 1$ کنیدی / میلی‌لیتر قارچ *Metarhizium spp.* برکشندگی سوسک قرمز آرد در سطح ۱ درصد معنی‌دار شد. با استفاده از نرم‌افزار مینی‌تب، درصد بیماری‌زایی جدایه‌ها نرمال شدند و سپس در نرم‌افزار SAS 9.1 در قالب طرح کاملاً تصادفی مورد استفاده

فصل چهارم- نتایج

جدول ۴-۴: مقایسه میانگین تعداد کنیدی تولیدی جدایه‌های قارچ *Metarhizium*

| نام جدایه | سطح میانگین | میانگین تعداد اسپور $\times 10^6$ |
|-----------|-------------|-----------------------------------|
| SHU.J.01 | A | ۸۰/۲۵۰ |
| SHU.J.35 | B | ۷۶/۶۲۵ |
| SHU.J.33 | B | ۷۵/۳۷۵ |
| SHU.J.22 | C | ۶۶/۱۲۵ |
| SHU.J.11 | D | ۶۱/۰۰۰ |
| SHU.J.29 | D, E | ۵۹/۰۰۰ |
| SHU.J.02 | E | ۵۶/۸۷۵ |
| SHU.J.10 | F | ۵۳/۸۱۳ |
| SHU.J.12 | F | ۵۳/۷۵۰ |
| SHU.J.04 | F | ۵۲/۵۰۰ |
| SHU.J.24 | G | ۴۵/۸۷۵ |
| SHU.J.21 | G, H | ۴۵/۵۰۰ |
| SHU.J.06 | H, I | ۴۲/۶۲۵ |
| SHU.J.34 | I | ۴۲/۰۰۰ |
| SHU.J.28 | I | ۳۹/۶۸۸ |
| SHU.J.05 | J | ۳۶/۲۵۰ |
| SHU.J.07 | J | ۳۵/۸۷۵ |
| SHU.J.27 | K | ۳۱/۰۶۳ |
| SHU.J.13 | L | ۲۱/۶۲۵ |
| SHU.J.19 | L | ۲۰/۷۵۰ |
| SHU.J.26 | L, M | ۱۹/۰۶۳ |
| SHU.J.20 | M, N | ۱۶/۸۷۵ |
| SHU.J.09 | N | ۱۵/۸۷۵ |
| SHU.J.30 | N | ۱۵/۵۰۰ |
| SHU.J.14 | O | ۱۲/۳۱۳ |
| SHU.J.17 | O, P | ۱۱/۶۲۵ |
| SHU.J.15 | O, P | ۱۰/۲۵۰ |
| SHU.J.31 | O, P | ۱۰/۱۸۸ |
| SHU.J.25 | O, P | ۱۰/۰۰۰ |
| SHU.J.08 | P | ۸/۷۵۰ |

حروف غیر مشابه بیانگر اختلاف معنی دار در سطح ۱٪ می باشند.

جدول ۴-۵: مقایسه میانگین تلفات سوسک قرمز آرد توسط جدایه‌های مختلف قارچ *Metarhizium spp.*

| طبقه‌بندی جدایه‌ها | میانگین تلفات | تعداد مشاهدات | سطح میانگین | نام جدایه |
|--------------------|---------------|---------------|-------------|-----------|
| A (High) | ۸۸/۸۳۷ | ۲۹ | A | SHU.J.22 |
| A | ۸۶/۸۰۰ | ۲۸ | A | SHU.J.35 |
| A | ۸۴/۹۰۷ | ۲۸ | A, B | SHU.J.29 |
| A | ۸۴/۹۰۷ | ۲۸ | A, B | SHU.J.02 |
| A | ۸۳/۸۲۰ | ۲۷ | A, B | SHU.J.33 |
| A | ۸۲/۸۵۰ | ۲۷ | A, B | SHU.J.10 |
| A | ۸۱/۹۱۰ | ۲۷ | A, B | SHU.J.04 |
| A | ۷۹/۸۵۷ | ۲۷ | A, B | SHU.J.12 |
| A | ۷۶/۸۶۳ | ۲۵ | B | SHU.J.11 |
| A | ۷۶/۵۲۳ | ۲۵ | B | SHU.J.01 |
| B (Medium) | ۶۳/۸۴۳ | ۲۰ | C | SHU.J.19 |
| B | ۶۳/۳۳۳ | ۱۹ | C, D | SHU.J.28 |
| B | ۶۲/۸۸۰ | ۲۰ | C, D, E | SHU.J.21 |
| B | ۶۱/۸۹۷ | ۱۹ | C, D, E | SHU.J.07 |
| B | ۵۸/۹۰۳ | ۱۹ | C, D, E, F | SHU.J.24 |
| B | ۵۷/۹۳۷ | ۱۹ | C, D, E, F | SHU.J.06 |
| B | ۵۶/۶۶۷ | ۱۷ | C, D, E, F | SHU.J.34 |
| B | ۵۳/۹۱۰ | ۱۷ | D, E, F | SHU.J.13 |
| B | ۵۳/۳۳۳ | ۱۶ | E, F | SHU.J.27 |
| B | ۴۹/۹۲۳ | ۱۶ | F, G | SHU.J.05 |
| B | ۴۲/۹۸۳ | ۱۳ | H, G | SHU.J.17 |
| B | ۳۶/۶۶۷ | ۱۱ | H, I | SHU.J.20 |
| B | ۳۵/۹۷۳ | ۱۱ | H, I, J | SHU.J.08 |
| B | ۳۵/۹۷۳ | ۱۱ | H, I, J | SHU.J.26 |
| B | ۳۴/۹۵۷ | ۱۱ | H, I, J | SHU.J.14 |
| C (Low) | ۳۳/۹۶۳ | ۱۱ | H, I, J | SHU.J.15 |
| C | ۳۱/۹۶۳ | ۱۱ | I, J | SHU.J.25 |
| C | ۳۰/۹۶۷ | ۱۰ | I, J | SHU.J.31 |
| C | ۲۷/۹۷۰ | ۹ | I, J | SHU.J.30 |
| C | ۲۶/۶۶۷ | ۸ | J | SHU.J.09 |

حروف غیر مشابه بیانگر اختلاف معنی‌دار در سطح ۱٪ می‌باشند.

فصل چهارم- نتایج

قرار گرفتند. این طرح در ۳ تکرار صورت پذیرفت. نتایج زیست‌سنجدی نشان می‌دهد که جدایه‌های مختلف *Metarhizium spp.* بر روی سوسک قرمز آرد بیماری‌زا بودند و سبب مرگ و میر در آفت مذکور شدند اما توان بیماری‌زایی جدایه‌های مختلف با یکدیگر متفاوت بود. بر اساس نتایج مقایسه میانگین (جدول ۴) جدایه‌های ۲۲ SHU.J.22 (سرولات)، SHU.J.35 (جنگل ابر)، SHU.J.29 (شهنما)، SHU.J.02 (رویان)، SHU.J.33 (شهنما)، SHU.J.10 (شهرک ابوذر) و ۱۲ SHU.J.12 (شهنما) در سطح میانگین بیماری‌زایی A قرار گرفته‌اند و اختلاف معنی‌داری در بیماری‌زایی میان آنها وجود ندارد. در سطح J جدایه‌های SHU.J.30، SHU.J.31، SHU.J.25، SHU.J.15، SHU.J.14، SHU.J.26، SHU.J.08 (رویان) جای گرفته‌اند و کمترین میزان بیماری‌زایی را به خود اختصاص داده‌اند. مطالعه ما گویای حساسیت بالای سوسک قرمز آرد به قارچ مذکور می‌باشد. با این حال آزمایشات بیشتری نظیر LC_{50} ، LT_{50} ، جهت غربال‌گری جدایه‌هایی با توان بیماری‌زایی بیشتر برای کنترل آفات انباری لازم می‌باشد.

۹-۴. همبستگی میان پارامترهای مورفولوژیکی نرخ رشد، شمارش تعداد کنیدی و بیماری‌زایی

محاسبه ضریب همبستگی پیرسون برای جدایه‌های *Metrhizium spp.* نشان می‌دهد (جدول ۷-۴) میان این پارامترها همبستگی معنا داری در سطح ۱٪ وجود دارد. میان پارامترهای نرخ رشد و تعداد کنیدی همبستگی وجود دارد بدان معنا که هر چه نرخ رشد یک جدایه بیشتر باشد تعداد کنیدی تولیدی بیشتر خواهد بود. بررسی همبستگی میان دو پارامتر نرخ رشد و بیماری‌زایی نشان می‌دهد هرچه نرخ رشد

۱- Letal Time

مدت زمان لازم برای مرگ ۵۰ درصد یک جمعیت

۲- Letal Concentration

میزان غلظت مورد استفاده برای مرگ و میر ۵۰ درصدی یک جمعیت

جدایه‌ای بیشتر باشد، قدرت بیماری‌زایی آن جدایه بیشتر و در آلوده‌سازی میزبان موفق‌تر عمل می‌نماید. میان تعداد کنیدی و بیماری‌زایی همبستگی وجود دارد و هر چه تعداد کنیدی تولیدی جدایه‌ای بیشتر باشد بیماری‌زایی آن جدایه بیشتر است.

جدول ۴-۶: همبستگی میان سه پارامتر نرخ رشد، تعداد کنیدی و بیماری‌زایی جدایه‌های *Metarhizium spp.*

| | نرخ رشد | تعداد کنیدی | بیماری‌زایی |
|-------------|------------|-------------|-------------|
| نرخ رشد | ۱/۰۰۰۰ | ۰/۵۹۹۷۱ ** | ۰/۵۱۶۶۹ ** |
| تعداد کنیدی | ۰/۵۹۹۷۱ ** | ۱/۰۰۰۰ | ۰/۹۱۴۲۰ ** |
| بیماری‌زایی | ۰/۵۱۶۶۹ ** | ۰/۹۱۴۲۰ ** | ۱/۰۰۰۰ |

** در سطح ۱٪ معنی‌داری وجود دارد

فصل پنجم

بحث و پیشہادات

آنالیز فیلوژنی با استفاده از توالی‌یابی DNA برای جنس *Metarhizium* صورت پذیرفته است و واریته‌های *M. anisopliae* به طور تاکسونومیکی مجدداً مشخص شده‌اند. در ایور در سال ۲۰۰۰ با آنالیز توالی‌های ITS هسته‌ای بیان نمود که تعدادی زیر گونه مشخص از نظر تکاملی در *M. anisopliae* وجود دارد و در بین آنها بیشترین زیر گونه با پراکنش جهانی را *M. anisopliae* var. *anisopliae* دانست. در مطالعه نیشی [۱۲۰] با استفاده از ژن *EF1- α* ۳ جدایه *M. anisopliae* var. *majus* گروهی مونوفیلتیک را به وجود آوردند. بیشوف [۲۰] با انجام آنالیز فیلوژنی چند مکانی کمپلکس *M. anisopliae*, دو گروه بزرگ مونوفیلتیک را با نام‌های MGT و PARB درون این کمپلکس را شناسایی نمود و تمام جدایه‌ها با کنیدی‌های نسبتاً بزرگ در کلاستر MGT قرار گرفتند. در این کلاستر دو گونه *M. guizhouense* و *M. majus* بر پایه توالی *EF1- α* معرفی شد.

با استفاده از توالی ITS نشان داده شده که *M. anisopliae* var. *majus* فرم غیر جنسی *C. brittebankisoides* می‌باشد. گرچه نواحی ژن‌های ریبوزومی به شدت حفاظت شده هستند اما مناطق ITS میان آنها ممکن است در توالی و طول متغیر باشند و اغلب برای تاکسونومی گونه‌ها و جنس‌های قارچی استفاده می‌شوند. مطالعه ۳۳ جدایه قارچ *M. flavigiride* var. *frigidum* داد *Metarhizium* نشان داد *M. anisopliae* var. *frigidum* به کلاستر *M. anisopliae* شباهت بیشتری دارد [۱۲۱]. بر پایه ITS1-5.8 S-ITS2 (شوahed فیلوژنتیکی) و گاها مشاهدات مورفولوژیکی مشخص شده کمپلکس *M. anisopliae* تکنیایی است [۷۸]. فیلوژنی چند ژنی نشان داده *M. anisopliae* کمپلکسی از گونه‌های دارای تاکسون‌ها یا شاخه‌های پنهان می‌باشد. قرارگیری قارچ‌های بیمارگر حشرات در شاخه‌ها یا گونه‌های فیلوژنتیکی مجزا بر اساس نشانگرهای ملکولی، اطلاعات بیشتری راجع به اکولوژی آنها در اکوسیستم‌های طبیعی و مدیریت شده را به نسبت ویژگی‌های مورفولوژیکی فراهم می‌نماید [۵۴].

در این پایان‌نامه با جداسازی قارچ *Metarhizium* از خاک، استخراج DNA هسته‌ای و تکثیر ناحیه ITS و

توالی یابی این ناحیه به ترسیم درختچه فیلوزنی و شناسایی جدایه‌های اقلیم‌های استان‌های سمنان، گیلان، مازندران، گلستان و البرز اقدام نمودیم و در ادامه به بررسی گونه‌ها و تحلیل آزمایشات مورفولوژیکی پرداخته شده است.

۵-۱. تجزیه و تحلیل درختچه فیلوزنی

نشانگر ITS، تنوع ژنتیکی بالایی را در جدایه‌های شاهروド و دیگر مناطق نمونه‌گیری شده نشان داد. گویای این امر قرارگیری جدایه‌ها در ۸ کلاستر درختچه فیلوزنی رسم شده است (شکل ۴-۲). کوران [۵۵] از ناحیه ITS و ژن ۵/۸S برای درک روابط تکاملی درون جنس *Metarhizium* استفاده نمود و آنالیز پارسیمونی^۱ و تست احتمال دنباله^۲ نشان داد که این جنس تکنیایی است. مطالعات افرادی همچون درایور [۴۵]، سانگ [۱۴] و اسپاتافورا [۱۲۲] اثبات نموده که تمام جدایه‌های *Metarhizium anisopliae* var. *anisopliae* جنسی تکنیایی است. پانتو [۷۵] با بررسی آنالیز *M. anisopliae* spp. ITS ۵۱ جدایه *Metarhizium* و گونه خواهری آن *M. robertsii* تکنیایی نیستند، به نظر می‌رسد جدایه‌های شاهروド پلی‌فیلیتیک^۳ باشند و منطقه ITS توانسته است گونه‌ای جدید با چندین زیر گونه را در کنار گونه‌های شناخته شده جهانی شناسایی نماید و ۵ گونه *M. flavoviride* *M. robertsii* *M. guizhouense* *M. velutinum* *M. anisopliae* دارد. *M. velutinum* از اقلیم جنگلی گیلان (سرولات)، *M. robertsii* و *M. flavoviride* از مناطق زراعی شاهرود، *M. guizhouense* و *M. anisopliae* از اطراف از مزارع و باغات و مناطق جنگلی جدا شده‌اند که این حاکی از پراکنش جغرافیایی قارچ بیمارگر حشرات *Metarhizium* و سهولت استقرار آن در اقلیم‌های مختلف است.

۱- Parsimony Analysis

۲- Tail Probability (T-PTP) Test

۳- Polyphyletic

در کلاسترهاي ۱، ۳، ۴، ۵ و ۸ جدایههای اقلیم استان سمنان و دیگر استانهای نمونه‌گیری شده قرار گرفته که همتایی از ۱۲ گونه گزارش شده برای *Metarhizium* ندارند. در خصوص اقلیم شهرود و شهرستانهای اطراف لازم به توضیح است که اگر میزان نمونه‌برداری (از نظر فاصله و دفعات) افزایش یابد می‌توان این احتمال را داد که تعداد گونه‌های جدید حاوی زیر گونه‌های متنوع بیش از این خواهد بود. همچنین ضرورت دارد تا این یافته‌ها با نشانگرهای ملکولی دیگر و همچنین مطالعات سلولی و میکروسکوپی آتی مورد تائید و بررسی قرار گیرد. در یک درختچه ترسیم شده، جدایه‌ها، گروههای تاکسونی فعال هستند و از نظر تکاملی جدایههای اقلیم شهرود گونه‌های جدیدتری نسبت به ۱۲ گونه شناسایی شده هستند و احتمال گونه‌زایی^۱ در مورد جدایههای اقلیم شهرود وجود دارد. قرارگیری جدایههای اقلیم شهرود و شهرستانهای اطراف در ۵ کلاستر نشان از تنوع فیلوجنی بالای این جدایه‌ها است. احتمال داده می‌شود که این جدایه‌ها دارای ۵ زیر گونه است که شناسایی دقیق آنها نیازمند بررسی‌های بیشتر با استفاده از دیگر توالی‌های ژنی است.

بسیاری از محققان *M. anisopliae* را فراوان ترین گونه شناسایی شده *Metarhizium* بر می‌شمرند [۲۰، ۱۲۳] با این وجود در مناطق مورد مطالعه در این پایان‌نامه صرفاً ۰/۰۳۳٪ از جدایه‌ها (یعنی تنها جدایه SHU.J.12) متعلق به این گونه است.

تجزیه خوشای جدایه‌ها بر پایه محل جمع‌آوری نشان می‌دهد در کلاستر ۱، جدایه‌هایی از جنگل ابر، شهنما و رویان و شهرک ابودر (شهرود) و رامسر، در کلاستر ۳ جدایه‌هایی از بسطام و رویان، در کلاستر ۴ جدایه‌هایی از شهنما و رویان قرار دارند. نمایندگانی از جدایه‌های شهنما، بسطام و رویان در کلاستر ۵ قرار گرفته‌اند. در کلاستر ۶ جدایه‌هایی از شهنما، سرولات (گیلان) در کنار گونه‌های شناخته شده به چشم می‌خورند و بر پایه *M. robertsii* قرابت میان گونه‌های خواهری، ۳ جدایه SHU.J.29 (جدایه کاملا مشابه با بوت استرپ ۱۰۰ با

فصل پنجم- بحث و پژوهش‌دادت

برزیل)، SHU.J.26 (قرابت ۹۹ درصدی با گونه *M. flavoviride* فرانسه) و SHU.J.22 (جدایه کاملا مشابه با *M. velutinum* لهستان) شناسایی شدند. در کلاستر ۷ جدایه‌هایی از استان سمنان (شهرک دانشگاه و کلاته اسد) و استان البرز در کنار گونه‌های *M. anisopliae*, *M. majus* ژاپن و *M. guizhouense* چین قرار گرفته‌اند و بر همین اساس دو جدایه SHU.J.12 و SHU.J.25 شناسایی شدند. در کلاستر ۸ هم جدایه‌هایی از استان‌های گلستان (نهارخوران) و سمنان (شهرما) قرار دارند و فاقد هر گونه قربتی با ۱۲ گونه شناخته شده *Metarhizium* در جهان هستند. با توجه به درختچه فیلوژنی می‌توان گفت در این تحقیق، نماینده‌ای برای گونه‌های *M. album* *M. lepidiotae* *M. majus* *M. brunneum* به خصوص *Metarhizium* از *M. lepiditum* *M. robertsii* *M. brunneum* *M. anisopliae* *M. album* به معرفه مولوژی و فیلوژنی بسیار شبیه یکدیگر هستند و شناسایی آنها تنها بر مبنای مقایسه توالی‌های ITS به منظر آمد. دست آمده با توالی‌های موجود در پایگاه اطلاعاتی GenBank امکان‌پذیر نیست و باید سایر نواحی ژئوگرافیکی و تفکیک این گونه‌ها استفاده شوند.

نشانگر ITS توانست به خوبی به تفکیک قارچ‌های دیگر بپردازد زیرا در حین جداسازی قارچ *Metarhizium* تعداد ۵ قارچ از لاروهای آلوده به دست آمد که بر پایه شکل کنیدی، نحوه رشد بر روی محیط کشت و سایر ویژگی‌های مورفو‌لولوژیکی تصور بر این بود که متعلق به جنس *Metarhizium* هستند، استخراج DNA و تکثیر ناحیه ITS و توالی‌یابی آنها نشان داد گرچه این جدایه‌ها در ظاهر مشابه *Metarhizium* بودند اما در واقع قارچ‌های دیگری نظیر *Nectria* هستند که جداسازی شده بودند.

ضمیمه ۳ نتایج همولوژی میان ۱۲ گونه شناخته شده *Metarhizium* و ۳۰ جدایه مورد مطالعه را نشان می‌دهد که کمترین شباهت منطقه ITS در میان گونه‌های جهانی و جدایه‌های ما مربوط به جدایه SHU.J.13 است. برای بسیاری از جدایه‌ها (یعنی جدایه‌های SHU.J.05، SHU.J.04، SHU.J.17، SHU.J.08، SHU.J.04، SHU.J.24، SHU.J.10، SHU.J.25، SHU.J.21، SHU.J.10) این درصد همولوژی کمتر از ۵۰ درصد توسط نرم‌افزار محاسبه شده است.

از میان ۳۰ جدایه توالی‌بایی شده، ۱۴ جدایه به باغات مختلف، ۱۲ جدایه به مزارع و ۴ جدایه به مناطق جنگلی تعلق دارند و این نشان می‌دهد طبق گفته سانچزپنا حضور و پراکنش این قارچ در باغات بیشتر از مناطق جنگلی است. قرار گرفتن جدایه‌های ایران در ۵ کلاستر مختلف این درختچه نمایانگر وجود گونه‌های پنهان^۱ می‌باشد [۱۲۶-۱۲۷]. مطالعه بالاکاندر [۱۲۷] نشان داد جدایه‌های *M. anisopliae* var. *acridum* بررسی شده به شاخه‌های مختلفی تعلق دارند و هیچ‌کدام از آنها به توالی‌های گزارش شده توسط درایور [۴۵] و بیشوف [۱۲۱] شباhtی ندارند. مطالعه تانگ‌تیراسون و همکاران [۷۷] نشانگر تغییر پذیری بالای ناحیه ITS درون *M. anisopliae* می‌باشد و این گونه از واگرایی بالایی برخوردار می‌باشد و جدایه‌های تایلند در شاخه‌های جداگانه‌ای در مقایسه با جدایه‌های دیگر کشورها قرار می‌گیرند (شاخه‌های B, C و F) در حالی که مجزا بودن گونه‌های یک کشور از دیگر کشورها برای جدایه‌های مورد مطالعه ما چندان مصدقی ندارد زیرا ۵ جدایه در کنار گونه‌های شناخته شده دیگر کشورها قرار دارند.

در کلاستر ۳، جدایه SHU.J.11 از بالاترین میزان نرخ رشد (۲۴/۷۹۳ میلی‌متر/ روز)، در کلاستر ۱، جدایه SHU.J.35 از بالاترین تعداد کنیدی تولیدی ($10^9 \times 76/667$) و بیشترین بیماری‌زایی (۸۶٪) برخوردار هستند.

تنوع ژنتیکی ناحیه ITS و پراکنش جغرافیایی جدایه‌های *Metarhizium* با استفاده از تست منتل، همبستگی را میان این دو پارامتر نشان نداد. گرچه بررسی ارتباط بین پراکنش جغرافیایی جدایه‌های مختلف *Beauveria* با تنوع موجود در منطقه ITS توسط جیکاس و همکاران [۱۲۸] انجام شده و هیچ همبستگی بین محل جداسازی با تنوع موجود در منطقه ITS مشاهده ننمودند اما لازم به ذکر است این آزمون تاکنون برای قارچ بیمارگر حشرات *Metarhizium* صورت نپذیرفته است.

فصل پنجم- بحث و پژوهش‌دادت

مطالعات بی‌شماری اشاره نموده‌اند ناحیه ITS1، ITS2 و ITS5 برای شناسایی ملکولی قارچ‌ها به کار برده می‌شود [۷۸] و در این تحقیق مشخص شد منطقه ITS دارای تنوع است زیرا جدایه‌های مورد مطالعه درون تاکسون‌های مختلفی پراکنده شده‌اند. انتظار داشتیم جدایه‌هایی که از یک منطقه جدا شده‌اند در یک گروه خواهری قرار داشته باشند اما نتایج این انتظار را جواب‌گو نبود. با توجه به تکامل نسبتاً آهسته توالی‌های هسته‌ای نظیر ITS این توالی‌ها می‌توانند مرجع مهمی برای شناسایی قارچ‌ها باشند.

۲-۵. جمع‌بندی نتایج آزمایشات مورفولوژیک

برای جداسازی قارچ‌های بیمارگر حشرات می‌توان از سه روش طعمه حشره‌ای، روش عصاره‌گیری از خاک و استفاده از ریشه گیاهان گرامینه (اندوفیت^۱) استفاده نمود. از آنجا که خاک محل زندگی بسیاری از میکرووارگانیسم‌ها می‌باشد استفاده از روش عصاره‌گیری، انواع مختلفی از میکرووارگانیسم‌ها نظیر باکتری‌های خاکزاد، نماتدها، قارچ‌های بیمارگر و ساپروفیت بر روی محیط کشت تشکیل کلنی می‌دهند که کار شناسایی مورفولوژیکی و جداسازی را سخت می‌نمایند. قارچ‌های بیمارگر حشرات می‌توانند درون ریشه گیاهان گرامینه به صورت اندوفیت زندگی کنند [۸] اما جداسازی آن‌ها مشکلات زیادی را در پی دارد لذا معمولاً از روش طعمه حشره‌ای استفاده می‌شود هر چند که این روش مستلزم پرورش حشره‌ای چون پروانه مومخوار است [۸].

در این پایان‌نامه با استفاده از روش طعمه حشره‌ای گالریا از میان ۲۴۰ نمونه خاک مناطق گوناگون، تعداد ۳۰ جدایه قارچ *Metarhizium* در محیط کشت انتخابی حاوی دودین، سیکلوهگزامید، کریستال و بولت و کلرید مس در کنار دیگر قارچ‌هایی مانند *Trichoderma* و *Phytophthora* *Nectria* *Beauveria* جداسازی گردید یعنی نرخ جداسازی قارچ *Metarhizium* در اقلیم‌های مورد مطالعه ۱۲/۵٪ بوده است که میزان بسیار کمی است و ضرورت تلقیح خاک‌ها و اراضی زراعی و باغی را می‌طلبد. سویم [۱۲۹]، سانچز-پنا [۱۳۰] نیز میزان جداسازی *Metarhizium* را در خاک‌های زیست‌بوم‌های مختلف اندک دانسته‌اند. مسعودی (۲۰۱۳) [۱۳۱] نرخ جداسازی

۱- Endophyte

را در باغات مرکبات بررسی نموده و با توجه به نتایج ایشان می‌توان گفت در شرایط نسبتاً مشابه از نظر دما و رطوبت، قارچ *Beauveria* فراوان‌ترین جنس در میان قارچ‌های بیمارگر حشرات است و از نرخ جداسازی بیشتری نسبت به *Metarhizium* برخوردار می‌باشد که این نتیجه با نتایج حاصل از مطالعات تونینگا و همکاران [۱۳۲]، براونبریج و همکاران [۷]، میلینگ و الینبرگ [۱۳۳] و نتایج حاصل از این تحقیق هم‌خوانی دارد. بر اساس جدول تعداد لاروهای آلوده و درصد جداسازی قارچ (جدول ۱ ضمیمه) می‌توان گفت فراوانی قارچ بیمارگر حشرات *Metarhizium* در خاک‌های زراعی بیشتر از مناطق جنگلی است به طوری که سوروکین این قارچ را به عنوان گونه‌ای کشاورزی برشمرد. در صحت این مطلب همین بس که از میان نمونه‌های خاکی مناطق جنگلی تنها ۴ جدایه (درصد جداسازی قارچ از مناطق جنگلی ۱۳/۳۳٪) به دست آمد و نتیجه این پایان‌نامه در خصوص فراوانی و پراکندگی قارچ *Metarhizium* با نتایج مطالعات سانچزپنا [۱۳۰] مطابقت دارد در حالی که سویم [۱۲۹] بیان نمود که پراکنش *Metarhizium* در خاک‌های زراعی اندک و در جنگل‌های فندق زیاد است. از سوی دیگر بر حسب درصد جداسازی قارچ (جدول ۱ ضمیمه) و مشخصات جدایه‌های به دست آمده (جدول ۲ ضمیمه) می‌توان گفت ممکن است عامل فراوانی این قارچ، رطوبت باشد. می‌دانیم رطوبت عامل مهمی در فراوانی و کارایی قارچ‌های بیمارگر حشرات است [۲۴]. در توضیح این مطلب باید بگوییم که از میان ۳۰ جدایه به دست آمده، ۱۵ جدایه به منطقه شهرنما تعلق داشتند و این منطقه به علت سبزی‌کاری از رطوبت بیشتری نسبت به سایر مناطق نمونه‌گیری برخوردار است و لذا توانستیم تعداد جدایه بیشتری را از آن جدا نماییم در حالی که از منطقه ۲ (کلاته اسد- ابراهیم آباد- میامی- جو دانه) و منطقه ۳ (ده ملا- کلاته ملا- مراد آباد- حداده- مومن آباد) به علت رطوبت پایین خاک تنها ۱ جدایه به دست آمد.

برای قارچ‌های بیمارگر حشرات فاکتورهای بیماری‌زایی، تولید اسپور و رشد تحت تاثیر فاکتور مهم دما هستند و رشد و بیماری‌زایی وابسته به دما برای بسیاری از این قارچ‌ها مانند *M. anisopliae* و *B. bassiana* اثبات شده

است [۱۳۴] و مطالعات صورت گرفته با طیف دمایی متفاوت (از ۱۵-۳۰ درجه سانتی گراد) در ارزیابی تولید اسپور و نرخ رشد، حاکی از مناسب بودن طیف دمایی ۲۷-۲۵ درجه سانتی گراد می باشد [۱۳۵]. ارزیابی نرخ رشد و تعداد کنیدی ما نیز در دمای 1 ± 27 درجه سانتی گراد صورت پذیرفت و به خوبی توانست تفاوت میان جدایه ها را از منظر نرخ رشد و تعداد کنیدی تولیدی نشان دهد.

اندازه گیری نرخ رشد جدایه های مناطق مورد مطالعه در دمای 1 ± 27 درجه سانتی گراد نشان داد سرعت رشد جدایه ها با یکدیگر متفاوت است و این نرخ رشد در طیفی معادل $1 - ۲۴/۱ - ۹/۲$ میلی متر / روز قرار دارد. نتایج به دست آمده از این آزمایش با نتایج حاصل از آزمایشات اکسی و همکاران [۱۳۵]، داربرو و همکاران [۱۱۵]، صفوی و همکاران [۱۳۶] و پتلامول و همکاران [۱۱۷] یکسان است و می توان گفت نرخ رشد جدایه های مختلف *Metarhizium* در طیف دمایی ۲۵-۲۹ درجه سانتی گراد با یکدیگر متفاوت است. وارلا [۱۳۷] نرخ رشد سریع را مزیتی برای عامل کنترل بیولوژیک دانست و علت آن را کاهش زمان لازم برای تولید انبوه کنیدی، استراتژی رقابتی قارچ در طی چرخه زندگی ساپروفیتی در برابر میکرووار گانیسم های دیگر و تسريع کنترل آفت به علت آلودگی سریع میزان برشمرد. آزمایشات بی شماری تأیید نموده اند که بهترین محیط کشت برای پرورش قارچ ها و به خصوص قارچ های بیمارگر حشرات PDA می باشد [۱۱۷, ۱۳۸, ۱۳۹] و رشد شعاعی قارچ های مختلف بر روی این محیط با هم تفاوت دارد لذا ما برای سنجش از این محیط کشت بهره بردیم.

نتایج مقایسه میانگین تعداد کنیدی تولیدی نشان دهنده تفاوت معنی دار میان جدایه های مورد مطالعه در تعداد کنیدی تولیدی است که با آزمایشات پتلامول و همکاران [۱۱۷]، صفوی و همکاران [۱۳۶] همسویی دارد. پتلامول و همکاران با بررسی میزان اسپور تولیدی توسط ۱۰ جدایه قارچ بیمارگر حشرات، جدایه ای با بیشترین میزان اسپور را در سطح High قرار دادند [۱۱۷] و لذا بر پایه نحوه تقسیم بندی آنها، جدایه SHU.J.01 با میانگین تولید کنیدی $10^6 \times ۸۰/۲۵$ در سطح High قرار می گیرد.

بیپ (۱۹۹۲) [۱۲۳] با بررسی میزان مرگ و میر جدایه های *M. anisopliae* بر روی حشره *Adoryphorus*

couloni به تقسیم‌بندی جدایه‌ها بر پایه میزان مرگ و میر پرداخت و سه سطح را معرفی نمود که شامل سطح A با توان بیماری‌زایی ۱۰۰٪، سطح B با توان مرگ و میر ۳۴-۶۷٪ و سطح C با توان بیماری‌زایی ۳۳٪-۰٪ بود. لذا بر حسب همین سطوح تعریف شده به سطح‌بندی جدایه‌ها از منظر توان بیماری‌زایی پرداختیم (جدول ۴-۶). بر اساس این تقسیم‌بندی، ۱۰ جدایه در سطح A قرار گرفتند یعنی ۳۳/۳٪ جدایه‌ها از توان بیماری‌زایی بالایی برخوردار هستند. ۵۰٪ جدایه‌ها در سطح B (متوسط) و ۱۶/۷٪ جدایه‌ها در سطح C (کم) قرار دارند. مطالعه زیست‌سنگی برای تعیین بیماری‌زایی قارچ‌های بیمارگر حشرات و غربال‌گری جدایه‌های بیماری‌زا به عنوان عوامل کنترل بیولوژیک ضروری است. بیماری‌زایی عامل مهمی برای انتخاب سویه‌های قارچی کاندیدا برای کنترل حشرات است [۱۴۰]. آزمایش زیست‌سنگی جدایه‌های مورد مطالعه با غلظتی معادل 1×10^8 در *T. castaneum* نشان دادند و نتایج باتا و ابوصفيح [۱۱۸]، خشاوه [۱۴۱]، میکالاکی [۱۴۲] و نونگ [۱۴۳] این یافته را تائید نموده است اما همان‌طور که در فصل اول گفتیم با استفاده از ویژگی‌های مورفو‌لولوژیکی مانند اندازه، شکل و رنگ کنیدی، سلسله مراتب تاکسونومیکی پایین‌تر تعیین نخواهد گردید.

ارتباط میان جوانه‌زنی، نرخ رشد، تولید کنیدی، تولید آنزیم‌های برونشیولی^۱ با بیماری‌زایی ۲۴ جدایه *M. anisopliae* بر روی *Nilaparvata lugens* مشخص گردید [۱۴۴]. با استفاده از جدایه‌های *Metarhizium lugens* بر روی *anisopliae* مشخص گردید که جدایه‌هایی با سرعت جوانه‌زنی زیاد، دارای نرخ رشد سریعی هستند و همبستگی کمی میان جوانه‌زنی ۰.۵٪ از اسپورها و درصد مرگ و میر مشاهده گردید بدین معنی که هرچه جدایه‌ای سریعتر جوانه‌زنی نماید توانایی آن در آلودگی و مرگ و میر آفت بیشتر است [۱۴۵]. ال-آیدروس و روبرتس [۱۴۶]، حسان [۱۴۷] همبستگی میان بیماری‌زایی و نرخ رشد را بیان نموده‌اند. نتایج بررسی همبستگی پیرسون جدایه‌های

فصل پنجم- بحث و پیشنهاد از

Shahrood و شهرستان‌های اطراف نشان داد میان ۳ پارامتر همبستگی معناداری (در سطح ۱٪) وجود دارد یعنی جدایهای که دارای نرخ رشد سریعتری است تعداد کنیدی تولیدی بیشتری دارد و از قدرت بیماری‌زایی بیشتری در آلوده‌سازی میزبان برخوردار است.

۳-۵. پیشنهادات

در قارچ‌ها گرچه با استفاده از توالی‌های ITS و ۱۸S قادر خواهند بود به شناسایی گونه، تجزیه و تحلیل فیلوژنتیکی بپردازند و از فراوانی زیادی در پایگاه‌های اطلاعاتی برخوردار هستند اما مقایسه جدایهای قارچی تنها با یک ژن نمی‌تواند تاریخچه تکاملی ژنوم یک موجود را به وضوح بیان نماید و حتی ممکن است موجب نتیجه‌گیری‌های غلط درباره روابط تکاملی یک قارچ با دیگر اعضای گونه‌های مشابه یا حتی جنس‌های قارچی گردد [۷۵] و لذا طبق بسیاری از مقالات می‌توان در کنار ITS از ژن‌های دیگری چون α - β , *RPB1*, *EF-1α*, *TEF* و *RPB2*^۱ استفاده نمود تا شناسایی دقیق‌تری صورت پذیرد [۷۸]. در سال‌های اخیر استفاده از آنالیز چند ژنی برای مطالعات فیلوژنتیک مرسوم‌تر شده و مطالعاتی بر پایه ژن‌های کد کننده پروتئین در قارچ‌ها نشان داد که آنالیز چند مکانی تفکیک بهتری را فراهم می‌نماید و بنابراین فرضیه‌های فیلوژنتیک معتبری در فیلوژنی قارچ‌ها فراهم می‌گردد [۱۰۱].

یکی از این ژن‌ها در کمک به شناسایی گونه‌های قارچی ژن β -توبولین است که برای بررسی روابط درون قارچ در تمام سطوح - از مطالعات گروههایی با گونه‌های مبهم تا بررسی‌های فیلوژنی جغرافیایی - به کار می‌رود. زیرا این ژن یک ژن کد کننده پروتئین است و مزایای استفاده از آن نسبت به توالی‌های ژن RNA ریبوزومی بیشتر است: هم‌ردیف سازی توالی‌های آن کمتر مشکل‌ساز است و سومین نوکلئوتید می‌تواند تخمین نسبتاً مناسبی از

۱- RNA PolymeraseII Second Largest Subunit

نرخ جابجایی خنثی^۱ را فراهم آورد. ژن‌های RNA ریبوزومی مکررا جهت ساخت روابط ترتیبی میان قارچ‌ها استفاده می‌شود [۳۶] و استراتژی مهم که می‌تواند اطلاعات ارزشمندی در سطوح بالای روابط تاکسونومیکی فراهم آورد، ناهمگنی^۲ درون اینترنون‌های ژن کد کننده β -توبولین است [۱۴۸].

برخلاف بسیاری از قارچ‌های میتوسپوری^۳ که سطوح بالایی از چندشکلی را در کمپلکس rRNA هسته‌ای خود نشان می‌دهند و مطالعه سویه‌های *M. anisopliae* var. *anisopliae* جدا شده از میزبان‌ها و مناطق جغرافیایی مختلف [۳۳] با استفاده از ناحیه IGS میتوکندریایی اثبات نموده که توالی‌های ITS1، ITS2، ۱۸S و ۲۸S هسته‌ای حفاظت شده هستند و اطلاعات کافی برای تفکیک قابل تشخیص سویه‌های یک گونه را به دست نمی‌دهند و نواحی IGS میتوکندری در تفکیک سویه‌ها موفق عمل نموده و لذا پیشنهاد می‌شود در آنالیز فیلوجنتیکی قارچ *Metarhizium* IGS از نواحی میتوکندری برای تفکیک درون و بین گونه‌ای قارچ استفاده شود.

روشی است که در آن قطعات تکثیر شده با استفاده از پرایمرهای ITS به کمک چندین آنزیم برشی در دسترس بریده شده و الگوهای باندی حاصل از هضم این قطعات با الگوهای باندی موجود در پایگاه‌های اطلاعاتی جهت شناسایی گونه‌ها مقایسه می‌شود [۶۱] و استفاده از این روش موجب می‌شود نیازی به توالی‌یابی پر هزینه قطعات تکثیر شده ITS نباشد ولی این امر در صورتی تحقق خواهد یافت که پایگاه اطلاعاتی برای این الگوهای باندی فراهم گردد. این روش اکنون برای بررسی تنوع ژنتیکی و جغرافیایی قارچ‌های بیمارگر حشرات استفاده می‌شود [۱۴۹].

طبق نتایج به دست آمده (جدول ۱ ضمیمه) پیشنهاد می‌شود در صورت استفاده از روش طعمه حشره‌ای، تعداد

۱- Neutral Situation

۲- Heterogenicity

۳- Mitosporic Fungi

قارچ‌های آسکومیستی که تولید اسپورهای غیر جنسی (اسپورهای میتوتیک) می‌نمایند و در آنها فاز جنسی وجود ندارد که از جمله آنها می‌توان به قارچ‌های ناقص (دئوترمیستهای) اشاره نمود.

نمونه‌های خاکی زیاد باشد چرا که پرآکنش این فارچ در مقایسه با قارچ *Beauveria* در تمامی نقاط جهان کمتر است و گستره مناطق نمونه‌گیری به مناطقی با رطوبت بالا محدود شود زیرا در میان ۷ منطقه نمونه‌گیری شاهروд، بیشترین تعداد جدایه (یعنی ۵۰٪ جدایه‌ها) از منطقه یک (شهرنمای) جداسازی گردید که به علت سبزی کاری در این منطقه، ریزوسفر نسبت به سایر مناطق رطوبت بالاتری را در اختیار دارد.

همچنین می‌توان ۵ جدایه ایرانی مشابه با گونه‌های شناخته شده با همتایان بین‌المللی خود و گونه‌های شناخته شده جهانی را در خصوص توان بیماری‌زاوی بر روی حشرات مختلف با یکدیگر مقایسه نمود و بر اساس نتایج این آزمون، بهترین جدایه‌ها را در بیماری‌زاوی حشرات مختلف آفت معرفی و با فرموله نمودن از آنها در کنترل این آفات استفاده نمود.

ضاحٌ

جدول ۱ ضمیمه: تعداد لاروهای آلوده و نرخ جداسازی قارچ و جدایه‌های بهدست آمده از آنها

| ردیف | منطقه نمونه‌گیری | تعداد لارو | تعداد | نرخ جداسازی | تعداد جدایه |
|------|--|---------------|------------|-------------|-------------|
| | | موردن استفاده | لارو آلوده | قارچ (%) | بهدست آمده |
| ۱ | کلاته اسد-ابراهیم آباد-میامی-جو دانه | ۳۲۰ | ۸ | ۲/۵ | ۱ |
| ۲ | رویان-دیزج | ۳۲۰ | ۱۳ | ۴/۰۶ | ۳ |
| ۳ | ده ملا-کلاته ملا-مراد آباد-حداده-مومن آباد | ۳۲۰ | ۸ | ۲/۵ | ۱ |
| ۴ | جاده شاهرود/آزادشهر-جنگل ابر-جنگل قطری-روستای ابر-چهار طاق پرو-قلعه نو خرقان | ۳۲۰ | ۱۲ | ۳/۷۵ | ۱ |
| ۵ | بسطام-امیریه-مجن-تاش-فرحزاد | ۳۲۰ | ۱۲ | ۳/۷۵ | ۲ |
| ۶ | شهنما | ۲۰۰ | ۷۰ | ۳۵ | ۱۵ |
| ۷ | شهرک ابودذر-مغان-شهرک دانشگاه | ۱۳۰ | ۷ | ۵/۳۸ | ۳ |
| ۸ | تهران-البرز | ۱۰۰ | ۴ | ۴ | ۲ |
| ۹ | گلستان (نهارخوران، جنگل گلستان) | ۱۰۰ | ۲ | ۲ | ۲ |
| ۱۰ | گیلان (چابکسر، سرولات) | ۱۰۰ | ۲۰ | ۲۰ | ۲ |
| ۱۱ | مازندران (رامسر، بابل، بابلسر، آمل) | ۱۰۰ | ۵ | ۵ | ۱ |

جدول ۲ ضمیمه: مشخصات جدایه‌های *Metarhizium spp.* به دست آمده

| نام جدایه | استان | شهرستان | منطقه | محصول | حاشیه / مرکز | مختصات | ارتفاع از دریا | جدازی |
|------------------|-------|---------|------------|---------|-----------------|----------|-------------------|----------|
| SHU.J. 01 | سمنان | شهرود | کلاته اسد | زردآلو | مرکز | ۳۶۲۴۵۱.۶ | ۳۶۲۴۵۱.۶ | مرداد ۹۱ |
| SHU.J.02 | سمنان | شهرود | رویان | انگور | حاشیه | ۳۶۲۲۵۵۶ | ۵۵۳۳۹.۱ | مرداد ۹۱ |
| SHU.J. 04 | سمنان | شهرود | شهرک ابودر | زردآلو | مرکز | ۳۶۲۵۵۵.۱ | ۵۴۵۹۵۸.۸ | دی ۹۱ |
| SHU.J.05 | سمنان | شهرود | بسطام | زردآلو | مرکز | ۳۶۲۸۳۳.۶ | ۵۴۵۹۱۶.۷ | دی ۹۱ |
| SHU.J.06 | سمنان | شهرود | بسطام | زردآلو | حاشیه | ۳۶۲۸۳۳.۱ | ۵۴۵۹۵۱.۰ | دی ۹۱ |
| SHU.J.07 | سمنان | شهرود | رویان | انگور | مرکز | ۳۶۲۲۱۲.۴ | ۵۴۵۹۵۰.۴ | دی ۹۱ |
| SHU.J.08 | سمنان | شهرود | رویان | انگور | مرکز | ۳۶۲۲۵۵.۵ | ۵۵۰۰۰۱.۱ | دی ۹۱ |
| SHU.J.09 | سمنان | شهرود | رویان | جو | حاشیه | ۳۶۲۱۱۷.۶ | ۵۴۵۹۵۶.۹ | دی ۹۱ |
| SHU.J.10 | سمنان | شهرود | شهرنا | - سبزی | حاشیه | ۲۶۲۴۰۰.۰ | ۵۵۰۰۰۳۰.۲ | دی ۹۱ |
| SHU.J.11 | سمنان | شهرود | شهرنا | - سبزی | حاشیه | ۳۶۲۴۰۹.۲ | ۵۴۵۷۵۴.۵ | دی ۹۱ |
| SHU.J.12 | سمنان | شهرود | شهرنا | - گلابی | حاشیه | ۳۶۲۴۱۵.۷ | ۵۴۵۷۵۶.۹ | دی ۹۱ |
| SHU.J.13 | سمنان | شهرود | شهرنا | - سبزی | حاشیه | ۳۶۲۴۰۸.۵ | ۵۴۵۸۰۲.۶ | دی ۹۱ |
| SHU.J.14 | سمنان | شهرود | شهرنا | - گردو | حاشیه | ۳۶۲۴۱۷.۱ | ۵۴۵۷۵۶.۷ | دی ۹۱ |
| SHU.J.15 | سمنان | شهرود | شهرنا | آلو | حاشیه | ۳۶۲۴۱۴.۳ | ۵۴۵۸۰۷.۵ | دی ۹۱ |
| SHU.J.17 | سمنان | شهرود | شهرنا | زردآلو | مرکز | ۳۶۲۴۱۱.۲ | ۵۴۵۸۰۴.۵ | دی ۹۱ |
| | | | | | | | ۵۴۵۷۵۱.۵ | |

ضمایم

| SHU.J.19 | سمنان | شهرهود | شهرنما | - گوجه- | حاشیه | ۳۶۲۴۱۱.۵ | ۱۳۳۳ | ۹۱ دی |
|-----------|----------|--------|-----------|---------|-------|-----------|------|-------|
| SHU.J.20 | سمنان | شهرهود | شهرنما | - سبزی- | مرکز | ۳۶۲۴۰۲.۱ | ۱۳۲۶ | ۹۱ دی |
| SHU.J.21 | گیلان | چابکسر | سرولات | ۲ نمونه | --- | ۳۶۵۶۵۱.۹ | ۳۱۸ | ۹۱ دی |
| SHU.J.22 | گیلان | چابکسر | سرولات | ۵ نمونه | --- | ۳۶۵۶۵۱.۹ | ۳۸۱ | ۹۱ دی |
| SHU.J.23 | گلستان | گرگان | نهارخوران | ۷ نمونه | --- | ۳۶۴۳۱۷.۴ | ۱۲۹۷ | ۹۱ دی |
| SHU.J.24 | گلستان | گرگان | نهارخوران | ۴ نمونه | مرکز | ۳۶۴۳۱۷.۴ | ۱۲۹۷ | ۹۱ دی |
| SHU.J.25 | سمنان | شهرهود | شهرک | شهرک | مرکز | ۳۶۲۳۳۵.۱ | ۱۳۳۰ | ۹۱ دی |
| SHU.J.26 | سمنان | شهرهود | دانشگاه | دانشگاه | مرکز | ۳۶۲۴۰۱.۸ | ۱۳۲۳ | ۹۱ دی |
| SHU.J.27 | البرز | کرج | فردیس | آلو | مرکز | ۳۵۴۹۱۵.۶ | ۱۳۶۳ | ۹۱ دی |
| SHU.J.28 | سمنان | شهرهود | شهرنما | - سبزی- | حاشیه | ۳۶۲۴۲۰.۷ | ۱۳۴۱ | ۹۱ دی |
| SHU.J.29 | سمنان | شهرهود | شهرنما | - گوجه- | مرکز | ۳۶۲۴۱۱.۶ | ۱۳۳۲ | ۹۱ دی |
| SHU.J.30 | سمنان | شهرهود | شهرنما | - سبزی- | مرکز | ۳۶۲۴۲۰.۵ | ۱۳۴۱ | ۹۱ دی |
| SHU.J.31 | سمنان | شهرهود | شهرنما | کاری | حاشیه | ۳۶۲۴۱۱.۳ | ۱۳۳۱ | ۹۱ دی |
| SHU.J.033 | سمنان | شهرهود | شهرنما | گردو | مرکز | ۳۶۲۴۱۷.۹ | ۱۳۲۴ | ۹۱ دی |
| SHU.J.34 | مازندران | رامسر | رامسر | مرکبات | مرکز | ۳۶۴۹۱۸.۱ | -۲۰ | ۹۱ دی |
| SHU.J.35 | سمنان | شهرهود | جنگل ابر | ۶ نمونه | --- | ۳۶۳۸۵۱.۰ | ۲۱۸۹ | ۹۱ دی |
| | | | | | | ۰۵۵۱۱۲۳.۰ | | |

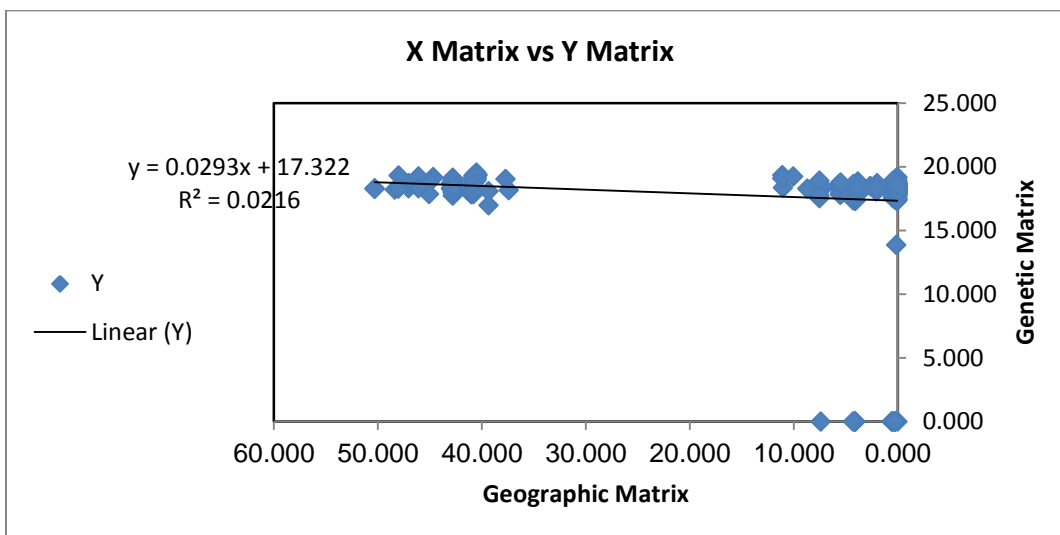
جدول ۳ ضمیمه: درصد همولوژی میان مناطق ۱۲ گونه‌ی متفاوت ITS و ۳۰ جدایه توالی‌یابی شده

| | ۱ | ۲ | ۳ | ۴ | ۵ | ۶ | ۷ | ۸ | ۹ | ۱۰ | ۱۱ | ۱۲ | ۱۳ | ۱۴ | ۱۵ |
|-----------------------|------|------|------|------|------|------|------|------|------|------|------|------|------|------|------|
| <i>M. velutinum</i> | ۹۵/۹ | ۹۵/۹ | ۹۶/۵ | ۹۵/۹ | ۹۶/۳ | ۹۵/۹ | ۹۶/۵ | ۹۵/۹ | ۹۵/۹ | ۸۳/۴ | ۹۳/۰ | ۹۶/۳ | ۹۶/۳ | ۹۶/۵ | ۴۵/۲ |
| <i>M. album</i> | ۶۹/۷ | ۶۹/۷ | ۶۹/۷ | ۶۹/۷ | ۶۹/۵ | ۶۹/۷ | ۶۹/۷ | ۶۹/۷ | ۶۹/۷ | ۶۲/۰ | ۶۸/۸ | ۶۷/۱ | ۶۹/۳ | ۶۹/۹ | ۴۳/۱ |
| <i>M. flavoviride</i> | ۶۴/۱ | ۶۴/۱ | ۶۳/۷ | ۶۴/۵ | ۶۲/۶ | ۶۴/۱ | ۶۳/۷ | ۶۴/۱ | ۶۴/۱ | ۶۷/۶ | ۶۵/۴ | ۶۱/۳ | ۶۲/۵ | ۶۲/۴ | ۴۲/۴ |
| <i>M. anisopliae</i> | ۹۵/۰ | ۹۵/۰ | ۹۵/۷ | ۹۵/۰ | ۹۵/۹ | ۹۵/۰ | ۹۵/۷ | ۹۵/۰ | ۹۵/۰ | ۸۲/۶ | ۹۲/۱ | ۹۵/۹ | ۹۵/۹ | ۹۶/۱ | ۴۴/۹ |
| <i>M. acridum</i> | ۷۶/۵ | ۷۶/۵ | ۷۶/۸ | ۷۶/۵ | ۸۰/۵ | ۷۶/۵ | ۷۶/۸ | ۷۶/۵ | ۷۶/۵ | ۶۶/۴ | ۷۳/۹ | ۸۱/۶ | ۸۰/۶ | ۷۷/۴ | ۴۵/۷ |
| <i>M. brunneum</i> | ۹۴/۶ | ۹۴/۶ | ۹۵/۲ | ۹۴/۶ | ۹۵/۹ | ۹۴/۶ | ۹۵/۲ | ۹۴/۶ | ۹۴/۶ | ۸۲/۳ | ۹۱/۷ | ۹۵/۹ | ۹۵/۹ | ۹۵/۷ | ۴۴/۸ |
| <i>M. globosum</i> | ۷۷/۱ | ۷۷/۱ | ۷۷/۶ | ۷۷/۱ | ۸۱/۱ | ۷۷/۱ | ۷۷/۶ | ۷۷/۱ | ۷۷/۱ | ۶۷/۰ | ۷۴/۶ | ۸۲/۲ | ۸۱/۵ | ۷۸/۰ | ۴۵/۱ |
| <i>M. guizhouens</i> | ۸۵/۸ | ۸۵/۸ | ۸۵/۱ | ۸۵/۸ | ۸۱/۴ | ۸۵/۸ | ۸۵/۱ | ۸۵/۸ | ۸۵/۸ | ۹۵/۷ | ۸۷/۷ | ۸۰/۳ | ۸۱/۰ | ۸۴/۷ | ۴۵/۵ |
| <i>M. lepidiotae</i> | ۸۷/۹ | ۸۷/۹ | ۸۸/۵ | ۸۷/۹ | ۹۲/۰ | ۸۷/۹ | ۸۸/۵ | ۸۷/۹ | ۸۷/۹ | ۷۷/۰ | ۸۵/۲ | ۹۲/۰ | ۸۸/۹ | ۴۳/۶ | |
| <i>M. majus</i> | ۹۵/۷ | ۹۵/۷ | ۹۵/۹ | ۹۵/۷ | ۹۵/۷ | ۹۵/۷ | ۹۵/۹ | ۹۵/۷ | ۹۵/۷ | ۸۳/۴ | ۹۲/۸ | ۹۴/۸ | ۹۵/۷ | ۹۵/۹ | ۴۶/۰ |
| <i>M. pingshaense</i> | ۹۴/۶ | ۹۴/۶ | ۹۵/۲ | ۹۴/۶ | ۹۵/۹ | ۹۴/۶ | ۹۵/۲ | ۹۴/۶ | ۹۴/۶ | ۸۲/۳ | ۹۱/۷ | ۹۵/۹ | ۹۵/۹ | ۹۵/۷ | ۴۴/۷ |
| <i>M. robertsii</i> | ۹۶/۱ | ۹۶/۱ | ۹۶/۱ | ۹۶/۱ | ۹۶/۸ | ۹۶/۱ | ۹۶/۱ | ۹۶/۱ | ۹۶/۱ | ۸۵/۵ | ۹۴/۴ | ۹۴/۸ | ۹۵/۹ | ۹۵/۳ | |

1= SHU.J.35 2= SHU.J.34 3= SHU.J.06 4= SHU.J.28 5= SHU.J.29 6= SHU.J.19 7= SHU.J.09 8= SHU.J.31 9= SHU.J.15 10= SHU.J.26 11= SHU.J.30 12= SHU.J.27 13= SHU.J.12 14= SHU.J.01 15= SHU.J.11

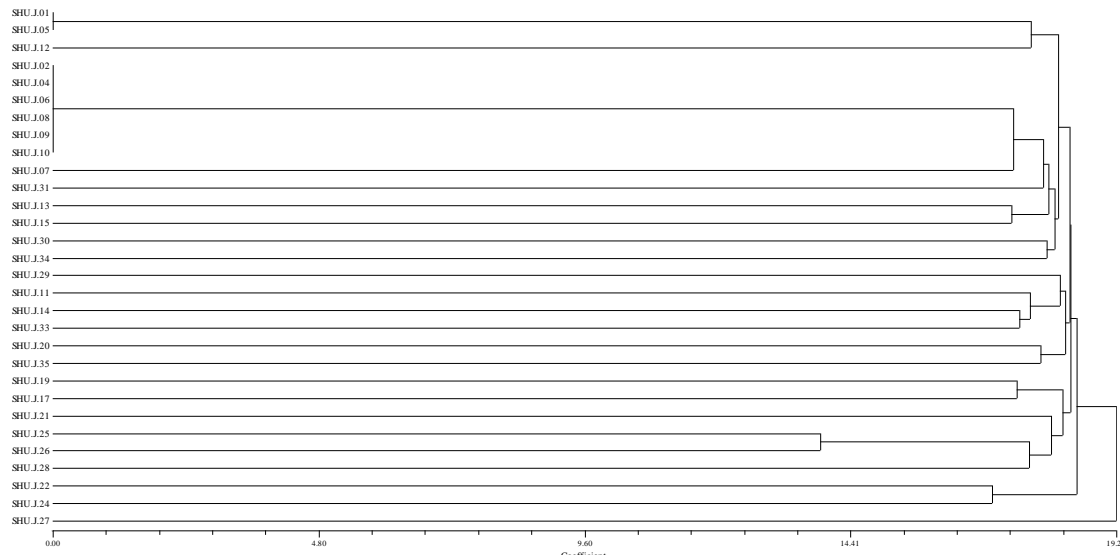
| | ۱۶ | ۱۷ | ۱۸ | ۱۹ | ۲۰ | ۲۱ | ۲۲ | ۲۳ | ۲۴ | ۲۵ | ۲۶ | ۲۷ | ۲۸ | ۲۹ | ۳۰ |
|-----------------------|------|------|------|------|------|------|------|------|------|------|------|------|------|------|------|
| <i>M. velutinum</i> | ۴۵/۱ | ۴۵/۴ | ۴۵/۳ | ۴۹/۱ | ۴۹/۳ | ۹۱/۱ | ۸۲/۶ | ۳۲/۷ | ۹۶/۷ | ۴۴/۹ | ۴۵/۸ | ۴۵/۷ | ۴۶/۵ | ۴۵/۸ | ۴۳/۶ |
| <i>M. album</i> | ۴۴/۸ | ۴۴/۷ | ۴۵/۰ | ۴۱/۰ | ۴۲/۴ | ۶۷/۳ | ۶۰/۵ | ۳۳/۱ | ۶۷/۱ | ۴۶/۱ | ۴۵/۸ | ۴۳/۹ | ۴۴/۹ | ۴۳/۵ | ۴۳/۵ |
| <i>M. flavoviride</i> | ۴۲/۵ | ۴۳/۳ | ۴۲/۵ | ۴۱/۲ | ۴۳/۲ | ۵۹/۳ | ۵۸/۵ | ۳۳/۱ | ۶۰/۹ | ۴۶/۱ | ۴۵/۹ | ۴۳/۴ | ۴۳/۲ | ۴۳/۰ | ۴۳/۲ |
| <i>M. anisopliae</i> | ۴۵/۰ | ۴۵/۰ | ۴۵/۷ | ۴۸/۰ | ۴۹/۰ | ۹۰/۹ | ۶۷/۸ | ۳۲/۸ | ۹۶/۳ | ۴۴/۵ | ۴۴/۷ | ۴۶/۰ | ۴۷/۰ | ۴۶/۲ | ۴۴/۰ |
| <i>M. acridum</i> | ۴۴/۰ | ۴۴/۴ | ۴۴/۴ | ۴۱/۸ | ۴۴/۷ | ۸۲/۰ | ۸۰/۲ | ۳۲/۲ | ۸۲/۵ | ۴۶/۲ | ۴۶/۱ | ۴۲/۹ | ۴۵/۳ | ۴۴/۵ | ۴۳/۹ |
| <i>M. brunneum</i> | ۴۵/۱ | ۴۵/۱ | ۴۵/۳ | ۴۸/۸ | ۴۹/۳ | ۹۱/۵ | ۹۸/۷ | ۳۰/۶ | ۹۶/۳ | ۴۴/۳ | ۴۴/۸ | ۴۵/۷ | ۴۶/۵ | ۴۵/۸ | ۴۳/۵ |
| <i>M. globosum</i> | ۴۳/۰ | ۴۴/۳ | ۴۳/۲ | ۴۲/۰ | ۴۴/۶ | ۸۳/۲ | ۸۰/۷ | ۳۱/۸ | ۸۳/۴ | ۴۴/۹ | ۴۴/۹ | ۴۳/۴ | ۴۶/۳ | ۴۳/۹ | ۴۴/۱ |
| <i>M. guizhouense</i> | ۴۵/۲ | ۴۵/۴ | ۴۴/۵ | ۵۰/۳ | ۵۱/۶ | ۷۴/۸ | ۸۱/۸ | ۳۳/۱ | ۷۹/۶ | ۴۵/۳ | ۴۵/۳ | ۴۵/۶ | ۴۵/۸ | ۴۳/۹ | |
| <i>M. lepidiotae</i> | ۴۴/۱ | ۴۴/۰ | ۴۴/۳ | ۴۶/۸ | ۴۷/۹ | ۸۶/۹ | ۷۶/۱ | ۳۱/۸ | ۹۲/۴ | ۴۲/۹ | ۴۲/۹ | ۴۵/۱ | ۴۵/۸ | ۴۴/۴ | ۴۳/۶ |
| <i>M. majus</i> | ۴۶/۲ | ۴۵/۱ | ۴۶/۲ | ۴۸/۷ | ۴۵/۰ | ۸۸/۹ | ۹۰/۱ | ۳۲/۴ | ۹۴/۴ | ۴۶/۶ | ۴۶/۹ | ۴۷/۰ | ۴۶/۰ | ۴۶/۴ | ۴۴/۴ |
| <i>M. pingshaense</i> | ۴۵/۴ | ۴۵/۲ | ۴۵/۶ | ۴۸/۳ | ۴۹/۱ | ۹۰/۹ | ۸۲/۶ | ۳۱/۰ | ۹۶/۳ | ۴۴/۶ | ۴۴/۲ | ۴۵/۶ | ۴۶/۵ | ۴۵/۹ | ۴۳/۷ |
| <i>M. robertsii</i> | ۴۵/۲ | ۴۳/۸ | ۴۵/۴ | ۴۹/۳ | ۵۰/۰ | ۸۸/۷ | ۸۱/۷ | ۳۲/۳ | ۹۴/۴ | ۴۶/۰ | ۴۴/۹ | ۴۵/۶ | ۴۵/۳ | ۴۵/۷ | ۴۳/۳ |

16= SHU.J.05 17= SHU.J.17 18= SHU.J.33 19= SHU.J.14 20= SHU.J.20 21= SHU.J.02 22= SHU.J.07 23= SHU.J.13 24= SHU.J.22 25= SHU.J.25 26= SHU.J.04 27= SHU.J.08 28= SHU.J.24 29= SHU.J.10 30=

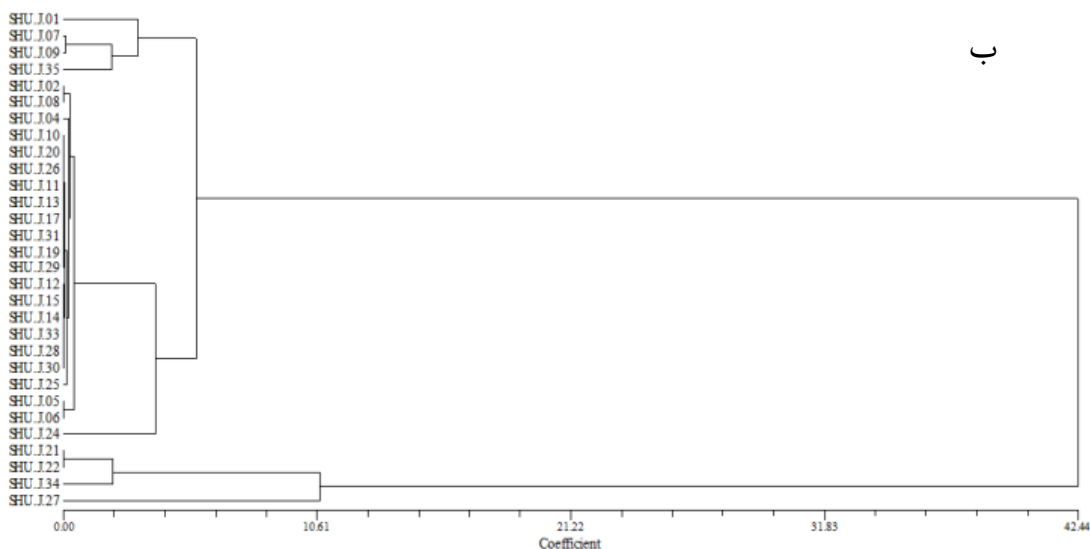


نمودار همبستگی میان تنوع ژنتیکی ناحیه ITS سی جدایه و تنوع جغرافیایی. این نمودار با وارد کردن ۲ ماتریس فاصله ژنتیکی (محور Y) و فاصله جغرافیایی (محور X) به تست منتل نرم‌افزار GenAlEx 6.5 به دست آمده است و با توجه به داده‌های حاصل از آن می‌بینیم میان دو پارامتر همبستگی وجود ندارد (ضریب کوفنتیک همبستگی ۱۴/۴٪ محاسبه شده است)

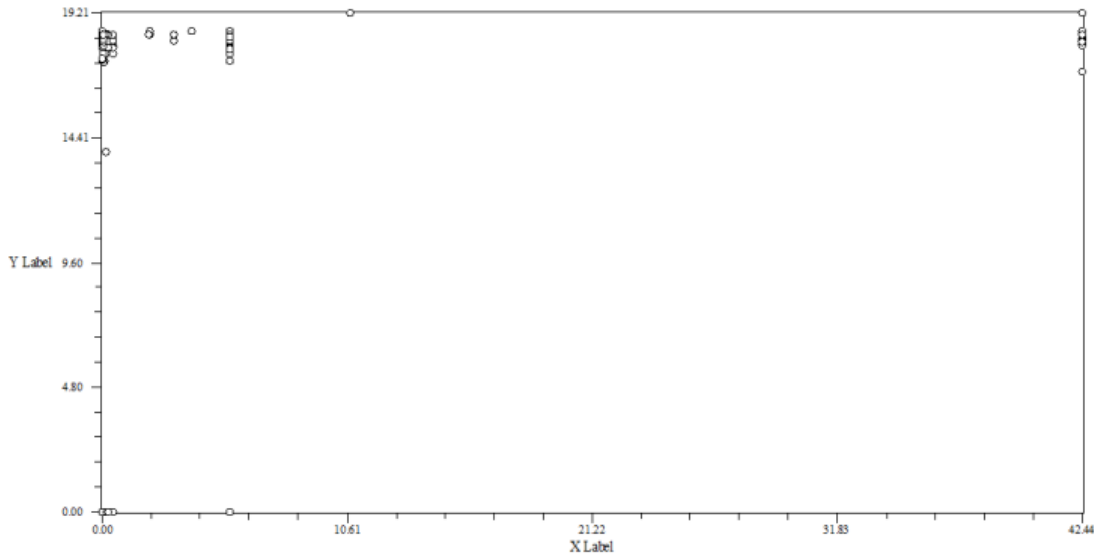
الف



ب



درختچه‌های UPGMA (مبتنی بر فاصله) رسم شده برای ماتریس‌های ژنتیکی و جغرافیایی بر پایه نرم‌افزار NTSYS 2.02e (الف) درختچه رسم شده برای ماتریس ژنتیکی ب) درختچه رسم شده برای ماتریس جغرافیایی



نمودار حاصل از بررسی همبستگی کوفنتیک دو ماتریس فاصله ژنتیکی و فاصله جغرافیایی بر اساس نرم‌افزار NTSYS همان‌طور که در شکل ملاحظه می‌فرمایید نقاط از خط اصلی دور هستند و پیوستگی مشاهده نمی‌شود و پایین بودن ضریب کوفنتیک میان این دو پارامتر تائیدی بر عدم همبستگی میان دو پارامتر است. X و Y به ترتیب ماتریس جغرافیایی و ماتریس ژنتیکی هستند. لازم به ذکر است این آزمون برای تائید تست منتل GenAIEx 6.5 صورت گرفت.

منبع

-
1. White T. J. Bruns T. Lee S. and Taylor J. (1990). "Amplification and direct sequencing of fungal Ribosomal RNA genes for phylogenetics." **Genetic and evolution** 3, pp 315- 322.
 2. Bellemain E. Carlsen T. Brochmann C. Coissac E. Taberlet P. and Kauserud H. (2010). "ITS as an environmental DNA barcode for fungi: an in silico approach reveals potential PCR biases" **BMC Microbiology** 10, pp1-9.
 3. Humber R. A. (1997). "Chapter V-1: Fnugi: Identification." Manual of techniques in insect pathology 10 153-185.
 4. Gao Q. Jin K. Ying S. Zhang Y. Xiao G. Shang Y. Duan Z. Hu X. Xie X. Zhou G. Peng G. Luo Z. Huang W. Wang B. Fang W. Wang S. Zhong Y. Ma L. St. Leger R. J. Zhao G. Pei Y. Feng M. Xia Y. Wang C. (2011). "Genome sequencing and comparative transcriptomics of the model entomopathogenic fungi *Metarhizium anisopliae* and *M. acridum*." **Plos Genetics** 7, pp1-18.
 5. Talwar B. H. (2005). PhD. thesis, "Isolation and characterization of entomopathogenic fungi and their effectiveness." In Agricultural of Microbiology (University of Agricultural Sciences Dharwad University of agricultural sciences Dharwad- 580 005) pp. 129.
 6. Beigi M. A. (2012). PhD.thesis "Efficacy of the entomopathogenic fungi *Beauveria bassiana* and *Metarhizium anisopliae* against *Uvarovistia zebra* (Orthoptera: Tettigoniidae) and *Eurygaster integriceps* (Heteroptera: Scutellaridae)" Newcastle UK Newcastle University pp. 1-116.
 7. Bridge M. Humber R. A. Parker B. L. and Skinner M. (1993). "Fungal entomopathogens recovered from vermont forest soils." **Mycologia** 85, pp358-361.
 8. Meyling N. V. (2007). "Method for isolation of entomopatogenic fungi from soil environment. In Department of Ecology (Frederiksberg Denmark University of Copenhagen)" [Http:// www.orgprints.org/11200](http://www.orgprints.org/11200). pp. 1-18.
 9. Stoner K. (1914). "Approaches to the biological control of insects." **The university of Maine** 1, pp 1-8.
 10. Santi L. Silva W. O. B. Pinto A. F. M. Schrank A. and Vainstein H. M. (2010). "*Metarhizium anisopliae* host-pathogen interaction: differential immunoproteomics reveals proteins involved in the infection process of arthropods." **Fungal biology** 114, pp 312-319.
 11. Shahid A. A. Rao A. Q. Bakhsh A. and Husnain T. (2012). "Entomopathogenic fungi as biological controllers: new insights into their virulence and pathogenicity" **Arch**

Biol Sci Belgrade 64, pp 21-42.

12. Ali S. Ren S. X. Huang Z. and Wu J. H. (2010). "Purification of enzymes related to host penetration and pathogenesis from entomopathogenic fungi" **Technology and Education Topics in Applied Microbiology and Microbial Biotechnology** 1, pp15-22.
13. Humber R. A. (2011)." Recent phylogenetically based reclassifications of fungal pathogens of invertebrate. Insect Mycologist and Curator " **ARSEF** 20, pp1-10.
14. Tajich Ghanbari M. A. Asgharzade A. Hadizadeh A. R. and Mohammadi Sharif M. (2009). "A quick method for *Metarhizium anisopliae* isolation from cultural soils." **American Journal of Agricultural and Biological science** 4, pp 152-155.
15. Sung G. Hywel-Jones N. L. Sung J. Luangsa-ard J. J. Shrestha B. and Spatafora J. W. (2007). "Phylogenetic classification of *Cordyceps* and the clavicipitaceous fungi." **Studies in Mycology** 57, pp 5-59.
16. Khan S. Guo L. Maimaiti Y. Mijit M. and Qiu D. (2012)." Entomopathogenic fungi as microbial biocontrol agent." **Molecular plant breeding** 3, pp63-79.
17. Batko A. (1974). "Phylogensis and taxonomic structure of the Entomophthoraceae." **Metodologica** 1, pp209-305.
18. Benjamin R. (2001). "Major orders and genera of necrotrophic fungal parasites that attack arthropods." **Biodiversity of Fungi** 1, pp10-12.
19. **Entz S.C. (2005).PhD. thesis "Molecular methods and isolation of the entomopathogenic fungus *Metarhizium anisopliae* for environmentally sustainable control of grasshoppers in Canada."** In School of Graduate Studies (Alberta Canada University of Lethbridge) pp. 1-141.
20. Bischoff J. F. Rehner S. A. and Humber R. A. (2009). "A multilocus phylogeny of the *Metarhizium anisopliae* lineage." **Mycologia** 101, pp512-530.
21. **Mouatcho J. C. (2010). PhD. thesis "The use of entomopathogenic fungi against *Anopheles funestus* Giles (Diptera: Culicidae)."** In Faculty of Science (Johannesburg University of the Witwatersrand) pp. 189.
22. Schneider S. Rehner S. A. Widmer F. and Enkerli J. (2011). "A PCR-based tool for cultivation-independent detection and quantification of *Metarhizium* clade 1." **Journal of Invertebrate Pathology** 108, pp 106-114.
23. Milner R. J. Baker G. I. Hooper G. H. S. and Prior C. (1997). "Development of a mycoinsecticide for the Australian plague locust New Strategies in Locust Control.

An integrated pest management strategy for the African grasshopper" **Zonocerus variegatus**, pp283-292.

24. Zimmerman G. (2007). "Review on safety of the entomopathogenic fungus *Metarhizium anisopliae* ." **Biocontrol Science and Technology** 17, pp 879-920.
25. Glare T. R. Goettel M. S. and Elienberg J. (2010)." Addendum: entomopathogenic fungi and their role in regulation of insect populations 2004-2009." **Biology** 15, pp20-35.
26. Jaronski S. T. (2000). " Beauveria and other fungi: tools to help manage coffee berry borer not magic bullets." **Mycotoxin** 20, pp1-90.
27. Dimbi S. Maniania N. K. Lux S. A. and Mueke J. M. (2002)." Effect of constant temperatures on germination radial growth and virulence of *Metarhizium anisopliae* to three species of african tephritid fruit flies." **Med Entomol** 39, pp723-728.
28. Galagan J. E. Henn M. R. and Ma L. (2013). "Genomics of the fungal kingdom: Insights into eukaryotic biology." **Genome Res** 15, pp1620-1631.
29. Kava-Cordeiro V. De -Queiroz M. V. Pizzirani-Kleiner A. A. and Azevedo J. L. (2005). "Pulsed field gel electrophoresis reveals chromosome length and number differences in Brazilian strains of *Metarhizium anisopliae* ." **Brazilian archives of Biology and Technology** 48, pp1-6.
30. Shimizu S. Arai Y. and Matsumoto T. (1992). "Electrophoretic karyotype of *Metarhizium anisopliae* ." **Journal of Invertebrate Pathology** 60, pp 185-187.
31. Valadares-Inglis M. C. and Peberdy J. F. (1998). "Variation in the electrophoretic karyotype of Brazilian strains of *Metarhizium anisopliae* ." **Genetics and Molecular Biology** 21, pp 1-15.
32. Hegedus D. D. and Khachatourian G. G. (1993). "Identification of molecular variants in mitochondrial DNAs of members of the genera *Beauveria*, *Verticillium*, *Paecilomyces*, *Tolypocladium* and *Metarhizium*." **Applied and Environmental microbiology** 59, pp4283-4288.
33. Ghikas D. V. Kouvelis V. and Typas A. M. (2006). "The complete mitochondrial genome of the entomopathogenic fungus *Metarhizium anisopliae* var. *anisopliae* : gene order and trngene clusters reveal a common evolutionary course for all Sordariomycetes while intergenic regions show variation." **Arch Microbiol** 185, pp393–401.
34. Castrillo L. A. and Humber R. A. (2008). "Molecular methods for identification and diagnosis of fungi" **Insect pathogens molecular approaches and techniques** 1, pp50-70.

-
35. Wijedasa M. H. and Liyanapathirana L. C. V. (2012). "Evaluation of an alternative slide culture technique for the morphological identification of fungal species." **Sri Lanka Journal of Infectious Diseases** 2, pp 47-52.
 36. Neelapu N. R. R. Reineke A. Chanchala U. M. R. and Koduru U. D. (2009). "Molecular phylogeny of asexual entomopathogenic fungi with special reference to *Beauveria bassiana* and *Nomuraea rileyi*" **Rev Iberoam Micology** 26, pp129-145.
 37. Sosa-Goemez D. R. Humbe R. A. Hodge K. T. Binnece E. and da Silva-Branda˜o K. L. (2009). "Variability of the mitochondrial SSU rDNA of *Nomuraea* species and other entomopathogenic fungi from Hypocreales." **Mycopathologia** 167, pp 145-154.
 38. Somasundaram S. T. and Kalaiselvam M. (2005). "Molecular tools for assessing genetic diversity." **Journal of Annamalai University** 1, pp 82-91.
 39. Stockinger H. Kruger M. and Schu  ler A. (2010). "DNA barcoding of arbuscular mycorrhizal fungi." **New Phytologist** 187, pp 461–474.
 40. Marquez M. Iturriaga E. A. Quesada-Moraga E. Santiago-Alvarez C. and Monte E. Hermosa R. (2006). "Detection of potentially Valuable polymorphism in 4 group 1 intron insertion sites at the 3 end of the LUS rDNA genes in biocontrol isolates of *Metarhizium anisopliae* ." **BMC Microbiology** 6, pp1471-2180.
 41. Sevim A. Hofte M. and Demirbag Z. (2012). "Genetic variability of *Beauveria bassiana* and *Metarhizium anisopliae* var. *anisopliae* isolates obtained from the eastern black sea region of Turkey." **Turk J Biol** 36, pp 255-265.
 42. Amer M. M. El-Sayed T. I. Bakheit H. K. Moustafa S. A. and El-Sayed Y. A. (2008). "Pathogenicity and genetic variability of five entomopathogenic fungi against *Spodoptera littoralis*". **Research Journal of Agriculture and Biological Sciences** 4, pp354-367.
 43. Boucias D.G. Tigano M.S. Sosa-Gomez D. R. Glare T.R. and Inglis P.W. (2000). "Genotypic properties of the entomopathogenic fungus *Nomuraea rileyi*." **Biological Control** 19, pp124 –138.
 44. Cobb B. D. and Clarkson G. M. (1993). "Detection of molecular variation in the insect pathogenic fungus *Metarhizium* using RAPD-PCR." **FEMS Microbiology Letters** 12, pp319-324.
 45. Driver F. Milner R. J. and Trueman J. W. (2000). "A taxonomic revision of *Metarhizium* based on a phylogenetic analysis of rDNA sequence data." **Mycological Research** 104, pp134-150.

-
46. Leal S. C. M. Bertioli D. J. Butt T. M. and Peberdy J. F. (1994). "Characterization of isolates of the entomopathogenic fungus *Metarhizium anisopliae* by RAPD-PCR." **Mycological Research** 98, pp1077-1081.
47. Sheng Kao S. Tsai Y. Yang P. and Hung T. (2002). "Use of random amplified polymorphic DNA to characterize entomopathogenic fungi *Nomuraea* spp. *Beauveria* spp. and *Metarhizium anisopliae* var. *anisopliae* from Taiwan and China." **Formosan Entomol** 22, pp 125-134.
48. Bridge P. Williams M. Prior C. and Paterson R. (1993). "Morphological biochemical and molecular characteristics of *Metarhizium anisopliae* and *M. flavoviride*." **Microbiology** 139, pp1163-1170.
49. Enkerli J. Ghormade V. Oulevey C. and Widmer F. (2009). "PCR-RFLP analysis of chitinase genes enables efficient genotyping of *Metarhizium anisopliae* var. *anisopliae* ." **Journal of Invertebrate Pathology** 102, pp185-188.
50. Inglis G. D. Duke G. M. Goettel M. S. and Kabaluk J. T. (2008). "Genetic diversity of *Metarhizium anisopliae* var.*anisopliae* in southwestern British Columbia." **Journal of Invertebrate Pathology** 98, pp101-113.
51. Pipe N. D. Chandler D. Bainbridge B. W. and Heale J. B. (1995). "Restriction fragment length polymorphisms in the ribosomal RNA gene complex of isolates of the entomopathogenic fungus *Metarhizium anisopliae* ." **Mycological Research** 99, pp 485-491.
52. Enkerli J. Widmer F. Gessler C. and Keller S. (2001). "Strain-specific microsatellite markers in the entomopathogenic fungus *Beauveria brongniartii*." **Mycol Res** 105, pp1079-1087.
53. Enkerli J. Kolliker R. Keller S. and Widmer R. (2005). "Isolation and characterization of microsatellite markers from the entomopathogenic fungus *Metarhizium anisopliae* and *M. flavoviride*." **Mol Ecol Notes** 5, pp384-386.
54. Meyling N.V. (2008). "PCR-based characterisation of entomopathogenic fungi for ecological studies." Deliverable 52 from VegQure by Nicolai V Meyling, pp1-14.
55. Curran J. Driver F. Ballard J.W.O. and Milner R. J. (1994)." Phylogeny of *Metarhizium* : analysis of ribosomal DNA sequence data." **Mycol Res** 98, pp547-552.
56. Liu Z. W. Guo H. L. and Kurtzman C. P. (1994). "Phylogeny of *Metarhizium* species as determined by partial ribosomal RNA sequences." **Acta Mycol Sinica** 13, pp139-151.
57. Huang B. Li C. Humber R. A. Hodge K. T. Fan M. and Li Z. (2005). "Molecular evidence for taxonomic statuse of *M. taiii* and it is telemrph *Cordyceps taiii* (

Hypocreales Clavicipitaceae)". **Mycotaxon** 94, pp137-147.

58. Kouvelis V. N. Typas M. A. and Bridge P. D. (1999). "Presence of a 20bp insertion/deletion in ITS1 region of *Verticillium lecanii*." **Letters in Applied Microbiology** 28, pp258-262.
59. Liu Z. Y. Liang Z. Q. Whalley A. J. S. Yao Y. J. and Liu A. Y. (2001). "*Cordyceps brittlebankisoides* a new pathogen of grubs and its anamorph *Metarhizium anisopliae* var. *majus*." **J Invert Pathol** 78, pp178- 182.
60. Nishi O. Hasegawa K. Iiyama K. Yasunaga-Aoki C. and Shimizu S. (2011). "Phylogenetic analysis of *Metarhizium* spp. isolated from soil in japan." **Appl Entomology and Zoology** 46, pp301–309.
61. Rodrigues Destefano R. H. Lanza Destefano S. A. and Messias C. L. (2004). "Detection of *Metarhizium anisopliae* var. *anisopliae* within infected sugarcane borer *Diatraea saccharalis* (Lepidoptera Pyralidae) using specific primers." **Genetics and Molecular Biology** 27, pp 245-252.
62. Velásquez V. B. Cárcamo M. P. Meriño C. R. Iglesias A. F. and Durán J. F. (2007). "Intraspecific differentiation of Chilean isolates of the entomopathogenic fungi *Metarhizium anisopliae* var. *anisopliae* as revealed by RAPD SSR and ITS markers." **Genetics and Molecular Biology** 30, pp 89-99.
63. Baldwin B. G (1992). "Phylogenetic utility of the internal transcribed spacers of nuclear ribosomal DNA in plants: an example from the compositae." **Molecular Phylogenetics and Evolution** 1, pp3-16.
64. Seena S. Pascoal C. Marvanová L. and Cássio F. (2010). "DNA barcoding of fungi: a case study using ITS sequences for identifying aquatic hyphomycete species." **Fungal Diversity** 44, pp 77-87.
65. Schindel D. Stoeckle M. Milensky C. Trizna M. Schmidt B. Gebhard C. and Graves G. (2011). "Project description: DNA barcodes of bird species in the national museum of natural history smithsonian institution USA." **ZooKeys** 152, pp 87-91
66. Zhao X. Pang S. Shan T. and Liu F. (2013). "Applications of three DNA barcodes in assorting intertidal red macroalgal flora in Qingdao China." **Journal of Ocean University of China** 12, pp 139-145.
67. Lewis C. T. Bilkhu S. Robert V. Eberhardt U. Szoke S. Seifert K. A. and Lévesque C. A. (2011). "Identification of fungal DNA barcode targets and PCR primers based on Pfam protein families and taxonomic hierarchy." **The Open Applied Informatics**

Journal 5, pp30-44.

68. Shenoy B. D. Jeewon R. and Hyde K. D. (2007). "Impact of DNA sequence-data on the taxonomy of anamorphic fungi." **Fungal Diversity** 26, pp 1-54.
69. Jinbo U. Kato T. and Ito M. (2011). "Current progress in DNA barcoding and future implications for entomology." **Entomological science** 14, pp107-124.
70. Inglis P. W. and Tigano M. S. (2006). "Identification and taxonomy of some entomopathogenic *Paecilomyces* spp. (Ascomycota) isolates using rDNA-ITS Sequences." **Genetics and Molecular Biology** 29, pp132-136.
71. Liu Z. Liang Z. Liu A. Yao Y. Hyde K. D.and Yu Z. (2002). "Molecular evidence for teleomorph ± anamorph connections in *Cordyceps* based on ITS-5.8S rDNA sequences." **Mycological Research** 106, pp1100-1108
72. Park J. Kim G. Park H. Nam B. An W. Cha J. Lee T. and Lee J. (2001). "Phylogenetic analysis of caterpillar fungi by comparing ITS1-5.8 S-ITS2 ribosomal DNA sequences." **Mycobiology** 29, pp 121-131.
73. Stensrud Ø. Hywel-Jones N. L. and Schumacher T. (2005). "Towards a phylogenetic classification of *Cordyceps* : ITS nrDNA sequence data confirm divergent lineages and paraphyly." **Mycological Research** 109, pp 41-56.
74. Freed S. Feng-Liang J. and Shun-Xiang R. (2011). "Determination of genetic variability among the isolates of *Metarhizium anisopliae* var. *anisopliae* from different geographical origins." **World J Microbiol Biotechnol** 27, pp359–370.
75. Pantou M. P. Mavridou A. and Typas M. A. (2003). "IGS sequence variation group-I introns and the complete nuclear ribosomal DNA of the entomopathogenic fungus *Metarhizium* : excellent tools for isolate detection and phylogenetic analysis." **Fungal Genetics and Biology** 38, pp 159–174.
76. Yanaka-Schäfer F. Y. Dall’Onder L. P. Panichi M. C. Mendes R. G. Fagundes N. R. Bandinelli J. B. and Bogo M. R. (2008). "Sequence analysis of the rDNA intergenic spacer of *Metarhizium* strains isolated in Brazil." **Genetics and Molecular Biology** 31. pp 116-121.
77. Tangthirasunun N. Poeaim S. Soytong K. Sommartya P. and Popoonsak S. (2010). "Variation in morphology and ribosomal DNA among isolates of *Metarhizium anisopliae* from Thailand." **Journal of Agricultural Technology** 6, pp 317-329.
78. Pereira de Lyra M. C. C. Bastos da Silva M. L. Cavalcanti A. L. B. and Santo Mergulhão A. C. E. (2012). "Characterization of *Metarhizium anisopliae* using amplified ribosomal DNA restriction analysis (ARDRA) and internal transcribed spacer (ITS) sequence analysis." **African Journal of Biotechnology** 11, pp 16635-

16639.

79. Luan F. Zhang S. Wang B. Huang B. and Li Z. (2013). "Genetic diversity of the fungal pathogen *Metarhizium* spp. causing epizootics in Chinese burrower bugs in the Jingting Mountains eastern China." **Molecular Biology Report** 40, pp515-523.
80. Young Shin T. Chio J. Bae S. Koo H. and Woo S. (2010). "Study on selective media for isolation of entomopathogenic fungi." **International Journal of Industrial Entomology** 20, pp 7-12.
81. Sanchez-Pena S. San-Juan LJ and Medina R. (2011). "Occurrence of entomopathogenic fungi from agricultural and ecosystems in Saltillo Mexico and their virulence towards thrips and whiteflies." **Journal of Insect Science** 11, pp 1536-2442.
82. Meyling N. and Eilenberg J. (2007). "Ecology of the entomopathogenic fungi *Beauveria bassiana* and *Metarhizium anisopliae* in temperate agroecosystems:Potential for conservation biological control." **Biological Control** 43, pp145-155.
83. Asensio O. L. Carbonell T. Lopez-Jimenz J. A. and Lopez-lorca L. V. (2003). "Entomopathogenic fungi in solis from Alicante province". **Journal of Agricultural Research** 1, pp37-45.
84. Benjamin M. A. Zhiousa E. and Ostfeld R. (2002). "Laboratory and field evaluation of entomopathogenic fungus *M. anisopliae* var. *anisopliae* controlling questing adult *Ixodes scapularis*." **Med Entomol** 39, pp723-728.
85. Ble Kanga L. Jones W. and James A. (2003). "Field trials using the fungal pathogen *Metarhizium anisopliae* (Deuteromycetes: Hyphomycetes) to control the ectoparasitic mite *Varroa destructor* (Acari: Varroidae) in honey bee *Apis mellifera*. (Hymenoptera: Apidae) colonies." **Journal of Economic Entomology** 96, pp1091-1099.
86. Thi Loc N. Hi Bich Chi V. Thi Nhan N. Duc Thanh N. Thi Be Long T. and Quang Hung P. (2004). "Biocontrol potential of *Metarhizium anisopliae* against coconut beetle *Brontispa longissima*." **Omonrice** 12, pp 85-91.
87. Luz C. Tigano M. S. Silva L. G. Cordeiro C. M. T. and Aljanabi S. M. (1998). "Selection of *Beauveria bassiana* and *Metarhizium anisopliae* isolates to control *Triatoma infestans*." **Mem Inst Oswaldo Cruz Rio de Janeiro** 93, pp839-846.
88. Thi Loc N. and Thi Bich Chi V. (2005). "Efficiency of some new isolates of *Metarhizium anisopliae* and *Beauveria bassiana* against Rice Earhead bug *Leptocoris acuta*." **Omonrice** 13, pp 69-75.

-
89. Pirali-Kheirabadi K. Haddadzadeh H. Razzaghi-Abyaneh M. Bokaie S. Zare R. Ghazavi M. and Shams-Ghahfarokhi M. (2007). "Biological control of *Rhipicephalus (Boophilus) annulatus* by different strains of *Metarhizium anisopliae*, *Beauveria bassiana* and *Lecanicillium psalliotae* fungi." **Parasitol Res** 100, pp1297–1302.
90. Kannan S. K. Murugan K. Kumar A. N. Ramasubramanian N. and Mathiyazhagan P. (2008). "Adulticidal effect of fungal pathogen *Metarhizium anisopliae* on malarial vector *Anopheles stephensi* (Diptera: Culicidae)." **African Journal of Biotechnology** 7, pp838-841.
91. Karimi J. and Kharazi-Pakdel A. (2009). "Pathogenicity and biocontrol potential of *Metarhizium anisopliae* in the management programme of the white grub *Polyphylla olivieri* (Col. melolonthidae)." **Biocontrol Journal**.
92. Thi Loc N. Thi Bich Chi V. Thi Nhan N. and Thi Be Hong T. (2010). "Exploitation of *Beauveria bassiana* and *Metarhizium anisopliae* as potential Biocontrol agents in Integrated Pest Management (IPM) on citrus." **Omoneric** 17, pp 152-163.
93. Barta M. (2010)." Pathogenicity assessment of Entomopathogenic fungi infecting *Leptoglossus occidentalis*(Heteroptera: Coridae)". **Czech Mycol** 62, pp67-76.
94. Ibrahim L. Hamide A. Ghanem H. and Ibrahim S. K. (2011). "Pathogenicity of entomopathogenic fungi from Lebanese soils against aphids whitefly and none-target beneficial insects." **International Journal of Agriculture Sciences** 3, pp156-164.
95. Nahar P. B. Kulkarni S. A. Kulye M. S. Chavan S. B. Kulkarni G. Rajendran A. Yadav P. D. Shouche Y. and Deshpande M. V. (2008). "Effect of repeatedin vitro sub-culturing on the virulence of *Metarhizium anisopliae* against *Helicoverpa armigera* (Lepidoptera: Noctuidae)." **Biocontrol Science and Technology** 18, pp337-355.
96. Cossentine J. E. Judd G. J. R. Bissett J. D. and Lacey L. A. (2010). "Susceptibility of apple clearwing moth larvae *Synanthedon myopaeformis* (Lepidoptera: Sesiidae) to *Beauveria bassiana* and *Metarhizium brunneum*." **Biocontrol Science and Technology** 20, pp703-707.
97. Marannino P. Santiago-Álvarez C. De Lillo E. and Quesada-Moraga E. (2006). "A new bioassay method reveals pathogenicity of *Metarhizium anisopliae* and *Beauveria bassiana* against early stages of *Capnodis tenebrionis* (Coleoptera; Buprestidae)." **Journal of Invertebrate Pathology** 93, pp210-213.
98. Yubaka Dhoj G. C. (2006). PhD. thesis, "White grubs (Coleoptera: Scarabaeidae) associated with Nepalese agriculture and their control with the indigenous entomopathogenic fungus *Metarhizium anisopliae* (Metsch.) Sorokin (Erlangung der Würde eines)." **Doktors der Philosophy Philosophisch-**

Naturwissenschaftlichen Fakultät der Universität Basel).

99. Rath A. C. Carr Q. and Graham B. R. (1995). "Characterization of *Metarhizium anisopliae* strains by carbohydrate utilization (AP150CH)." **J Invert Pathol** 65, pp 152-161.
100. Whelan S. Li P. and N G. (2001). "Molecular phylogenetics: state of therat methodes for looking into the past." **Trends in Genetics** 17, pp 262-272.
101. Begerow D. John B. and Oberwinkler F. (2004). "Evalution relationship among B-tubulin gene sequences of basidiomycetous fungus." **Mycological Research** 108, pp1257-1263.
102. Campble J. (2007). "Report of Planning workshopfor all fungi DNA Barcoding." **Mycological Research** 56, pp1-50.
103. Wyrebek M. Huber C. Sasan R. K. and Bidochka M. J. (2011). "Three sympatrically occurring species of *Metarhizium* show plant rhizosphere specificity." **Microbiology** 157. pp 2904-2911.
104. Sun B. and Liu X. (2008). "Occurrence and diversity of insect-associated fungi in natural soils in China." **Applied soil ecology** 39, pp 100-108.
105. Luz C. Netto M. and Rocha L. (2007). "In vitro susceptibility to fungicides by invertebrate-pathogenic and saprobic fungi." **Mycopathologia** 164, pp39-47.
106. Liu Z. Y. Milner R. J. McRae C. F. and Lutton G. G. (1993). "The Use of Dodine in Selective Media for the Isolation of *Metarhizium* spp. from Soil." **Journal of Invertebrate Pathology** 62, pp248-251.
107. Guinossi H. Moscardi F. Oliveira M. and Sosa-Gómez D. (2012). "Spatial dispersal of *Metarhizium anisopliae* and *Beauveria bassiana* in soybean fields." **Tropical Plant Pathology** 37, pp44-49.
108. Rangel D. Dettenmaier S. Fernandes É. and Roberts D. (2010). "Susceptibility of *Metarhizium* spp. and other entomopathogenic fungi to dodine-based selective media." **Biocontrol Science and Technology** 20, pp 375-389.
109. Humber R. A. (1998). "Entomopathogenic fungal identification APS/ESA workshop." **APS/ESA joint annual meeting** 1, pp3-26.
110. El Damir M. (2006). "Variation in germination, virulence and conidial production of single spore isolates of entomopathogenic fungi in response to environmental heterogeneity". **Journal of Biological Sciences** 6, pp305-315.

-
111. Plaza G. A. Upchurch R. Brigmon R. L. Whitman W. B. and Ulfig K. (2004). "Rapid DNA extraction for screening soil filamentous fungi using PCR amplification." **Polish Journal of Environmental Studies** 13, pp 315-318.
 112. Tamura K. Peterson D. Peterson N. Stecher G. Nei M. and Kumar S. (2011). "MEGA5: molecular evolutionary genetics analysis using maximum likelihood evolutionary distance and maximum parsimony methods." **Molecular Biology and Evolution** 28, pp 2731-2739.
 113. Peakall R. and Smouse P. (2012). "GenAlEx 6.5: genetic analysis in Excel. Population genetic software for teaching and research-an update." **Bioinformatics Applications Note** 28, 2537–2539.
 114. Rohlf F. (1997). "NTSYS-pc. Numerical taxonomy and multivariate analysis system version 2.02e." Exeter Software New York USA <http://wwwexetersoftwarecom/cat/ntsyspc/ntsyspc.html>.
 115. Darbro J. M. Graham R. I. Kay B. H. Ryan P. A. and Thomas M.B. (2011). "Evaluation of entomopathogenic fungi as potential biological control agents of the dengue mosquito *Aedes aegypti*(Diptera: Culicidae)." **Biocontrol Science and Technology** 21, pp1027-1047.
 116. Yoder J. Benoit J. Christensen B. Croxall T. and Hobbs III H. (2009). "Entomopathogenic fungi carried by the cave orb weaver spider *Meta ovalis* (Araneae Tetragnathidae) with implications for Mycoflora transfer to cave crickets." **Journal of Cave and Karst Studies** 71, pp 116–120.
 117. Petlamul W. and Prasertsan P. (2012). "Evaluation of strains of *Metarhizium anisopliae* and *Beauveria bassiana* against *Spodoptera litura* on the basis of their virulence, germination rate, conidia production, radial growth and enzyme activity." **Mycobiology** 40, pp 111-116.
 118. Batta Y.A. and Abu Safieh D. I. (2005). "A study of treatment effect with *Metarhizium anisopliae* and four types of dusts on wheat grain infestation with flour beetles (*Tribolium castaneum* Herds Coleoptera Tenebrionidae)." **Journal of the Islamic University of Gaza (Series of Natural Studies & Engineering)** 13, pp11-22.
 119. Abbott W.S. (1925). "A method of computing the effectiveness of an insecticide". **Journal of Economic Entomology** 18, pp265-267.
 120. Nishi O. Iiyama K. Yasuanga-Aoki C. and Shimizu S. (2010). "Incongruence between EF-1 α Phylogeny and Morphology of *Metarhizium majus* and *Metarhizium guizhouense* in Japan." **Entomotech** 34, pp19-23.
 121. Bischoff J.F. Rehner S. A. and Humber R. A. (2006). "*Metarhizium frigidum* sp.

- nov.: a cryptic species of *M. anisopliae* and a member of the *M. flavoviride* complex." **Mycologia** 98, pp737-745.
122. Spatafora J. W. Sung G. H. Sung J. M. Hywel-Jones N. L. and White J. F. J. (2007). "Phylogenetic evidence for an animal pathogen origin of ergot and the grass endophytes." **Mol Ecol** 16, pp 1701-1711.
123. Yip H. Rath A. and Koen T. (1992). "Characterization of *Metarhizium anisopliae* isolates from Tasmanian pasture soils and their pathogenicity to redheaded cockchafer (Coleoptera: Scarabaeidae *Adoryphorus couloni*)." **Mycological Research** 96, pp 92-96.
124. Bidochka M. J. Kamp A. M. Lavender T. M. Dekoning J. and Amritha A. N. (2001). "Habitat association in two genetic groups of the insect-pathogenic fungus *Metarhizium anisopliae* uncovering cryptic species?" **Applied and Environmental Microbiology** 67, pp1335-1342.
125. Hughes W. O. H. Thomsen L. Eilenberg J. and Boomsma J. J. (2004). "Diversity of entomopathogenic fungi near leaf-cutting ant nests in a neotropical forest with particular reference to *Metarhizium anisopliae* var. *anisopliae* . " **Journal of Invertebrate Pathology** 85, pp46-53.
126. Bidochka M. J. Small C. L. N .and Spironello M. (2005). "Recombination within sympatric cryptic species of the insect pathogenic fungus *Metarhizium anisopliae* ." **Environmental Microbiology** 7, pp1361-1368.
127. Balachander M. Remadevi K.O. Sasidharan T. O. and Bai N. S. (2012). "Virulence and mycotoxic effects of *Metarhizium anisopliae* on Mahogany shoot borer *Hypsipyla robusta* (Lepidoptera: Pyralidae)". **Journal of Forestry Research** 23, pp651–659.
128. Ghikas D. V. Kouvelis V. N. and Typas M. A. (2010). "Phylogenetic and biogeographic implications inferred by mitochondrial intergenic region analyses and ITS1-5.8S-ITS2 of the entomopathogenic fungi *Beauveria bassiana* and *B.brongniartii*." **BMC Microbiology** 10, pp1-15.
129. Sevim A. Demir I. Ho'fte M. Humber R. A. and Demirbag Z. (2010). "Isolation and characterization of entomopathogenic fungi from hazelnut-growing region of Turkey." **BioControl** 55, pp 279-297.
130. Sanchez-Pena S. San-Juan LJ and Medina R. (2011). "Occurrence of entomopathogenic fungi from agricultural and ecosystems in Saltillo Mexico and their virulence towards thrips and whiteflies." **Journal of Insect Science** 11, pp 1536-2442.

-
131. Masoudi A. (2013). Msc. thesis. "Genetic diversity of soil-born entomopathogenic fungi from citrus orchad." In **Agronomy and Plant Breeding Department College of Agriculture (Shahrood, Semnan, Shahrood University)** pp. 140.
132. Tuininga A. R. Miller J. L. Morath S. U. Daniels T. J. Falco R. C. Marchese M. Sahabi S. Rosa D. and Stafford III K. C. (2009). "Isolation of entomopathogenic fungi from soils and *Ixodes scapularis* (Acari: Ixodidae) ticks: prevalence and methods." **Journal of Medical Entomology** 46, pp 557.
133. Meyling N.V. and Elinberg J. (2006). "Isolation and characterisation of *Beauveria bassiana* isolates from phylloplanes of hedgerow vegetation." **Mycological Research** 110, pp188-195.
134. Tefera T. and Pringle K. (2003). "Germination radial growth and sporulation of *Beauveria bassiana* and *Metarhizium anisopliae* isolates and their virulence to *Chilo partellus* (Lepidoptera: Pyralidae) at different temperatures." 13, pp 699-704.
135. Ekesi S. Maniania N. K. and Ampong N. (1999). "Effect of Temperature on germination radial growth and virulence of *Metarhizium anisopliae* and *Beauveria bassiana* on *Megalurothrips sjostedti*." **Biocontrol Science and Technology** 9, pp177 - 185.
136. Safavi S. A. Shah F. A. Pakdel A. Z. Rasoulian G. R. Bandani A. R. and Butt T. M. (2007)."Effect of nutrition on growth and virulence of the entomopathogenic fungus *Beauveria bassiana*." **FEMS Microbiol Lett** 270.
137. Varela A. and Morales E. (1996). "Characterization of some *Beauveria bassiana* isolates and their virulence toward the coffee berry borer *Hypothenemus hampei*." **Journal of Invertebrate Pathology** 67, pp 147-152.
138. Zurek L. Watson D. and Schal C. (2002). "Synergism between *Metarhizium anisopliae* (Deuteromycota: Hyphomycetes) and boric acid against the German cockroach (Dictyoptera:Blattellidae)." **Biol Control** 23, pp 296-302.
139. Zhang W. Sulz M. and Bailey K. L. (2001). "Growth and spore production of *Plectosporium tabacinum*." **Can J Bot** 79, pp 1297-1306.
140. Nguyen N. T. H. Borgemeister C. Poehling H. and Zimmermann G. (2007). "Laboratory investigations on the potential of entomopathogenic fungi for biocontrol of *Helicoverpa armigera* (Lepidoptera: Noctuidae) larvae and pupae." **Biocontrol Science and Technology** 17, pp853-864.
141. Khashaveh A. and Sakenin Chelav H. (2013). "Laboratory bioassay of Iranian Isolates of entomopathogenic fungus *Metarhizium anisopliae* (Metsch.) Sorokin (Ascomycota: Hypocreales) against two species of storage pest." **Agriculturae**

Conспектus Scientificus 78, pp35-40.

142. Michalaki M. P. Athanassiou C. G. Kavallieratos N. G. Batta Y. A. and Balotis G. N. (2006). "Effectiveness of *Metarhizium anisopliae* (Metschinkoff) Sorokin applied alone or in combination with diatomaceous earth against *Tribolium confusum* Du Val larvae: Influence of temperature relative humidity and type of commodity." **Crop protection** 25, pp418-425.
143. Nong X. Liu C. Lu X. Wang Q. Wang G. and Zhang Z. (2011). "Laboratory evaluation of entomopathogenic fungi against the white grubs *Holotrichia oblita* and *Anomala corpulent* (Coleoptera:Scarabaeidae) from the field of peanut *Arachis hypogaea*. **Biocontrol Science and Technology** 21, pp593-603.
144. Samuels K. D. Z. Heale J. B. and Llewellyn M. (1989). "Characteristics relating to the pathogenicity of *Metarhizium anisopliae* toward *Nilaparvata lugens*. **Journal of Invertebrate Pathology** 53, pp 25-31.
145. Keyser C. A. (2010). PhD. thesis "Development of a Laboratory based system for selecting insect pathogenic fungi with greatest potential for success in the field. In Biology (Logan Utah Utah State University)" pp. 604.
146. Al-Aidroos K and W R.D. (1978). "Mutant of *Metarhizium anisopliae* with increase virulence toward Mosquito larvae". **Canadian Journal of Genetics and Cytology** 20, pp211-219.
147. Hassan A. E. M. Dillon R. J. and Charnley A.K. (1989). "Influence of accelerated germination of conidia on the pathogenicity of *Metarhizium anisopliae* for manduca sexta." **J Invertebr Pathol** 54, pp277.
148. Han Q. Inglis G. D. and Hausner G. (2002). "Phylogenetic relationships among strains of the entomopathogenic fungus *Nomuraea rileyi* as revealed by partial-beta-tubulin sequences and inter-simple sequence repeat (ISSR) analysis." **Letters in Applied Microbiology** 34, pp376-383.
149. De Muroa M. A. Mehta S. and Moore D. (2003). "The use of amplified fragment length polymorphism for molecular analysis of *Beauveria bassiana* isolates from Kenya and other countries and their correlation with host and geographical origin." **FEMS Microbiology Letters** 229, pp249-257.

کنفرانس ۽ وہیش ۽ و مقالات چاپ شدہ

Abstract

Entomopathogenic fungi are widely distributed throughout the fungal kingdom. Some insect-pathogenic fungi have restricted host ranges, while others have a wide host range. Several species of fungi are potent biocontrol agents of plant pathogenic fungi and arthropods. *Metarhizium* spp. an entomopathogenic fungus well characterized for the biocontrol of a wide range of pest. *Metarhizium* spp. mainly identified based on the morphological and molecular characteristics. The objectives of this work were to isolate and identify varieties with ITS region. We investigated 22 isolates which collected from different soil from different sites of Shahrood and North of Iran. These isolates have been partially characterized using morphological traits such as Growth rate, Sporulation, pathogenicity against *Tribolium castaneum* (Col, Tenebrionidae). Morphological experiments indicated that there are correlation between 3 parameters. Internal transcribed spacer (ITS) and 5.8S rDNA sequences analysis was employed to identify species and genotypes. The ITS regions were amplified using the ITS1 and ITS4 primers that was a unique fragment of approximately 540 bp. The sequences were aligned using the Codon Code Aligner program and together with 12 isolates of *Metarhizium* available in the GenBank used for draw tree in Mega (Maximum Parsimony with 1000 bootstrap). Among 8 Clusters, 5 Clusters have 25 isolates of Shahrood and environs, didn't have any match known species and there are possibility of quality of 5 new species in these areas that need more molecular study with another markers. 5 identified isolates belong to *M. flavoviride*, *M. anisopliae*, *M. robertsii*, *M. guizhouense* and *M. velutinum*.

Keywords: Entomopathogenic fungi, Identification, Internal transcribed spacer, Maximum Parsimony